



Вестник

Уральского
государственного
университета
путей сообщения

Научный журнал

Herald
of the Ural State University
of Railway Transport

Scientific journal



Научный журнал
«Вестник Уральского государственного
университета путей сообщения»
№ 1 (37), 2018 год

**Главный редактор,
научный редактор**
Василий Михайлович Сай

Литературный и выпускающий редактор
Людмила Станиславовна Барышник

Техническое редактирование и верстка
Светлана Николаевна Наймушина
Дизайн обложки
Ольга Петровна Игнатьева

Учредитель и издатель:
Уральский государственный
университет путей сообщения
(УрГУПС)

Адрес для корреспонденции:
620034, Екатеринбург,
ул. Колмогорова, 66, УрГУПС,
редакция журнала
«Вестник УрГУПС»

Телефон редакции: (342) 221-25-60.
Веб-сайт: www.usurt.ru/vestnik;
e-mail: vestnik@usurt.ru.

«Вестник УрГУПС» включен ВАКом
в перечень периодических, научных
и научно-технических изданий,
выпускаемых в Российской Федерации,
в которых рекомендуется публикация
основных результатов диссертаций.

DOI:10.20291/2079-0392

Свидетельство о регистрации
средства массовой информации
Роскомнадзора ПИ № ФС77–38188
от 30 ноября 2009 г.

Подписной индекс журнала
в общероссийском
каталоге «Пресса России» — 70070

Отпечатано в издательстве
Уральского государственного
университета путей сообщения,
620034, Екатеринбург,
ул. Колмогорова, 66.

Дата выхода в свет 30.03.2018.
Цена 319 руб.

Тираж 300 экз. 1-й з-д: 1–80.
Формат 70×100/16.
Заказ 132

Журнал издается по решению
ученого совета УрГУПС, ©

Scientific journal «Herald of the
Ural State University
of Railway Transport»
№ 1 (37), 2018

**Editor-in-chief,
Science editor**
Vasily M. Say

Script and copy editor
Lyudmila S. Baryshnikova

Technical editing and make-up
Svetlana N. Naymushina

Cover design
Olga P. Ignatjeva

Correspondence address:
«Herald of USURT» editorial office
The Ural State University of Railway Transport»
66 Kolmogorov Street,
620034, Ekaterinburg

Telephone: +7 (342) 221-25-60.
Web-site: www.usurt.ru/vestnik;
e-mail: vestnik@usurt.ru.

The journal is published by the decision of
University Academic Board
©USURT

DOI:10.20291/2079-0392

Certificate of registration of mass media
by the Federal Service for Supervision
in the sphere of communications,
information technology and mass communications
(Roskomnadzor) PI № FS77–38188
of November 30, 2009.

Subscription reference number of the issue
in the All Russia Catalogue «Pressa Rossii» — 70070

Printed in the Publishing house
of the Ural State University of
Railway Transport
66 Kolmogorov Street,
620034, Ekaterinburg.

Data of issue 30.03.2018.
The price 319 rub.

Circulation 300. The 1st pr.: 1–80.
Format 70×100/16.
Order 132

Founder and publisher:
The Ural State University
of Railway Transport
(USURT), ©

МЕЖДУНАРОДНЫЙ РЕДАКЦИОННЫЙ СОВЕТ

Кейт Бурнхам, профессор, Университет г. Ковентри, факультет машиностроения и вычислительной техники, Великобритания

Петер Копачек, профессор, Венский технологический университет, Венский институт транспорта и робототехники, интеллектуальный транспорт и робототехника, Вена, Австрия

Владимир Цыганов, д-р техн. наук, профессор, Институт проблем управления Российской академии наук, Москва, Россия

Сергей Герман-Галкин, д-р техн. наук, профессор, Морская академия, Институт судовой автоматики и электротехники, Щецин, Польша

Клаус Беккер, профессор, Университет прикладных наук г. Кельна, Институт автомобильной техники, лаборатория NVH, Германия

Василий Сай, д-р техн. наук, профессор, Уральский государственный университет путей сообщения, Екатеринбург, Россия

РЕДКОЛЛЕГИЯ

Аккерман Геннадий Львович, д-р техн. наук, профессор, УрГУПС, Екатеринбург

Ашпиз Евгений Самуилович, д-р техн. наук, профессор, РУТ, Москва

Булаев Владимир Григорьевич, д-р техн. наук, профессор, УрГУПС, Екатеринбург

Воробьев Александр Алексеевич, д-р техн. наук, профессор, МГУПС, Москва

Воскресенская Тамара Петровна, д-р техн. наук, профессор, СибГИУ, Новокузнецк

Корнилов Сергей Николаевич, д-р техн. наук, профессор, МГТУ, Магнитогорск

Кузнецов Константин Борисович, д-р техн. наук, профессор, УрГУПС, Екатеринбург

Курганов Валерий Максимович, д-р техн. наук, ТГУ, г. Тверь

Лапшин Василий Федорович, д-р техн. наук, профессор, УрГУПС, Екатеринбург

Сапожников Валерий Владимирович, д-р техн. наук, профессор, ПГУПС, Санкт-Петербург

Сизый Сергей Викторович, д-р техн. наук, профессор, УрФУ, Екатеринбург

Тимофеева Галина Адольфовна, д-р физ.-мат. наук, профессор, УрГУПС, Екатеринбург

Щурин Константин Владимирович, д-р техн. наук, профессор, ОГУ, Оренбург

INTERNATIONAL EDITORIAL BOARD

Keith Burnham, professor, Coventry University, Faculty of Engineering and Computing, Great Britain

Peter Kopachek, professor, Vienna University of Technology, Vienna Institute of Transportation and Robotics, Intelligent Transportation and Robotics, Vienna, Austria

Vladimir Tsyganov, DSc, professor, Russian Academy of Sciences, Institute of Control Sciences, Moscow, Russia

Sergey German-Galkin, DSc, professor Maritime Academy, Institute of naval automation and electric engineering, Szczecin, Poland

Klaus Becker, professor, Cologne University of Applied Sciences, Institute of Automotive Engineering, NVH Laboratory, Germany

Vasily Say, DSc, professor, The Ural State University of Railway Transport, Ekaterinburg, Russia

EDITORIAL BOARD

Akkerman Gennadiy Lvovich, DSc, Professor, Ural State University of Railway Transport, Yekaterinburg

Ashpiz Evgeniy Samuilovich, DSc, Professor, Russian University of Transport, Moscow

Bulaev Vladimir Grigorievich, DSc, Professor, Ural State University of Railway Transport, Yekaterinburg

Vorobjev Alexander Alexeevich, DSc, professor, Moscow State University of Railway Transport, Moscow

Voskresenskaya Tamara Petrovna, DSc, professor, Siberian State Industrial University, Novokuznetsk

Kornilov Sergey Nikolaevich, DSc, professor, Magnitogorsk State Technical University, Magnitogorsk

Kuznetsov Konstantin Borisovich, DSc, professor, The Ural State University of Railway Transport, Ekaterinburg

Kurganov Valeriy Maximovich, DSc, Professor, Tver State University, Tver city

Lapshin Vasily Fedorovich, DSc, Professor, Ural State University of Railway Transport, Yekaterinburg

Sapozhnikov Valery Vladimirovich, DSc, professor, Petersburg State University of Railway Transport, Saint-Petersburg

Sizyi Sergey Viktorovich, D. Sc. in engineering, professor, Ural Federal University, Ekaterinburg

Timofeeva Galina Adolfovna, DSc, professor, The Ural State University of Railway Transport, Ekaterinburg

Shchurin Konstantin Vladimirovich, DSc, professor, Orenburg State University, Orenburg

Содержание

Математические модели технологических процессов

- 4 В.Н. Таран, А.М. Долженко, Е.Ю. Бойко.
Применение задачи о брахистохроне
для построения математической модели
скатывания отцепа на сортировочной горке
- 11 В.В. Стружанов, А.В. Коркин. Один вариант метода
упругих решений в задаче об определении
положений равновесия растягиваемой
стержневой системы с разупрочняющимися
элементами
- 21 А.А. Косяков. Учёт сопротивления заземляющего
устройства и сопротивления металlosвязи
оборудования при расчёте токов двухфазного
короткого замыкания на землю
- 33 А.В. Паранин, Е.Л. Проскуряков. Модель
организации движения поездов при системе
электрической тяги постоянного тока
повышенного напряжения

Механика машин и роботов

- 40 А.В. Додонов, А.Е. Афанасьев, В.А. Башмаков.
Разработка методики испытаний фитинговых
упоров для вагонов-платформ

Организация и логистика

- 52 М.Ю. Скорченко. Организация контейнерных
перевозок в Российской Федерации и оценка их
эффективности
- 60 В. И. Васильев, А. В. Савельев, Н. Н. Рыбин.
Проектирование постов санитарной обработки
автомобильных фургонов для перевозки
продуктов питания
- 69 В.С. Миронов, А.В. Петрушин. К вопросу
совершенствования технологии укладки трассы
новой железнодорожной линии в условиях
высокой сейсмичности

Аспирантская тетрадь

- 78 Т.К. Чернушевич. Графоаналитическая модель
распределения рисков в организационных сетях
- 84 М.А. Сабанов. Методы преобразования
географических данных о транспортной сети
- 91 Н.В. Калганова. Показатели качества
трудовой жизни преподавателей
транспортного вуза, их формирование
и оценка

Contents

Mathematic models of technological processes

- 4 V.N. Taran, A.M. Dolzhenko, E. Yu. Boiko.
Application of the brachistochrone task to
creation of a mathematical model of rolling
cut cars down the hump yard
- 11 V.V. Struzhanov, A.V. Korkin. A variant
of the method of elastic solutions
in the task on definition of balance
of the stretched rod system with softening
elements
- 21 A.A. Kosyakov. Accounting the grounding
device and the equipment metal connection
resistance in calculation of the two-phase
ground short circuit currents
- 33 A.V. Paranin, E.L. Proskuryakov.
Organization model of railway traffic
in the system of high voltage direct current
traction

Mechanics of machines and robots

- 40 A.V. Dodonov, A.E. Afans'ev, V.A. Bashmakov.
Developing a technique of testing for
flatcars fitting stops

Organization and logistics

- 52 M.Yu. Skorchenko. Organization of container
transportations in the Russian Federation
and their efficiency assessment
- 60 V.I. Vasil'ev, A.V. Savel'ev, N.N. Rybin.
Design of sanitation posts
for truck vans transporting
food
- 69 V.S. Mironov, A.V. Petrushin.
On improvement of a new railway
line laying technology in high seismicity
conditions

Research of young scientists

- 78 T.K. Chernushevich. Graphic-analytical model
of risks distribution in organizational networks
- 84 M.A. Sabanov. Methods of transformation of
geographical data on transport network
- 91 N.V. Kalganova. Indicators of the labour life
quality of a transport higher education
establishment teachers, their formation and
assessment

Математические модели технологических процессов

УДК 658.014

В. Н. Таран, А. М. Долженко, Е. Ю. Бойко

Применение задачи о брахистохроне для построения математической модели скатывания отцепов на сортировочной горке

UDC 658.014

V. N. Taran, A. M. Dolzhenko, E. Yu. Boiko

Application of the brachistochrone task to creation of a mathematical model of rolling cut cars down the hump yard

Аннотация

Роспуск железнодорожных составов смело можно назвать одним из ключевых звеньев всего товарного вагонопотока. Но хотя в стране работает очень много автоматизированных сортировочных станций, точность позиционирования отцепов при сортировке оставляет желать лучшего. Оснащение малых и средних сортировочных горок современными системами автоматизированного роспуска железнодорожных

составов непосильно дорого, поэтому актуальна задача модернизации интеллектуальной составляющей имеющихся на железнодорожном транспорте систем управления сортировочными процессами.

Чтобы понять, что из себя представляют узкие места сортировочного процесса, авторы провели моделирование сортировочной горки в контексте задачи о брахистохроне. Авторы в упрощенной форме описывают движение

отцепов на сортировочной горке бусинкой, скатываемой по наклонной плоскости. Это дает возможность представить оптимальные параметры физической структуры сортировочных горок и понимать динамику скатываемого вагона.

Ключевые слова: математическая модель, брахистохрона, сортировочная горка, оптимальное управление, время скатывания.

DOI: 10.20291/2079-0392-2018-1-4-10

Статья рекомендована к опубликованию А. А. Гордиенко, канд. техн. наук; кафедра «Станции, узлы и грузовая работа» Уральского государственного университета путей сообщения. E-mail: gordiii89@yandex.ru.

The article is recommended for publishing A.A. Gordienko, Candidate of Technical Science; Chair of Stations Hubs and Freight Operation, Ural State university of Railway Transport. E-mail: gordiii89@yandex.ru.

Владимир Николаевич Таран, д-р физ.-мат. наук, профессор; кафедра «Вычислительная техника и программирование» Технологического института (филиала) ДГТУ в г. Азове; Азов, Россия. E-mail: vladitaran@rambler.ru.

Артём Михайлович Долженко, заместитель директора Технологического института (филиала) ДГТУ в г. Азове; Азов, Россия. E-mail: dolzhenkoartem@gmail.com.

Елена Юрьевна Бойко, аспирант; кафедра «Связь на железнодорожном транспорте» Ростовского государственного университета путей сообщения; Ростов-на-Дону, Россия. E-mail: elena_azov@mail.ru.

Vladimir Nikolayevich Taran, Doctor of Physical and Mathematical Science, Professor; Chair of Computation Machinery and Programming, Technological Institute (subsidiary), DGTU in Azov City; Azov, Russia. E-mail: vladitaran@rambler.ru.

Artyom Mikhailovich Dolzhenko, Deputy Director, Technological Institute (subsidiary) DGTU in Azov City; Azov, Russia. E-mail: dolzhenkoartem@gmail.com.

Yelena Yurievna Boyko, Postgraduate; Chair of Communication on Railway Transport, Rostov State University of Railway Transport; Rostov-on-Don, Russia. E-mail: elena_azov@mail.ru.

Abstract

Uncoupling of trains undoubtedly can be considered as one of the key links of the car traffic volume. Though there are a lot of automated sorting yards functioning in the country, the accuracy of cut cars positioning while sorting leaves much to be desired.

The equipment of small and average hump yards with the modern systems of automated uncoupling of trains

is excessively expensive, therefore the problem of modernization of the intellectual component of the existing systems of sorting processes is relevant.

Striving to understand what the bottlenecks of the sorting process are, the authors carried out a hump yard modeling in the context of the brachistochrone task. The authors simply describe the movement of a cars cut on a

hump yard illustrating the process with a bead, rolling down an inclined surface. So, the opportunity is provided to present the optimum parameters of the hump yard physical structure and to understand the rolling car dynamics.

Keywords: mathematical model, brachistochrone, hump yard, optimum control, rolling time period.

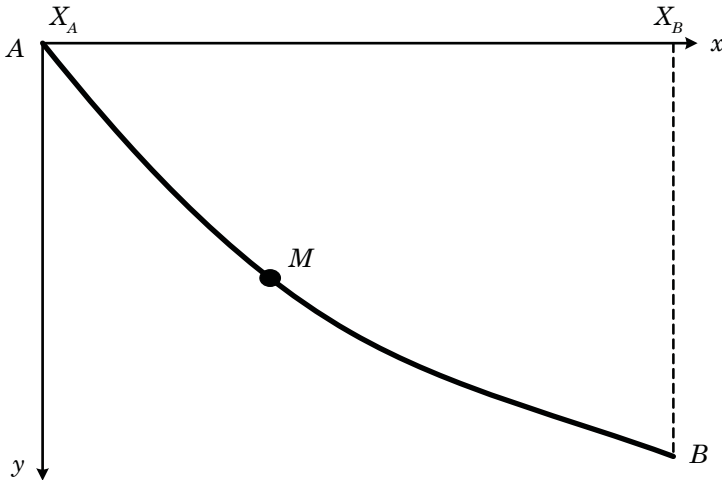
DOI: 10.20291/2079-0392-2018-1-4-10

С 1934 г., с появления в СССР автоматизированных сортировочных станций, задача оптимального роспуска составов – определение силы воздействия на движущиеся вагоны для их точного позиционирования в заданной позиции – не теряла актуальности. Множество статей посвящены моделированию профиля горки и процесса скатывания отцепов [1–5], однако почти все авторы стремятся построить идеальную модель, учитывающую всевозможные силы трения и прочие воздействия, влияющие на процесс скатывания. Но предложенные модели неудобны для понимания и обработки, поэтому их трудно применять на практике.

Упрощенно движение «бегуна» на сортировочной горке может быть сведено к задаче о брахистохроне: найти среди линий, соединяющих две данные точки A и B , ту, двигаясь по которой свободно пущенная материальная точка M пройдет путь AB за кратчайшее время [6, 7] (рис.).

Кинетическая энергия материальной точки в положении B имеет значение $\frac{mv^2}{2}$. Потенциальная энергия материальной точки в положении A будет равна $mg(y_A - y_B)$. Приравнявая эти энергии, находим уравнении трансформации энергии:

$$\frac{mv^2}{2} = mgy,$$



Траектория брахистохроны

откуда $v = \sqrt{2gy}$ для любого момента времени.

Путь и скорость связаны уравнением $\frac{ds}{dt} = v$, откуда следует дифференциальное соотношение $\frac{ds}{v} = dt$.

С другой стороны:

$$ds = \sqrt{(dx)^2 + (dy)^2} = \sqrt{1 + \left(\frac{dy}{dx}\right)^2} dx,$$

$$\text{поэтому } dt = \frac{ds}{v} = \frac{\sqrt{1 + \left(\frac{dy}{dx}\right)^2}}{\sqrt{2gy}} dx.$$

Время прохождения в пути от A до B равно:

$$T = \int_A^B dt = \int_A^B \frac{ds}{v} = \int_0^{x_B} \frac{\sqrt{1 + (y'_x)^2}}{\sqrt{2gy}} dx,$$

где введено обозначение $\left\{ y'_x = \frac{dy}{dx} \right\}$.

Запишем функционал Эйлера – Лагранжа:

$$\int F(y, y') dx = \int_0^{x_B} \frac{\sqrt{1 + (y')^2}}{\sqrt{2gy}} dx,$$

экстремальное значение которого достигается на уравнении

$$\frac{\partial F}{\partial y} - \frac{d}{dx} \left(\frac{\partial F}{\partial y'} \right) = 0$$

или в развернутом виде

$$\frac{\partial^2 F}{\partial y'^2} y'' + \frac{\partial^2 F}{\partial y \partial y'} y' + \frac{\partial^2 F}{\partial x \partial y'} - \frac{\partial F}{\partial y} = 0.$$

Так как F не зависит от x , можно найти первый интеграл этого выражения. Дифференциальное уравнение

$$\frac{\partial^2 F}{\partial (y')^2} y'' + \frac{\partial^2 F}{\partial y \partial y'} y' - \frac{\partial F}{\partial y} = 0 \text{ приводит}$$

к преобразованию, доказывающему существование первого интеграла. Покажем это преобразование [8].

Пусть задана функция $F - y' \frac{\partial F}{\partial y'}$.

Докажем, что она является первым интегралом:

$$\begin{aligned} \frac{d}{dx} \left(F - y' \frac{\partial F}{\partial y'} \right) &= \frac{\partial F}{\partial x} + \frac{\partial F}{\partial y'} y' + \\ &+ \frac{\partial^2 F}{\partial y'^2} y'' - y'' \frac{\partial F}{\partial y'} - \frac{\partial^2 F}{\partial y' \partial y} y'^2 - \\ &- \frac{\partial^2 F}{\partial y'^2} y' y'' = \\ &= \frac{\partial F}{\partial x} - y' \left(\frac{\partial^2 F}{\partial y'^2} y'' + \frac{\partial^2 F}{\partial y' \partial y} y' - \frac{\partial F}{\partial y} \right). \end{aligned}$$

Так как выражение в скобках есть уравнение Эйлера и $\frac{\partial F}{\partial x} = 0$, то

$$\frac{d}{dx} \left(F - y' \frac{\partial F}{\partial y'} \right) = 0.$$

Поэтому

$$F - y' \frac{\partial F}{\partial y'} = \text{const}.$$

Применим результат к уравнению о брахистохоне:

$$\frac{\sqrt{1 + y'^2}}{\sqrt{y}} - \frac{(y')^2}{\sqrt{y} \sqrt{1 + (y')^2}} = \frac{1}{\sqrt{c}}.$$

Приведем это выражение к общему знаменателю:

$$\frac{(1 + y'^2) - y'^2}{\sqrt{y} \sqrt{1 + y'^2}} = \frac{1}{\sqrt{c}}.$$

Выполним цепочку преобразований:

$$\begin{aligned} \frac{1}{\sqrt{y} \sqrt{1 + (y')^2}} &= \frac{1}{\sqrt{c}} \Rightarrow \\ \Rightarrow (y')^2 &= \frac{c}{y} - 1 \Rightarrow \\ \Rightarrow (y')^2 &= \frac{c - y}{y} \Rightarrow y' = \sqrt{\frac{c - y}{y}}. \end{aligned}$$

Положим, что y и x заданы параметрически.

Пусть $y = \frac{c}{2}(1 - \cos u)$, тогда $y' = \frac{c}{2} \sin u \cdot u'_x$. Найдем параметрическое представление x , для чего подставим эти выражения в первый интеграл. Так как кривая проходит через начало координат, то C_2 надо положить равным нулю. Таким образом, уравнение кривой наибо́льшего спуска, найденное в параметрической форме, будет иметь вид

$$\begin{aligned} x &= \frac{C_1}{2}(u - \sin u), \\ y &= \frac{-C_1}{2}(1 - \cos u). \end{aligned}$$

Для применения в дальнейшем найдем производные от времени:

$$\begin{aligned} \dot{x} &= \frac{C_1}{2}(1 - \cos u)\dot{u}, \\ \dot{y} &= \frac{-C_1}{2}\sin u \cdot \dot{u}, \end{aligned}$$

где точка означает производную по времени $\dot{u} = \frac{du}{dt}$.

Рассмотрим теперь процесс скатывания вагона. Поскольку этот процесс можно свести к одномерному движению по параметру, запишем уравнение для кинетического потенциала [9]:

$$L = \frac{1}{2}a(q)\dot{q}^2 - U(q),$$

где $a(q)$ — некоторая функция обобщенной координаты q . Для нашей задачи этой обобщенной координатой является u . Найдем функцию a :

$$\begin{aligned} \frac{1}{2}mv^2 &= \frac{m}{2}(\dot{x}^2 + \dot{y}^2) = \\ &= \frac{m}{2} \frac{C_1^2}{4} \left\{ (1 - \cos u)^2 + \sin^2 u \right\} \dot{u}^2; \\ \frac{1}{2}mv^2 &= \\ &= \frac{mC_1^2}{8} (1 - 2\cos u + \cos^2 u + \sin^2 u) \dot{u}^2 = \\ &= \frac{mC_1^2}{4} (1 - \cos u) \dot{u}^2. \end{aligned}$$

Кинетический потенциал будет равен:

$$\frac{mC_1^2 \dot{u}^2}{4} (1 - \cos u) - mg \frac{C_1}{2} (1 - \cos u)$$

или

$$L(u, \dot{u}) = \left[\frac{mC_1^2 \dot{u}^2}{4} - mg \frac{C_1}{2} \right] (1 - \cos u).$$

Уравнение Эйлера:

$$\begin{aligned} \frac{d}{dt} \left(\frac{\partial L}{\partial \dot{u}} \right) - \frac{\partial L}{\partial u} &= 0, \\ \frac{\partial L}{\partial \dot{u}} &= \frac{mC_1^2 \dot{u}}{2} (1 - \cos u), \\ \frac{\partial L}{\partial u} &= \left[\frac{mC_1^2 \dot{u}^2}{4} - mg \frac{C_1}{2} \right] \sin u, \\ \frac{d}{dt} \left\{ \frac{mC_1^2 \dot{u}}{2} (1 - \cos u) \right\} - \\ - \left[\frac{mC_1^2 \dot{u}^2}{4} - mg \frac{C_1}{2} \right] \sin u &= 0. \end{aligned}$$

Раскроем скобки, произведем дифференцирование и приведем подобные:

$$\begin{aligned} \frac{mC_1^2 \ddot{u}}{2} (1 - \cos u) + \\ + \left(\frac{mC_1^2 \dot{u}^2}{4} + mg \frac{C_1}{2} \right) \sin u &= 0. \end{aligned}$$

Преобразуем уравнение к форме Коши:

$$\begin{aligned} V_0 &= u, \\ V_1 &= \dot{u} = \dot{V}_0, \\ \dot{V}_1 &= \ddot{u}. \end{aligned}$$

Произведем замену

$$\begin{aligned} \dot{V}_0 &= V_1, \\ \frac{C_1^2 \dot{V}_1}{2} (1 - \cos V_0) + \left(\frac{C_1^2 V_1^2}{4} + g \frac{C_1}{2} \right) \sin V_0 &= 0, \\ \Downarrow \end{aligned}$$

$$\begin{cases} \dot{V}_0 = V_1 \\ \dot{V}_1 = - \left(\frac{V_1^2}{2} + \frac{g}{C_1} \right) \frac{\sin V_0}{1 - \cos V_0} \end{cases}$$

Исследуем $\frac{\sin V_0}{1 - \cos V_0}$ при $V_0 \rightarrow 0$;

$$\lim_{V_0 \rightarrow 0} \frac{\sin V_0}{1 - \cos V_0} = \lim_{V_0 \rightarrow 0} \frac{\cos V_0}{\sin V_0} \rightarrow \infty.$$

Коэффициент наклона касательных в точке (x_0, y_0) определяется как $\frac{dy}{dx}$.

$$x = \frac{C_1}{2}(u - \sin u);$$

$$y = -\frac{C_1}{2}(1 - \cos u),$$

$$dx = \frac{C_1}{2}(1 - \cos u)du;$$

$$dy = -\frac{C_1}{2}\sin u du;$$

$$\frac{dy}{dx} = -\frac{\sin u}{1 - \cos u} \Rightarrow \alpha = -\arctg \frac{\sin u}{1 - \cos u}.$$

Для оценки времени скатывания примем координаты точки A равными $x_A = 0, y_A = 0$. Определим постоянную интегрирования C_1 , которая однозначно задает точку B . Потенциальная энергия максимальна тогда, когда разность $y_A - y_B$ будет наибольшей для заданного C_1 . Поэтому производную координаты y приравняем к нулю:

$$y'_x = \frac{C_1}{2} \sin u \cdot u'_x$$

или с учетом $u'_x = \frac{2}{C_1} \frac{1}{1 - \cos u}$ получим уравнение:

$$\sin u \frac{1}{1 - \cos u} = 0,$$

откуда $u = k \cdot \pi$, где $k = 1, 2, \dots$

Исходя из сути задачи выбираем решение $u = \pi$, тогда точка B будет иметь координаты:

$$x_B = \frac{C_1}{2}(\pi - \sin \pi) = \frac{\pi}{2} C_1,$$

$$y_B = -\frac{C_1}{2}(1 - \cos \pi) = -C_1.$$

В точке B скатывающееся тело без трения приобретает наибольшую

кинетическую энергию и будет иметь скорость $v = \sqrt{2gC_1}$.

Определим время скатывания по кривой брахистохроне от точки $A(0;0)$

до точки $B\left(\frac{\pi}{2} C_1; C_1\right)$:

$$T = \int_0^{\frac{\pi}{2} C_1} \frac{\sqrt{1 + (y')^2}}{\sqrt{gy}} dx$$

Поскольку $(y')^2 = \frac{C_1}{y} - 1$, то интеграл преобразуется к виду:

$$T = \int_0^{\frac{\pi}{2} C_1} \frac{\sqrt{1 + (y')^2}}{\sqrt{2gy}} dx = \sqrt{\frac{C_1}{2g}} \int_0^{\frac{\pi}{2} C_1} \frac{dx}{y}.$$

Перейдем к параметрическому представлению интеграла:

$$x = \frac{C_1}{2}(u - \sin u),$$

$$dx = \frac{C_1}{2}(1 - \cos u)du.$$

Нижний предел при $x = 0, u = 0$. Для верхнего предела при $x = \frac{\pi}{2} C_1$, получим $u = \pi$, кроме того:

$$y = \frac{C_1}{2}(1 - \cos u).$$

Окончательный интеграл будет иметь вид:

$$\begin{aligned} T &= \sqrt{\frac{C_1}{2g}} \int_0^{\frac{\pi}{2} C_1} \frac{dx}{y} = \\ &= \sqrt{\frac{C_1}{2g}} \int_0^{\pi} \frac{\frac{C_1}{2}(1 - \cos u)du}{\frac{C_1}{2}(1 - \cos u)} = \sqrt{\frac{C_1}{2g}} \pi. \end{aligned}$$

Таким образом, наименьшее время скатывания имеет значение:

$$T = \sqrt{\frac{C_1}{2g}} \pi.$$

Рассмотрим альтернативные варианты.

Пусть точки A и B соединяет прямая. В таком варианте уравнение прямой имеет вид:

$$y(x) = -\frac{2}{\pi}x.$$

Действительно, в точке A имеем:

$$x_A = 0, y_A = 0.$$

В точке B :

$$x_B = \frac{\pi}{2}C_1, y_B = -C_1.$$

Время движения по прямой определяем:

$$T = \int_0^C \frac{\sqrt{1 + (y'_x)^2}}{\sqrt{2gy}} dx.$$

Вычислим производную $y' = -\frac{\pi}{2}$

и подставим в ее функционал совместно с уравнением $y(x)$. После интегрирования получим:

$$T = \int_0^{\frac{\pi}{2}C_1} \frac{\sqrt{1 + \frac{4}{\pi^2}}}{\sqrt{2g \frac{2}{\pi}x}} dx = \sqrt{\frac{C_1}{2g}} \sqrt{\pi^2 + 4}.$$

Видно, что время в пути увеличилось в $\frac{\sqrt{\pi^2 + 4}}{\pi}$ раз.

Итак, авторы применяют классическую задачу о брахистохроне для упрощенного описания движения вагона на сортировочной горке. Такая абстракция не дает понимания всей динамики скатывания и не учитывает действие большинства сил, однако позволяет сделать заключение, что при движении по наклонной плоскости под действием силы тяжести оптимальной траекторией с точки зрения минимума затраченного времени является брахистохрона. Считаем, что данные расчеты должны в дальнейших исследованиях лечь в основу математической модели сортировочной горки, так как дают представление об оптимальности профиля скатывания. ■

Литература

1. Сотников Е.А. Железные дороги мира из XIX в XXI век. М. : Транспорт, 1993. 200 с.
2. Иванченко В.Н., Лябах Н.Н., Сепетый А.А. Новый подход к управлению процессом роспуска составов на сортировочной горке // Автоматизация управления технологическими процессами на железнодорожном транспорте : межвузовский тематический сборник трудов. – Ростов-на-Дону : МПС СССР, РИИЖТ. 1984. С. 34–41.
3. Рогов С.А. Формализация управления процессом роспуска составов на сортировочных горках // Инновационная наука. 2015. № 11-1. С. 142–147. ISSN 2410-6070.
4. Туранов Х.Т., Гордиенко А.А. Новая методика расчёта времени и скорости скатывания вагонов на участке перед первой тормозной позицией сортировочной горки при воздействии встречного ветра малой величины // Транспорт: наука, техника, управление. 2015. № 10. С. 49–53. ISSN 0236-1914.
5. Шепилова Е.Г., Лебединская Е.Н. Математическая модель оптимизации программы роспуска составов с сортировочной горки / В сб. : Применение современных технических средств в системах железнодорожной автоматики и телемеханики. – Ростов-на-Дону : МПС СССР, РГУПС. 1998. С. 102–106.
6. Клейбер И.А. Брахиохрона / Энциклопедический словарь Брокгауза и Ефрона ; В 86 т. (82 т. и 4 доп.). – СПб, 1890–1907. Т. 8. С. 617–619.
7. Шмаль С.Н. Попытка заново рассчитать брахистохрону // Мир транспорта. 2011. Т. 9. № 3(36). С. 34–38. ISSN 1992-3252.
8. Смирнов В.И., Крылов В.И., Канторович Л.В. Вариационное исчисление. Л. : Кубуч. 1933. С. 10–14.
9. Ландау Л.Д., Лифшиц Е.М. Механика. М. : Наука. 1965. 2-е изд., испр. 204 с.

Literature

1. Sotnikov E.A. World railways from XIX into XXI century [Zheleznnye dorogi mira iz XIX v XXI veke]. M. : Transport, 1993. 200 p.

2. Ivanchenko V.N., Lyabakh N.N., Sepety A.A. A new approach to control over automatic shunting at marshalling yard [Novyj podhod k upravleniyu processom rospuska sostavov na sortirovochnoj gorke] // Automation control over technological process on railway [Avtomatizatsiya upravleniya tehnologicheskimi protsessami na zheleznodorozhnom transporte]: inter-university collection of works. – Rostov-on-the Don : USSR Railway Ministry, RIIIT. 1984. P. 34–41.
3. Rogov S.A. Formalization of control over automatic shunting at marshalling yards [Formalizatsiya upravleniya protsessom rospuska sostavov na sortirovochnyh gorkah] // Innovational science. 2015. № 11-1. P. 142–147. ISSN 2410-6070.
4. Turanov Kh.T., Gordienko A.A. New methods for evaluation of time and speed of car reposing at the section before the first braking position of the marshalling yard under small adverse wind [Novaya metodika raschyota vremeni i skorosti skatyvaniya vagonov na uchastke pered pervoj tormoznoj pozitsiej sortirovochnoj gorki pri vozdeystvii vstrechnogo vetra maloj velichiny] // Transport: science, technology, management. 2015. № 10. P. 49–53. ISSN 0236-1914.
5. Shepilova E.G., Lebedinskaya E.N. Mathematical model of optimization of automatic shunting at the marshalling yard [Matematicheskaya model optimizatsii programmy rospuska sostavov s sortirovochnoj gorki] / In col. : Usage of modern technical aids in railway automatics and telemechanics. – Rostov-on-the Don : USSR Railway Ministry, RGUPS. 1998. P. 102–106.
6. Kleiber I.A. Brachistichrone / Encyclopedic dictionary by Brockhause and Efron [Entsiklopedicheskij slovar Brokgauza i Efrona]; In 86 v. (82 v. and 2 extra). – SPb, 1890–1907. V. 8. P. 617–619.
7. Shmal S.N. An attempt to re-estimate brachistichrone [Popytka zanovo rasschitat brahistohronu] // Transport world. 2011. V. 9. № 3(36). P. 34–38. ISSN 1992-3252.
8. Smirnov V.I., Krylov V.I., Kantarovich L.V. Variational calculus [Variatsionnoe ischislenije]. L. : Kubuch. 1993. P. 10–14.
9. Landau L.D., Lifshitz E.M. Mechanics [Mehanika]. M. : Science. 1965. 2nd publ, edited. 204 p.

Статья сдана в редакцию 28 января 2018 года

УДК 539.3

*В.В. Стружанов, А.В. Коркин***Один вариант метода упругих решений в задаче об определении положений равновесия растягиваемой стержневой системы с разупрочняющимися элементами**

UDC 539.3

*V.V. Struzhanov, A.V. Korkin***A variant of the method of elastic solutions in the task on definition of balance of the stretched rod system with softening elements****Аннотация**

Решение систем нелинейных уравнений представляет достаточно сложную математическую проблему. Особую трудность вызывают задачи с немонотонными нелинейными функциями. В настоящей статье рассмотрена одна растягиваемая стержневая система, представляющая собой аналог (по энергии) испытательной установки, предназначенной для растяжения образцов конструкционных материалов. Полагается, что сопротивление образца при растяжении описывается полной диаграммой (нелинейной, немонотонной функцией), обладающей восходящей и падающей до нуля ветвями. Для расчетов параметров равновесия этой механической системы применен специальный вариант метода упругих решений. Получены условия сходимости соответствующих итерационных процессов и установлена связь между их расходимостью с потерей устойчивости процесса растяжения.

Ключевые слова: стержневая система, полная диаграмма, метод упругих решений, параметры равновесия, сходимость итераций, устойчивость.

DOI: 10.20291/2079-0392-2018-1-11-20

Abstract

Solution of nonlinear equations systems is a rather complex mathematical problem. A particular difficulty is contained in tasks with non-monotonous nonlinear functions. The present article considers a stretched rod system analogous in energy to the test facility intended for stretching of construction materials samples. It is assumed that the stretched sample resistance is depicted by a full diagram (nonlinear, non-monotonous function) possessing the ascending branch and the branch reducing to zero. A special variant of the elastic solutions method is applied to calculations of the balance parameters of this mechanical system. Conditions of the corresponding iterative processes convergence are defined and the connection is revealed between their divergence and loss of the stretching process stability.

Keywords: rod system, full diagram, elastic decisions method, balance parameters, convergence of iterations, stability.

DOI: 10.20291/2079-0392-2018-1-11-20

Валерий Владимирович Стружанов, д-р физ.-мат. наук, главный научный сотрудник; Институт машиноведения УрО РАН; Екатеринбург, Россия. E-mail: stru@imach.uran.ru.

Александр Владимирович Коркин, аспирант; Институт естественных наук и математики Уральского Федерального университета; Екатеринбург, Россия. E-mail: alexkorkin@list.ru.

Valery Vladimirovich Struzhanov, Doctor of Physical and Mathematical Science, head researcher; Institute of Mechanical Engineering, Ural division of Russia's Academy of Sciences; Ekaterinburg, Russia. E-mail: stru@imach.uran.ru.

Alexander Vladimirovich Korkin, Postgraduate; Institute of Natural Science and Mathematics, Ural Federal University; Ekaterinburg, Russia. E-mail: alexkorkin@list.ru.

Введение

Существование закритического состояния материала (стадии деформационного разупрочнения), характеризующегося падающей ветвью полной диаграммы деформирования, зафиксировано в экспериментах [1–4] и показано на ряде моделей [5–7]. Ранее разупрочнение не учитывалось в расчетах на прочность, поэтому необходимо исследовать его влияние на несущую способность конструктивных элементов и рассмотреть связанные с этим математические проблемы.

В рамках существующих теорий механики деформируемого твердого тела задачи разрушения элементов конструкций являются незамкнутыми, что побуждает вводить различного рода условия прочности как предельные значения напряженно-деформированного состояния. Наличие полной диаграммы деформирования делает задачу расчета на прочность замкнутой, исключая, таким образом, необходимость привлечения каких-либо критериев прочности, так как сводит условие прочности к условию устойчивости равновесия внешних и внутренних сил.

Устойчивость (неустойчивость) равновесия может быть определена в ходе решения нелинейных уравнений равновесия, в которых учитывается разупрочнение материала. Эти уравнения могут иметь не единственные и неустойчивые решения, так как не удовлетворяют условиям корректности по Адамару. Естественно, что для решения таких задач необходима разработка специальных методов. Их изучение следует начинать с решения простейших задач, чтобы выяснить их математический и механический смысл. В дальнейшем это позволит эффективно распространить такие методы на более сложные задачи механики разупрочняющихся материалов.

Ранее, в работах [8, 9], была рассмотрена одна стержневая система с разупрочняющимся элементом. Исследование устойчивости процесса ее растяжения

и применен метод простых итераций для определения параметров всех положений равновесия (устойчивых и неустойчивых). В данной работе для решения таких задач использован специальный вариант метода упругих решений, общие положения которого изложены А.А. Ильюшиным [10, 11] в применении к упругопластическим задачам с упрочнением. Установлены условия сходимости соответствующей итерационной процедуры и показано, что ее расходимость отвечает потере устойчивости процесса растяжения.

Механическая система

Выясним сначала теоретическое и практическое значения исследования устойчивости растяжения стержневой системы [8] с разупрочняющимся элементом. Любая экспериментальная установка для испытания цилиндрических стержневых образцов на растяжение представляет собой совокупность последовательно и параллельно соединенных стержней, все время находящихся в упругом состоянии. Этой системе может быть поставлен в соответствие один упругий стержень, жесткость которого при растяжении равна жесткости всей установки.

Рассмотрим, например, установку реверсного типа (рис. 1) [12].

Она содержит две массивные платформы 1 (нижняя жестко закреплена), скрепленные стержнями 3, две массивные подвижные платформы 2, скрепленные стержнями 4, червячный редуктор 5, нажимной винт 6. Измерение усилий производится на нижнем захвате 9 и стержне 7. При повороте ручки редуктора винт 6 вворачивается в верхнюю подвижную платформу 2, увеличивая расстояние U . Нижняя подвижная платформа 2, перемещаясь при этом вверх на величину u_2 , растягивает образец. В результате действия возникающих в системе усилий, стержни 3 укорачиваются на величину u_1 , а верхний конец стержня 7 опускается вниз на величину u_7 .

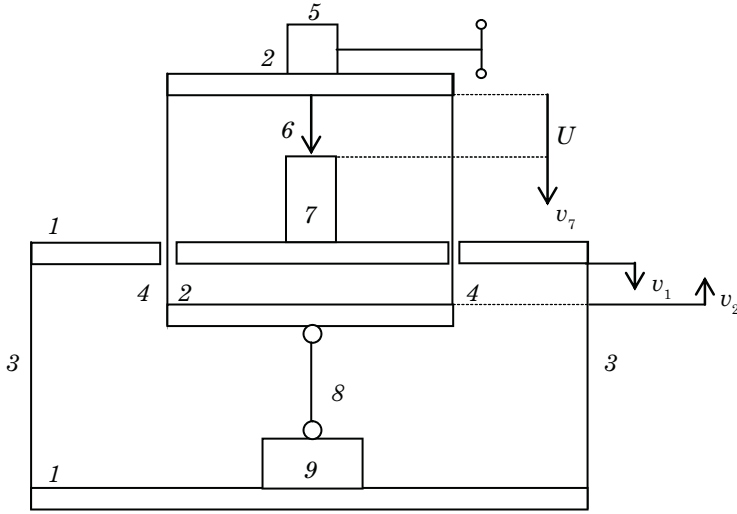


Рис. 1. Схема установки реверсного типа

Для определения жесткости установки мысленно скрепим захваты (образец отсутствует) и, вворачивая винт, зафиксируем некоторое значение U . В результате полная потенциальная энергия установки (деформирование упругое) определится выражением

$$\begin{aligned} \Pi = & \frac{E_3 F_3}{2L_3} v_1^2 + \frac{E_3 F_3}{2L_3} v_1^2 + \frac{E_7 F_7}{2L_7} (v_7 - v_1)^2 + \\ & + \frac{E_9 F_9}{2L_9} v_2^2 + \frac{E_4 F_4}{2L_4} (U - v_7 - v_2)^2 + \\ & + \frac{E_4 F_4}{2L_4} (U - v_7 - v_2)^2 - \int_0^U Q dU. \end{aligned}$$

Здесь E_3, E_7, E_9, E_4 – модули Юнга соответствующих стержней; F_3, F_7, F_9, F_4 – площади их поперечных сечений; L_3, L_7, L_9, L_4 – длины стержней; Q – сила, с которой винт давит на стержень 7. Согласно принципу минимума потенциальной энергии, система находится

в равновесии, если

$$\frac{\partial \Pi}{\partial v_1} = 0, \quad \frac{\partial \Pi}{\partial v_2} = 0, \quad \frac{\partial \Pi}{\partial v_7} = 0, \quad \frac{\partial \Pi}{\partial U} = 0. \quad (1)$$

Разрешая уравнения (1), находим

$$Q = \left(\frac{L_4}{2E_4 F_4} + \frac{L_{10}}{E_{10} F_{10}} + \frac{L_7}{E_7 F_7} + \frac{L_3}{2E_3 F_3} \right)^{-1} U = cU,$$

где c – жесткость установки.

Следовательно, данная установка подобна по энергии стержневой системе, изображенной на рис. 2, где 1 – образец, 2 – упругий стержень, жесткость которого при растяжении равняется жесткости с экспериментальной установки.

Таким образом, стержневая система (рис. 2) с практической точки зрения представляет собой модель поведения образца в испытательной машине. С теоретической точки зрения, исследования надо начинать с наиболее простых и наиболее легко познаваемых

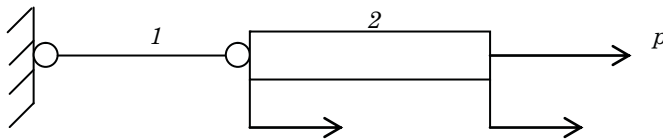


Рис. 2. Стержневая система (аналог экспериментальной установки)

предметов, восходя постепенно к познанию наиболее сложного [13]. Тем самым изучаемые простые механические системы становятся модельными примерами для общей теории, которые позволяют установить связь между теорией и практикой и отточить физическую интуицию.

Уравнения равновесия

Растяжение системы можно осуществить двумя способами, а именно, задавая величину U – перемещение правого конца упругого стержня 2 (рис. 2) (жесткое нагружение) либо прикладывая к нему растягивающее усилие p (мягкое нагружение). При жестком нагружении система имеет одну обобщенную координату x – удлинение образца. При мягком нагружении две обобщенные координаты – x , U . Учитывая то, что нагружение ведется с малой скоростью (квазистатически), при постоянной температуре, выпишем лагранжиан (функцию потенциальной энергии), описывающий поведение системы в случае жесткого нагружения. Он имеет вид [8, 9]

$$W^U = \int_0^x q(x) dx + \frac{c}{2}(U - x)^2.$$

Здесь $q(x)$ – сила, растягивающая образец. Тогда, используя уравнение Лагранжа второго рода [14], получаем уравнение равновесия

$$\begin{aligned} W_{,x}^p &= q(x) - c(U - x), \\ W_{,U}^p &= c(U - x) - p = 0. \end{aligned} \quad (2)$$

Запятой обозначена частная производная по соответствующей переменной.

Когда реализуется мягкое нагружение, то лагранжиан равен

$$W^p = W^U - \int_0^U p dU$$

[8, 9] и равновесие определяется двумя уравнениями

$$\begin{aligned} W_{,x}^p &= q(x) - c(U - x), \\ W_{,U}^p &= c(U - x) - p = 0. \end{aligned} \quad (3)$$

Зависимость растягивающего образца усилия от его удлинения является нелинейной функцией, обладающей восходящей и ниспадающей до нуля ветвями [1–5]. Кроме того, для упругопластического образца имеем [9]

$$q = \lambda(x - x^p), \quad (4)$$

где x^p – неупругая составляющая удлинения x ; λ – касательный модуль образца на стадии упругости. Кинетика возрастания x^p определяется формулой

$$x^p = x - \frac{1}{\lambda} \int_0^x \lambda^p(x) dx, \quad (5)$$

где λ^p – касательный модуль (касательная к кривой $q(x)$).

Метод упругих решений. Жесткое нагружение

Определим параметры равновесных состояний стержневой системы (рис. 2) при медленном увеличении параметра U . Решение уравнения (2), в котором использовано равенство (4), можно представить в виде суммы $x = \omega + v$, где ω – решение уравнения

$$\lambda\omega - c(U - \omega) = 0, \quad (6)$$

а v – решение уравнения

$$\lambda(v - x^p) + cv = 0. \quad (7)$$

Уравнение (6) определяет положения равновесия упругой системы (оба стержня упругие) для заданного значения U . Назовем это решение основным. Уравнение (7) также определяет положения равновесия в упругой системе, но при $U = 0$ и неупругом (остаточном) удлинении x^p образца. Назовем это решение корректирующим. Так как значение x^p , отвечающее реальному равновесию, заранее не известно, то необходимо иметь некоторую процедуру для его вычисления. После этого получаем

искомое корректирующее решение для заданной величины U .

Пусть при некотором $U = U_0$ система находится в равновесии, и ее состояние характеризуется параметрами, $x = x_0$, $x^p(x_0) = x_0^p$, $\lambda^p(x_0) = \lambda_0^p$, где x_0 – решение уравнения (2) при $U = U_0$. Произведем догружение на ΔU и будем искать решение уравнения (2) для $U_1 = U_0 + \Delta U$. Сначала решаем основную задачу при $U = \Delta U$. Находим $\omega_1 = c\Delta U(\lambda + c)^{-1}$ и получаем начальное приближение $z_1 = x_0 + \omega_1$ к решению исходной задачи. Так как величина неупругого удлинения образца при этом изменилась, то полученное приближение z_1 требует корректировки. Находим приращение неупругого удлинения по формуле

$$dx^p = \left(1 - \frac{\lambda^p}{\lambda}\right) dx, \quad (8)$$

вытекающей из выражения (5). Полагая $dx = \omega_1$, $\lambda^p = \lambda_0^p$, вычисляем dx_1^p и, решая задачу (7) при $x^p = dx_1^p$, получаем $v_1 = \lambda dx_1^p(\lambda + c)^{-1}$ и следующее приближение $z_2 = z_1 + v_1$. Наконец, находим значение касательного модуля $\lambda_1^p = \lambda^p(z_1)$, отвечающего этому приближению.

Снова вычисляем приращение неупругого удлинения dx_2^p по формуле (8), где уже $dx = v_1$, $\lambda^p = \lambda_1^p$. Полагая в уравнении (7) $x^p = dx_2^p$, находим $v_2 = \lambda dx_2^p(\lambda + c)^{-1}$ и следующее приближение $z_3 = z_2 + v_2$, а также $\lambda_2^p = \lambda^p(z_2)$. И так далее. Искомое решение равно $x_1 = \lim_{n \rightarrow \infty} z_n$.

Последовательность z_n – это последовательность частичных сумм числового ряда с положительными членами

$$x_0 + c\Delta U(\lambda + c)^{-1} + \sum_{n=0}^{\infty} \Psi_n [c\Delta U(\lambda + c)^{-1}], \quad (9)$$

где $\Psi_n = \prod_{i=0}^n (1 - \lambda_i^p \lambda^{-1}) \lambda(\lambda + c)^{-1}$. Последовательность z_n имеет конечный предел, если ряд (9) сходится [15].

Рассмотрим для ряда (9) вариант

$$\rho_n = \frac{\Psi_{n+1}}{\Psi_n} = \frac{1}{(\lambda + c)} (\lambda - \lambda_n^p)$$

(отношение последующего члена к предыдущему). Если при достаточно больших n выполняется неравенство $\rho_n < 1$, то, согласно принципу Даламбера, ряд (9) сходится. Когда, начиная с некоторого номера, $\rho_n > 1$, то ряд расходится [15]. Возможны два случая. В первом в ходе реализации приближения всегда $\lambda_n^p > -c$ и, следовательно, $\rho_n < 1$. Ряд (9) сходится. Во втором существует отрезок $[x', x'']$, где значения x' и x'' есть решения уравнения $\lambda^p(x) = -c$. Внутри отрезка $\lambda^p < -c$. Если в ходе итераций величина z_n попадает в этот отрезок, то $\rho_n > 1$, и ряд начинает расходиться. Однако, так как неупругие удлинения все время увеличиваются и увеличиваются величины следующих приближений, то необходимо z_n выходить из отрезка $[x', x'']$. Поэтому в конце концов ряд сходится.

Из приведенных рассуждений следует, что в общем случае ряд (9) делится на участки сходимости и расходимости. На участках сходимости реализуется принцип сжимающих отображений. Для сжатия достаточно выполнения неравенств $\lambda > \lambda_n^p > -c$. На участках расходимости $\lambda_n^p < -c$.

В работе [8] установлено, что равенство $\lambda_n^p = -c$ является условием потери устойчивости процесса растяжения исследуемой механической системы. Таким образом, начало расходимости итерационного процесса совпадает с моментом потери устойчивости растяжения. Отсюда можно сформулировать критерий устойчивости положения равновесия: если при возмущении равновесного состояния итерационный процесс начинает расходиться, то данное равновесие является неустойчивым, и система скачкообразно переходит в другое устойчивое положение равновесия.

Продолжая догружение, находим решения уравнения (2) для возрастающих значений U . В результате получаем точки с координатами (U, x) , которые

образуют кривую равновесных состояний OA (рис. 3). Точка A имеет координаты (U', x') такие, что $\lambda^p(x') = -c$, $U' = U(x')$.

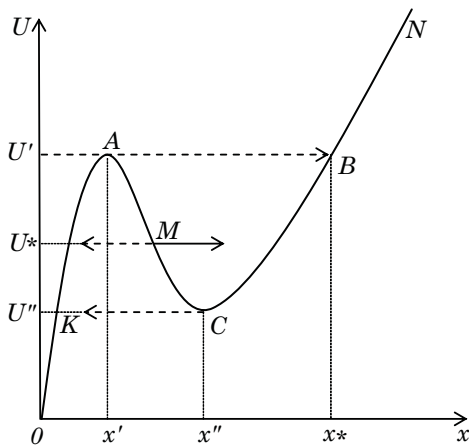


Рис. 3. Качественный вид кривой равновесных состояний при монотонном жестком нагружении

После возмущения этого равновесия итерационный процесс начинает сразу расходиться. Таким образом, равновесие в точке A является неустойчивым. Однако, как было показано выше, с некоторого момента расходимость сменяется сходимостью. В результате последовательных приближений значения x пробегает по прямой AB , и процесс итераций сходится к параметру x_* , отвечающему точке B (рис. 3). Следовательно, для $U = U'$ существуют два положения равновесия (два решения уравнения (2)). Одно неустойчивое (точка A), второе устойчивое (точка B). Переход из неустойчивости в устойчивость реализуется скачкообразно при сколь угодно малом возмущении (возрастании) параметра U (прямая AB). Продолжая постепенное увеличение параметра $U > U'$, получаем решение уравнения (2), отвечающее устойчивым равновесиям (рис. 3, ветвь BN).

Исследуем теперь возможность других решений уравнения (2). Для этого после достижения точки B будем проводить возмущение равновесия, уменьшая значения U . Тогда начальное

приближение ω для итерационного процесса является отрицательной величиной ($\Delta U < 0$) и, следовательно, все значения dx, dx^p, v при последующих приближениях также отрицательны. Таким образом, в ходе итераций величина x будет убывать. В этом случае при вычислении λ_n^p формально полагаем, что уменьшение x не есть разгрузка, и усилие в образце изменяется только в соответствии с функцией $q(x)$. Производя вычисления, находим точку C (рис. 3) с координатами $(x'', U^2 = U(x''))$. Это точка неустойчивого равновесия. При дальнейшем уменьшении параметра U система скачком переходит в устойчивое состояние (точка K , рис. 3). Отсюда уравнение (2) при $U = U^2$ имеет два решения. Одно соответствует точке C (неустойчивость), другое — точке K (устойчивое равновесие).

Итак, установлено, что для каждого U из интервала (U^2, U') уравнение (2) уже имеет два решения, которые отвечают устойчивым равновесиям, когда $x < x'$, $x > x''$. Найдем теперь такое $x_* \in (x', x'')$, которое удовлетворяет уравнению (2) при заданном значении $U = U_* \in (U', U^2)$, то есть уравнению $f(x) = \lambda(x - x'') - c(U_* - U) = 0$.

Применим метод половинного деления [16]. За один шаг метода промежуток существования корня сокращается ровно вдвое. Поэтому, если за k -е приближение к корню x_* уравнения (2) примем точку x_k , являющуюся серединой полученного на k -м шаге отрезка $[x_{k-1}, x_{k+1}]$ в результате последовательного сужения отрезка $[x', x'']$, то придем к неравенству $|x_* - x_k| < \frac{(x'' - x')}{2^k} (k = 1, 2, \dots)$.

Причем всегда $f(x_{k-1})f(x_{k+1}) < 0$. Процесс заканчиваем тогда, когда $|f(x_{k-1}) + f(x_{k+1})| < \varepsilon$ (ε — достаточно малая величина). Таким образом, получаем приближенное решение с необходимой степенью точности. Ему отвечает точка M на рис. 3. Выбирая теперь различные значения U_* , получаем приближенные решения уравнения (2), которым отвечают точки кривой AC (рис. 3). Это точки

неустойчивого равновесия, так как здесь $\lambda^p < -c$, и итерационный процесс, описанный выше, сразу начинает расходиться. При возмущении величины U_* на ΔU получаем в результате итераций точку на ветви CN , а при возмущении на $(-\Delta U)$ – точку на ветви OA (рис. 3).

Примечание. Лагранжиан, описывающий поведение системы, имеет в точках ветвей OA и CN (кроме точек A и C) минимум, а в точках ветви AC – максимум.

Метод упругих решений. Мягкое нагружение

Вычислим теперь параметры равновесных состояний стержневой системы (рис. 2) при медленном увеличении растягивающей силы p . Для этого представим систему уравнений равновесия (3), в которых использовано равенство (4), в виде

$$\begin{aligned} \lambda(x - x^p(x)) - c(U - x) &= 0, \\ c(U - x) - p &= 0 \end{aligned} \quad (10)$$

и разобьем задачу на две, а именно:

$$\lambda\omega - c(y - \omega) = 0, \quad c(y - \omega) - p = 0; \quad (11)$$

$$\lambda(v - x^p) - c(s - v) = 0, \quad c(s - v) = 0. \quad (12)$$

Решением уравнений (10) являются суммы $x = \omega + v$, $U = y + s$, где ω, y – решение уравнений (11), а v, s – решение уравнений (12). Уравнения (11) определяют положения равновесия упругой системы для заданного p , а уравнения (12) также определяют положения равновесия в упругой системе, но при $p = 0$ и некотором значении x^p . Система (11) является основной, а система (12) – корректирующей.

Пусть при некотором $p = p_0$ механическая система находится в равновесии, и ее состояние характеризуется параметрами $U = U_0$, $x = x_0$, $x^p = x_0^p$, $\lambda^p = \lambda_0^p$. Произведем догрузку на Δp и найдем решение системы (10) для $p_1 = p_0 + \Delta p$. Сначала ищем решение основной системы (11), где $p = \Delta p$. Имеем $\omega_1 = \Delta p / \lambda$, $y_1 = \Delta p(\lambda + c) / c\lambda$. Тогда

начальное приближение к искомому решению есть $z_1 = x_0 + \omega_1$, $t_1 = U_0 + y_1$. Это решение требует корректировки, так как изменяются величины x^p и λ^p . Сначала находим приращение неупругого удлинения dx_1^p первого стержня по формуле (8), где $dx = \omega_1$, $\lambda^p = \lambda_0^p$, и решаем задачу (12) при $x^p = dx_1^p$. Получаем $v_1 = s_1 = dx_1^p$ и следующее приближение: $z_2 = z_1 + v_1$, $t_2 = t_1 + s_1$. Наконец, вычисляем $\lambda_1^p = \lambda^p(z_1)$.

Снова рассчитываем приращение неупругого удлинения dx_2^p по формуле (8), где уже $dx = v_1$, $\lambda^p = \lambda_1^p$. Полагая в уравнениях (12) $x^p = dx_2^p$, находим $v_2 = s_2 = dx_2^p$ и следующее приближение $z_3 = z_2 + v_2$, $t_3 = t_2 + s_2$, а также $\lambda_2^p = \lambda^p(z_2)$. И так далее. Искомое решение системы (10) равно $x_1 = \lim z_n$, $U_1 = \lim t_n$ ($n \rightarrow \infty$).

В данном случае последовательности z_n , t_n есть последовательности частичных сумм числовых рядов с положительными членами

$$x_0 + \frac{\Delta p}{\lambda} + \sum_{n=0}^{\infty} V_n \frac{\Delta p}{\lambda}, \quad (13)$$

$$U_0 + \frac{\Delta p(\lambda + c)}{\lambda c} + \sum_{n=0}^{\infty} V_n \frac{\Delta p}{\lambda}, \quad (14)$$

где $V_n = \prod_{i=0}^n (1 - \lambda_i^p \lambda^{-1})$.

Последовательности z_n , t_n имеют конечные пределы, если ряды (13), (14) сходятся [15]. Рассмотрим для этих рядов вариант

$$\tau_n = \frac{V_{n+1}}{V_n} = \left(1 - \frac{\lambda_n^p}{\lambda}\right)$$

(отношение последующего члена к предыдущему). Согласно принципу Даламбера [15], если выполняется неравенство $\tau_n < 1$, то ряды сходятся. Начиная с некоторого номера $\tau_n > 1$ ряды расходятся. Значит, ряды (13), (14) сходятся при $\lambda_n^p > 0$ и расходятся при $\lambda_n^p < 0$.

На начальных этапах догружения условия сходимости выполняются. Поэтому, продолжая догружения, получаем решения уравнения (10), которые определяют точки с координатами (p, U) ,

образующими кривую равновесных состояний OD (рис. 4).

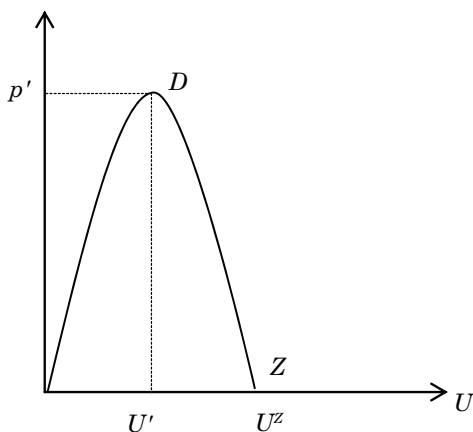


Рис. 4. Качественный вид кривой равновесных состояний механической системы при мягком нагружении

При возмущении отвечающего точке D равновесия, в котором $\lambda^p = 0$, ряды (13), (14) расходятся, так как после возмущения все $\lambda_n^p < 0$. Тогда $x \rightarrow \infty$, $U \rightarrow \infty$, и нового равновесного состояния не существует. Равновесие в точке D при $p = p'$ неустойчивое. Таким образом, равновесие механической системы является неустойчивым, если после его возмущения итерационный процесс начинает расходиться.

Итак, система (10) для $p \in [0, p']$ имеет, по крайней мере, одно решение (для

$p = p'$ — всего одно). Когда $p = 0$, то два решения: одно тривиальное ($x = x^p = U = 0$), другое $x = x^z = U^z = x^p(x^z)$. Пусть $p = p_* \in (0, p')$. Преобразуем систему (10) к одному уравнению $F = \lambda(x - x^p) - p_* = 0$ и рассмотрим возможность его решения на интервале (x', x^z) . Здесь x' отвечает $U'(x', U' - \text{решение системы (10) при } p = p')$. Применим метод половинного деления [16].

Имеем $\frac{|x_* - x_k|}{2^k} < (x^z - x')$. Здесь x_* —

предполагаемый корень уравнения $F = 0$, x_k — середина полученного на k -м шаге отрезка $[x_{k-1}, x_{k+1}]$. Притом всегда $F(x_{k-1})F(x_{k+1}) < 0$. Процесс заканчиваем тогда, когда $|F(x_{k-1}) + F(x_{k+1})| < \varepsilon$. После определения приближенного значения корня x_* из второго уравнения системы (10) находим $U_* = \frac{p_*}{c} + x_*$. Производя вычисления для различных значений p_* , получаем совокупность точек (p_*, U_*) , которое образует ветвь DZ кривой $p \sim U$ (рис. 4). Следовательно, система (10) для $p \in (0, p')$ имеет два решения.

Отметим, что положения равновесия, отвечающие точкам ветви DZ , неустойчивы, так как при любом их возмущении описанная выше итерационная процедура расходится ($\lambda_n^p < 0$). ■

Литература

1. Вильдеман В.Э., Чаусов Н.Г. Условия разупрочнения материала при растяжении опытного образца специальной конфигурации // Заводская лаборатория. Диагностика материалов. 2007. Т. 73. № 10. С. 55–59. ISSN 1028-6861.
2. Чаусов Н.Г. Полная диаграмма деформирования как источник информации о кинетике накопления повреждений и трещиностойкости материалов // Заводская лаборатория. Диагностика материалов. 2004. Т. 70, № 7. С. 42–49. ISSN 1028-6861.
3. Лебедев А.А., Чаусов Н.Г., Евецкий Ю.Л. Методика построения полных диаграмм деформирования листовых материалов // Проблемы прочности. 1986. № 9. С. 29–32.
4. Вильдеман В.Э., Третьяков М.П. Испытание материалов с построением полных диаграмм деформирования // Проблемы машиностроения и надежности машин. 2013. № 2. С. 93–98. ISSN 0235-7119.
5. Стружанов В.В., Башуров В.В. Модификационная модель Мазинга // Вестн. Сам. ГТУ. Сер. : «Физ.-мат. науки». 2007. № 1 (14). С. 29–39. ISSN 1991-8615.
6. Стружанов В.В., Миронов В.И. Деформационное разупрочнение материала в элементах конструкций. Екатеринбург : УрО РАН, 1995. 191 с.

7. Тарабарин Г.Т. Редукционная модель процесса растяжения хрупкого материала и вопросы расчета с полной диаграммой растяжения // Бетон и железобетон. 1994. № 4. С. 22–26. ISSN 2005-9889.
8. Стружанов В.В., Коркин А.В. Об устойчивости процесса растяжения одной стержневой системы с разупрочняющимися элементами // Вестник УрГУПС. 2016. № 3 (31). С. 4–17. ISSN 2079-0392.
9. Стружанов В.В., Коркин А.В. О решении нелинейных уравнений равновесия одной стержневой системы с разупрочняющимися элементами методом простых итераций // Вестник УрГУПС. 2017. № 2 (34). С. 4–16. ISSN 2079-0392.
10. Ильюшин А.А. Пластичность. Основы общей математической теории. М. : Изд-во АН СССР. 1963. 272 с.
11. Горшков А.Г., Старовойтов Э.И., Тарлаковский Д.В. Теория упругости и пластичности. М. : Физматлит. 2002. 416 с. ISBN 5-9221-0229-X.
12. Стружанов В.В. Определение инкрементальных модулей по результатам испытаний на растяжение с построением полной диаграммы // Вестн. Сам. гос. техн. ун-та. Сер. : «Физ.-мат. науки». 2008. № 1 (16). С. 160–163. ISSN 1991-8615.
13. Декарт Р. Рассуждение в методе для хорошего направления разума и отыскания истины в науках // Избранные произведения. – М., 1950. С. 271–273.
14. Бухгольц Н.Н. Основной курс теоретической механики. М. : Наука. 1966. Ч. II. 332 с.
15. Фихтенгольц Г.М. Курс дифференциального и интегрального исчисления. Т. II. М. : Гос. изд-во физ.-мат. лит. 1959. 807 с.
16. Вержбицкий В.М. Численные методы (линейная алгебра и нелинейные уравнения). М. : Высшая школа. 2000. 266 с. ISBN 5-329-01110-8.

Literature

1. Vildeman V.E., Chausov N.G. Conditions of weakening of material in extension of a special configuration prototype [Usloviya razuprochneniya materiala pri rastyazhenii opytnogo obraztsa spetsialnoj konfiguratsii] // Works laboratory. Diagnostics of materials. 2007. V. 73. № 10. P. 55–59. ISSN 1028-6861.
2. Chausov N.G. Complete chart of deformation as a source of information on kinetics of accumulation of faults and material crack resistance [Polnaya diagramma deformirovaniya kak istochnik informatsii o kinetike nakopleniya povrezhdenij i treshchinostojkosti materialov] // Works laboratory. Diagnostics of materials. 2004. V. 70, № 7. P. 42–49. ISSN 1028-6861.
3. Lebedev A.A., Chausov N.G., Evetsky Yu.L. Techniques of making complete charts of deformation of plate materials [Metodika postroeniya polnyh diagramm deformirovaniya listovykh materialov] // Problems of resistibility. 1986. № 9. P. 29–32.
4. Vildeman V.E., Tretyakov M.P. Testing of materials with plotting complete charts of deformation [Ispytaniye materialov s postroeniem polnyh diagramm deformirovaniya] // Problems of mechanical engineering and machine reliability [Problemy mashinostroeniya i nadezhnosti mashin]. 2013. № 2. P. 93–98. ISSN 0235-7119.
5. Struzhanov V.V., Bashurov V.V. Mazing modified model [Modifikatsionnaya model Mazinga] // Herald of Sam.STU. Issue: «Phys. and Math. Science». 2007. № 1 (14). P. 29–39. ISSN 1991-8615.
6. Struzhanov V.V., Mironov V.I. Deformational weakening of material in structural elements [Deformatsionnoye razuprochneniye materiala v elementah konstruksij]. Ekaterinburg : Ural branch of Russia's Academy of Sciences, 1995, 191 p.
7. Tarabarin G.T. Reductional model of extension process of brittle material and estimate with complete extension of a chart [Reduktsionnaya model protsessa rastyazheniya hrupkogo materiala i vyprosy rascheta s polnoj diagrammoj rastyazheniya] // Concrete and reinforced concrete. 1994. № 4. P. 22–26. ISSN 2005-9889.
8. Struzhanov V.V., Korkin A.V. On stability of extension process of a single framed structure with weakening elements [Ob ustojchivosti protsessa rastyazheniya odnoj sterzhnevoj sistemy s razuprochnyayushchimisya elementami] // Herald of USURT. 2016. № 3 (31). P. 4–17. ISSN 2079-0392.
9. Struzhanov V.V., Korkin A.V. About solving non-linear balance equations of a single framed structure with weakening elements using the method of simple iterations [O reshenii

- nelinejnyh uravnenij ravnovesiya odnoj sterzhnevoj sistemy s razuprochnyayushchimisya elementami metodom prostyh iteratsij] // Herald of USURT. 2017. № 2 (34). P. 4–16. ISSN 2079-0392.
10. Ilyushin A.A. Plasticity. Fundamentals of general mathematical theory [Plastichnost. Osnovy obshchej matematicheskoy teorii]. M. : USSR AS publishers. 1963. 272 p.
 11. Gorshkov A.G., Starovoitov E.I., Tarlakovsky D.V. Theory of resilience and plasticity [Teoriya uprugosti i plastichnosti]. M: Physmathlit. 2002. 416 p. ISBN 5-9221-0229-X.
 12. Struzhanov V.V. Defining incremental modules by results of testing for extension with making a complete chart [Opredelenije inkrementalnyh modulej po rezultatam ispytanij na rastyazhenije s postroenijem polnoj diagrammy] // Herald of Sam. STU. Issue : «Phys. and Math. Science». 2008. № 1 (16). P. 160–163. ISSN 1991-8615.
 13. Descartes R. Speculation in a method for appropriate mind direction and finding reason in sciences [Rassuzhdenije v metode dlya horoshego napravleniya razuma i otyskaniya istiny v naukah] // Selected works. – M., 1950. P. 271–273.
 14. Bukhgoltz N.N. Basic course of Theoretical Mechanics [Osnovnoj kurs teoreticheskoy mehaniki]. M. : Science. 1966. P. II. 332 p.
 15. Fikhtenholts G.M. Course of differential and integral calculus [Kurs differentsialnogo i integralnogo ischisleniya]. V. II. M. : State publishers of phys. and math. lit. 1959. 807 p.
 16. Verzhbitsky V.M. Numerical methods (linear algebra and non-linear equations) [Chislennyye metody (linejnaya algebra i nelinejnyje uravneniya)]. M. : Higher school. 2000. 266 p. ISBN 5-329-01110-8.

Статья сдана в редакцию 19 января 2018 года

УДК 621.316.11, 621.3.053.1

А.А. Косяков

Учёт сопротивления заземляющего устройства и сопротивления металlosвязи оборудования при расчёте токов двухфазного короткого замыкания на землю

UDC 621.316.11, 621.3.053.1

А.А. Kosyakov

Accounting the grounding device and the equipment metal connection resistance in calculation of the two-phase ground short circuit currents

Аннотация

В статье описаны способы расчёта тока двухфазного короткого замыкания на землю в электрических сетях с изолированной нейтралью для оценки термической стойкости заземляющих проводников и заземлителей, учитывающие характеристики заземления оборудования – сопротивление заземляющего устройства и сопротивление металlosвязи оборудования с заземляющим устройством. Данный расчёт необходим для выполнения обследования технического состояния и проектирования заземляющих устройств электроустановок 6–35 кВ. Определены причины несоответствия результатов расчётов, выполненных по нормативной документации по выбору и настройке релейных защит, в том числе с использованием программы АРМ СРЗА, и по нормативной документации по обследованию и проектированию заземляющих устройств электроустановок. Для расчётов тока двухфазного короткого замыкания на землю с учётом сопротивления заземляющего устройства и сопротивления металlosвязи оборудования с заземляющим устройством выведены новые формулы, учитывающие сопротивление нагрузки удалённых потребителей и активно-индуктивный характер сопротивления сети 6–35 кВ току короткого замыкания, определена область применения выведенных формул. На примере расчёта тока двухфазного короткого замыкания на землю на шинах 10 кВ Новосибирской ТЭЦ-2 показано отсутствие практической необходимости учёта сопротивления заземляющего устройства и сопротивления металlosвязи оборудования с заземляющим устройством при оценке термической стойкости заземляющих проводников и заземлителей.

Ключевые слова: ток короткого замыкания, заземляющий проводник, заземлитель, сопротивление заземляющего устройства, сопротивление металlosвязи, термическая стойкость.

DOI: 10.20291/2079-0392-2018-1-21-32

Abstract

The article describes the ways of calculation of the two-phase ground short-circuit current in electricity networks with isolated neutral for assessment of the grounding devices thermal withstand capability, taking into account the grounding equipment resistance characteristics. The calculation in question is necessary for technical inspection and construction of grounding devices for electrical installations 6–35 kV. The reasons of disagreement between the results calculated according to the relay protection normative documents (including those performed by means of APM CP3A program) and the results calculated according to the normative documents on inspection and construction of grounding devices were revealed.

New formulas were obtained for calculations of the two-phase ground short-circuit current taking into account the grounding device and the equipment metal connection resistance. The new formulas consider furthermost consumers' resistance load and the active and inductive resistance of the 6–35 kV network to the short-circuit current. The field of application of the formulas was outlined.

On the example of calculation of the two-phase ground short circuit current executed for 10 kV bus bars at Novosibirsk TPP-2 the absence of practical need was revealed in taking into account the grounding device and the equipment metal connection resistance in assessment of the grounding devices thermal withstand capability.

Keywords: short circuit current grounding device, grounding conductor, grounding device resistance, electric equipment metal connection resistance, thermal withstand capability.

DOI: 10.20291/2079-0392-2018-1-21-32

Статья рекомендована к опубликованию А.В. Бунзей, канд.техн. наук, доцентом; заведующим кафедрой «Электрические машины» Уральского государственного университета путей сообщения. E-mail: ABunzia@usurt.ru.
The article is recommended for publishing by A.V.Bunzia, Candidate of Technical Science, Associate Professor; Head of the Chair of Electrical Machines, Ural State university of Railway Transport. E-mail: ABunzia@usurt.ru.

Алексей Александрович Косяков, канд. техн. наук, доцент; ведущий инженер ООО «Альфа ЭМС»; Екатеринбург, Россия. E-mail: kosakov@yandex.ru.

Alexey Alexandrovich Kosyakov, Candidate of Technical Science, Associate Professor; Leading Engineer, ООО «Alpha EMS»; Ekaterinburg, Russia. E-mail: kosakov@yandex.ru.

Методы расчёта токов короткого замыкания в высоковольтных электроустановках проверены временем, хорошо зарекомендовали себя; одна из целей расчёта токов короткого замыкания – очень важная для нормального функционирования объекта электроэнергетики задача: выбор и настройка релейных защит, требующая выполнения расчётов максимальных и минимальных токов трёхфазного короткого замыкания в электроустановках с изолированной нейтралью 6–35 кВ [1, 2].

При оценке технического состояния (обследовании) заземляющих устройств электроустановок, проектировании реконструкции заземляющих устройств электроустановок возникает ещё одна задача, связанная с расчётом тока короткого замыкания, – расчёт термической стойкости заземляющих проводников и заземлителей. При расчете термической стойкости заземляющих проводников и заземлителей в электроустановках с изолированной нейтралью 6–35 кВ расчётным режимом является режим двухфазного короткого замыкания на землю [3–10].

Как правило, расчёт тока двухфазного короткого замыкания на землю I_{K2} выполняется по хорошо известной формуле [2]:

$$I_{K2} = \frac{\sqrt{3}}{2} \cdot I_{K3}, \quad (1)$$

где I_{K3} – расчётное значение максимального тока трёхфазного короткого замыкания.

Формула (1) не учитывает путь тока двухфазного короткого замыкания, проходящий в том числе через заземляющее устройство электроустановки. Поскольку токи трёхфазного короткого замыкания I_{K3} не замыкаются через заземляющее устройство электроустановки, расчётная схема для их определения не предусматривает включение сопротивления заземляющего устройства в цепь короткого замыкания. Соответственно, значение тока двухфазного короткого

замыкания на землю I_{K2} , определённое по формуле (1), будет отличаться от значения тока, рассчитанного с учётом характеристик заземления оборудования – не только сопротивления заземляющего устройства, но и сопротивления металlosвязи оборудования с заземляющим устройством*.

Анализ существующей нормативной документации по расчёту токов короткого замыкания, а также прочей научно-технической информации по данному вопросу показал, что опыта выполнения расчётов токов двухфазного короткого замыкания с учётом характеристик заземления оборудования в настоящее время нет. Для ответа на замечание заказчика обследования электромагнитной обстановки Новосибирской ТЭЦ-2 – АО «Сибирская энергетическая компания» – были выведены расчётные формулы для определения тока двухфазного короткого замыкания с учётом характеристик заземления оборудования – сопротивления заземляющего устройства и сопротивления металlosвязи оборудования с заземляющим устройством.

При выполнении обследования заземляющего устройства и электромагнитной обстановки Новосибирской ТЭЦ-2 в качестве исходных данных для расчёта термической стойкости заземляющих проводников и заземлителей

* В большинстве практических случаев обследования и проектирования заземляющих устройств применение значения тока двухфазного короткого замыкания на землю, рассчитанного по формуле (1), не вызывает вопросов у заказчиков обследования и проектной продукции. Однако в мае 2016 года, в процессе согласования отчётной документации по обследованию заземляющего устройства и электромагнитной обстановки Новосибирской ТЭЦ-2 – филиала АО «Сибирская энергетическая компания», выполненного ООО «Альфа ЭМС», специалисты ООО «Альфа ЭМС» столкнулись с требованием заказчика обследования применить для расчёта термической стойкости заземляющих проводников и заземлителей оборудования 10 кВ ток двухфазного короткого замыкания, рассчитанный с учётом характеристик заземления оборудования – сопротивления заземляющего устройства и сопротивления металlosвязи оборудования с заземляющим устройством. Основанием такого требования было желание заказчика исключить избыточные затраты на реконструкцию заземляющего устройства, связанные с некорректным расчётом тока двухфазного короткого замыкания на землю по формуле (1).

оборудования 10 кВ службой релейной защиты и автоматики (АО «Сибирская энергетическая компания») предоставлены ток трёхфазного замыкания 79090 А и время действия основной защиты 0,1 с.

В соответствии с результатами расчёта по формуле (1), ток двухфазного замыкания на оборудовании 10 кВ был принят равным 68494 А. Такому значению тока короткого замыкания, в соответствии с [3], по условию термической стойкости соответствует минимально допустимое сечение заземляющих проводников и заземлителей:

$$S = I_{k2} \cdot \frac{\sqrt{t + 0,1}}{60} =$$

$$= 68494 \cdot \frac{\sqrt{0,1 + 0,1}}{60} = 511 \text{ мм}^2,$$

где t – время действия основной защиты, с.

Поскольку минимальное сечение заземляющих проводников и заземлителей оборудования 10 кВ Новосибирской ТЭЦ-2 на момент обследования составляло 288 мм², был сделан вывод о их несоответствии условию термической стойкости и даны рекомендации о выполнении ремонта в объёме монтажа дополнительных заземляющих проводников и заземлителей оборудования 10 кВ.

Однако рекомендации по ремонту заземляющего устройства не отвечали желанию заказчика минимизировать затраты на ремонт. Чтобы сэкономить, служба РЗА АО «Сибирская энергетическая компания» выполнила расчёт тока двухфазного короткого замыкания на землю с учётом сопротивления заземляющего устройства и сопротивления металlosвязи оборудования с заземляющим устройством и предоставила новое значение тока двухфазного замыкания на оборудовании 10 кВ – 34682 А. Расчёт проведен в программе АРМ СРЗА [11], с предоставлением расчётного файла и способа задания расчётной

аварии – двухфазного короткого замыкания на землю (рис. 1).

АРМ СРЗА – основное программное средство по расчёту токов короткого замыкания; применяется в энергетике России, Казахстана, Белоруссии, Латвии, Литвы и Монголии. Метод расчёта тока двухфазного короткого замыкания на землю в электрических сетях с изолированной нейтралью в данной программе по сути не отличается от метода расчёта тока двухфазного замыкания между фазами в одной точке по формуле (1). Но в [4] указано, что при расчёте тока двухфазного короткого замыкания на землю места замыкания разных фаз следует располагать в точках, наиболее удалённых друг от друга в пределах территории, занимаемой сетью с изолированной нейтралью, а в [5] уточнено, что одна из точек двухфазного короткого замыкания должна быть принята вне заземляющего устройства, для которого производится расчёт.

Расчётная электрическая схема, соответствующая методу расчёта программы АРМ СРЗА (рис. 1), представлена на рис. 2. Расчётная электрическая схема, соответствующая требованиям нормативных документов по обследованию и проектированию заземляющих устройств электроустановок, – на рис. 3.

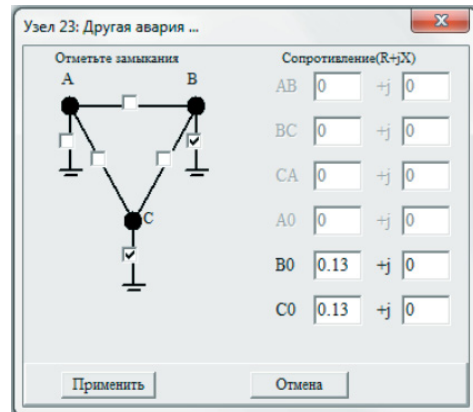


Рис. 1. Окно программы АРМ СРЗА – задание двухфазного короткого замыкания на землю в расчётной точке

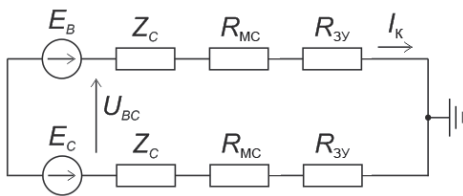


Рис. 2. Электрическая схема расчёта тока двухфазного короткого замыкания фаз В и С на землю, реализованная в программе АРМ СРЗА

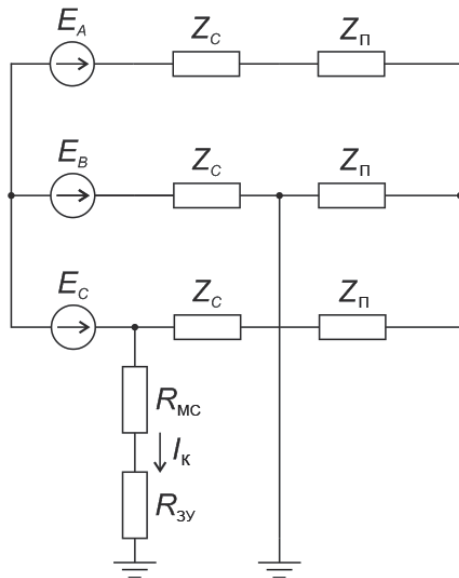


Рис. 3. Электрическая схема расчёта тока двухфазного короткого замыкания на землю фаз В и С, предусмотренная нормативной документацией по обследованию и проектированию заземляющих устройств электроустановок

На схемах (рис. 2, 3): I_K – ток двухфазного короткого замыкания на землю, протекающий по заземляющему проводнику; E_A , E_B , E_C – максимальные фазные напряжения эквивалентного генератора; U_{BC} – максимальное линейное напряжение фаз BC эквивалентного генератора; Z_C – эквивалентное полное сопротивление сети току короткого замыкания; $Z_П$ – полное сопротивление фазы наиболее удалённого потребителя электрической сети

с изолированной нейтралью; R_{MC} – активное сопротивление металlosвязи оборудования с заземляющим устройством; $R_{ЗУ}$ – активное сопротивление заземляющего устройства.

Характеристики заземления оборудования (сопротивление заземляющего устройства и сопротивление металlosвязи оборудования с заземляющим устройством) приняты активными, поскольку по РД 153-34.0-20.525-00 [3] и СТО 56947007-29.130.15.105–2011 [5] при обследовании заземляющих устройств, как правило, измеряется только активная составляющая указанных сопротивлений. Если реактивные составляющие сопротивлений заземляющего устройства и металlosвязи оборудования с заземляющим устройством были измерены, их можно ввести в цепь последовательно с соответствующими активными сопротивлениями.

Ввод сопротивлений R_{MC} и $R_{ЗУ}$ в программу АРМ СРЗА (рис. 2) производится для каждой замкнутой фазы, потому что программа АРМ СРЗА выполняет расчёт несимметричных коротких замыканий методом симметричных составляющих. Такая особенность программы АРМ СРЗА обусловлена её областью применения – расчётом токов короткого замыкания для выбора и настройки устройств релейной защиты, выполняемым в соответствии с [12] методом симметричных составляющих.

Ток двухфазного короткого замыкания на землю определяется выражением [12]:

$$I_{K2} = \frac{E_{\Phi}}{Z_1 + \frac{Z_2 \cdot Z_0}{Z_2 + Z_0}}, \quad (2)$$

где E_{Φ} – максимальное фазное напряжение эквивалентного генератора; Z_1 – полное эквивалентное сопротивление схемы замещения прямой последовательности относительно точки несимметричного короткого замыкания; Z_2 – полное эквивалентное сопротивление схемы замещения обратной последовательности относительно точки

несимметричного короткого замыкания (в соответствии с [12], $Z_2 = Z_1$); Z_0 – полное эквивалентное сопротивление схемы замещения нулевой последовательности относительно точки несимметричного короткого замыкания.

Величина Z_0 определяется по разным формулам из [12] для воздушных и кабельных линий электропередачи разного типа. При этом все формулы п. 4.2.5 РД 153-34.0-20.527–98 [12] не включают характеристики заземления оборудования.

Метод расчёта тока двухфазного короткого замыкания на землю по ГОСТ Р 52735–2007 [13] полностью аналогичен расчёту по РД 153-34.0-20.527–98 [12].

Схема по рис. 3, выполненная в соответствии с СТО 56947007-29.130.15.105–2011 [5] и СТО 56947007-29.130.15.114–2012 [4] для расчёта тока двухфазного короткого замыкания на землю с целью расчёта термической стойкости заземляющих проводников и заземлителей, имеет следующие особенности:

1) схема включает сопротивление металlosвязи оборудования с заземляющим устройством только на объекте, для которого выполняется оценка термической стойкости заземляющих проводников и заземлителей, но не включает сопротивление металlosвязи оборудования с заземляющим устройством на удалённом объекте сети с изолированной нейтралью. Это обусловлено тем, что, в соответствии с [5], на объекте обследования сопротивление металlosвязи оборудования с заземляющим устройством измеряется относительно опорной точки (заземляющего проводника другого оборудования), имеющей удовлетворительную металlosвязь с заземлителем. Таким образом, измеренное сопротивление металlosвязи включает как минимум два переходных (контактных) сопротивления между оборудованием и заземляющим устройством;

2) схема не включает сопротивление заземляющего устройства удалённого объекта сети с изолированной нейтралью, поскольку при выполнении

обследования заземляющего устройства конкретного объекта (электростанции или подстанции) выполнение измерений сопротивлений заземляющих устройств всех удалённых объектов сети с изолированной нейтралью практически нереализуемо из-за большого объёма и высокой стоимости такой работы. В случае, если сопротивление заземляющего устройства удалённого объекта сети с изолированной нейтралью известно, R_{3y} на схеме по рис. 3 можно определить как сумму сопротивлений заземляющих устройств обследуемого объекта и удалённого объекта сети с изолированной нейтралью.

Одна из задач настоящей работы – выявление современных подходов к расчёту токов двухфазного короткого замыкания на землю для расчёта термической стойкости заземляющих проводников и заземлителей*. Результаты анализа направлений развития методов расчёта тока двухфазного короткого замыкания показали:

1) ни в одной научной работе нет моделей расчёта тока короткого замыкания на землю, учитывающих характеристики заземления оборудования – сопротивление заземляющего устройства и сопротивление металlosвязи оборудования с заземляющим устройством;

2) основным расчётным методом для расчёта токов короткого замыкания является метод симметричных составляющих. Другие методы расчёта электрических цепей (методы законов Кирхгофа, контурных токов, узловых потенциалов, наложения, эквивалентного генератора), несмотря на нормативно закреплённую допустимость их применения для расчёта токов короткого замыкания ([9, 8]), используются для расчётов крайне редко;

3) совершенствование метода симметричных составляющих для расчёта двухфазных коротких замыканий выполняется в направлении учёта

* Для этого проведен поиск научных работ по указанной теме в открытых источниках. Наиболее близкие к теме настоящей статьи научные работы приведены в источниках [14–18].

сопротивления нагрузки потребителя в незамкнутой, третьей фазе; учёта дуговых процессов при коротком замыкании; расчёта токов короткого замыкания при замыкании двух фаз разных классов напряжения на одном объекте (например, одной фазы 35 кВ и одной фазы 6 кВ); расчёта токов короткого замыкания при замыкании одной фазы до токоограничивающего реактора 6–10 кВ, а другой фазы – за токоограничивающим реактором; расчёта наложения переходных процессов при множественных коротких замыканиях, перехода одного вида короткого замыкания в другой.

Схема (рис. 3), выполненная в соответствии с [4, 5] для расчёта тока двухфазного короткого замыкания на землю с целью расчёта термической стойкости заземляющих проводников и заземлителей, включает сопротивление нагрузки потребителя Z_{Π} электрической сети с изолированной нейтралью. Для расчёта данной схемы выполним её эквивалентное преобразование в схему, приведенную на рис. 4.

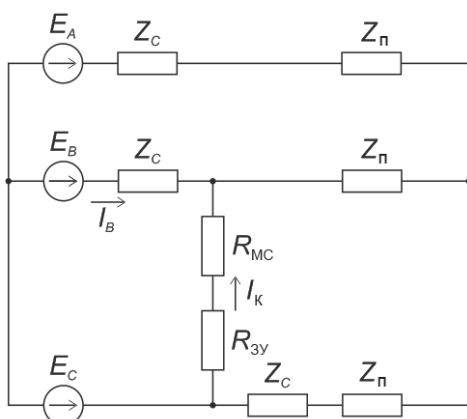


Рис. 4. Преобразованная электрическая схема расчёта тока двухфазного короткого замыкания на землю фаз В и С с учётом сопротивления нагрузки потребителя

Расчёт схемы по рис. 4 удобно выполнить методом узловых потенциалов. Для этого выполним эквивалентное преобразование схемы по рис. 4 в схему по рис. 5.

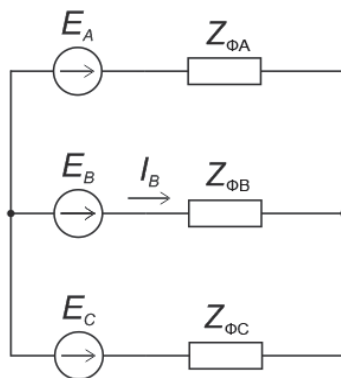


Рис. 5. Преобразованная электрическая схема расчёта тока двухфазного короткого замыкания методом узловых потенциалов

В схеме по рис. 5 эквивалентные сопротивления

$$\begin{aligned} Z_{\Phi A} &= Z_C + Z_{\Pi} + \frac{Z_{\Pi} \cdot (Z_C + Z_{\Pi})}{2Z_{\Pi} + Z_C + R_{MC} + R_{ЗУ}}, \\ Z_{\Phi B} &= Z_C + \frac{Z_{\Pi} \cdot (R_{MC} + R_{ЗУ})}{2Z_{\Pi} + Z_C + R_{MC} + R_{ЗУ}}, \\ Z_{\Phi C} &= \frac{(Z_C + Z_{\Pi}) \cdot (R_{MC} + R_{ЗУ})}{2Z_{\Pi} + Z_C + R_{MC} + R_{ЗУ}}. \end{aligned} \quad (3)$$

Тогда расчётный ток фазы В I_B по методу узловых потенциалов определится по формуле

$$I_B = \frac{1}{Z_{\Phi B}} \cdot \left(\dot{E}_B - \frac{\dot{E}_A + \dot{E}_B + \dot{E}_C}{\frac{1}{Z_{\Phi A}} + \frac{1}{Z_{\Phi B}} + \frac{1}{Z_{\Phi C}}} \right). \quad (4)$$

Ток двухфазного короткого замыкания на землю, протекающий по заземляющему проводнику I_K (рис. 4), можно определить по второму закону Кирхгофа:

$$I_K = \frac{\dot{E}_C - \dot{E}_B + \dot{I}_B \cdot Z_C}{R_{MC} + R_{ЗУ}}. \quad (5)$$

Если точный расчёт токов двухфазного короткого замыкания на землю по формулам (3)–(5) не нужен, то целесообразно принять сопротивление потребителя Z_{Π} равным бесконечности, что

соответствует работе фидера 6–35 кВ на холостом ходу. При обследовании и проектировании заземляющего устройства возможность такого допущения определяется по соотношению максимального рабочего тока и тока трёхфазного короткого замыкания на шинах 6–35 кВ: чем больше ток короткого замыкания по сравнению с максимальным рабочим током, тем меньшую погрешность в расчёт введёт такое допущение.

Преобразованная схема по рис. 4, в которой не учитывается сопротивление нагрузки потребителя, представлена на рис. 6.

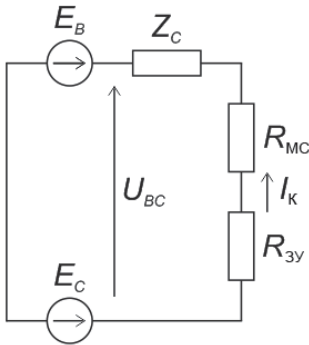


Рис. 6. Электрическая схема расчёта тока двухфазного короткого замыкания на землю фаз В и С без учёта сопротивления нагрузки потребителя

Расчёт тока двухфазного короткого замыкания на землю в соответствии со схемой по рис. 6 может быть выполнен по формуле

$$I_K = \frac{U_L}{Z_C + R_{MC} + R_{ЗУ}}, \quad (6)$$

где U_L – максимальное линейное напряжение эквивалентного генератора.

Нередко при обследовании и проектировании заземляющего устройства в качестве исходных данных эквивалентное полное сопротивление сети току короткого замыкания Z_C не предоставляется. Как правило, в таком случае предоставляется только ток трёхфазного короткого замыкания I_{K3} на шинах распределительного устройства

6–35 кВ и максимальное линейное напряжение на шинах U_L . Соотношение активного и реактивного сопротивления сети току короткого замыкания также обычно не предоставляется. Как правило, реактивная составляющая полного сопротивления сети току короткого замыкания в электроустановках высокого напряжения значительно больше активной составляющей. Соответственно, найденное по закону Ома сопротивление Z_C в таком случае можно принять реактивным:

$$Z_C = X_C = \frac{U_\Phi}{I_{K3}} = \frac{U_L}{I_{K3} \cdot \sqrt{3}}, \quad (7)$$

где U_Φ – максимальное фазное напряжение эквивалентного генератора.

Формула (7) может быть использована и для нахождения полного сопротивления фазы наиболее удалённого потребителя электрической сети с изолированной нейтралью Z_Π , поскольку этот параметр электрической сети обычно при обследовании и проектировании заземляющего устройства в качестве исходных данных не предоставляется.

С учётом изложенного, удобная для практического применения упрощённая формула расчёта тока двухфазного короткого замыкания на землю, протекающего в заземляющем проводнике, будет иметь следующий вид:

$$I_{K2} = \frac{U_L}{\sqrt{\frac{U_L^2}{I_{K3}^2 \cdot 3} + (R_{MC} + R_{ЗУ})^2}}. \quad (8)$$

Сравнение результатов расчёта тока двухфазного короткого замыкания на землю по предложенным формулам приведено в таблице (на примере первой секции шин 10 кВ Новосибирской ТЭЦ-2). В качестве исходных данных для расчётов приняты параметры сети 10 кВ, предоставленные службой РЗА АО «Сибирская энергетическая компания», а также характеристики заземления оборудования, измеренные

ООО «Альфа ЭМС» на электростанции: ток трёхфазного короткого замыкания – 79090 А; максимальное линейное напряжение – 10600 В; угол сдвига фаз трёхфазной системы – 120° ; эквивалентное полное сопротивление сети 10 кВ току короткого замыкания – $0,002 + j0,077$ Ом; максимальные рабочие токи фидеров удалённых потребителей 10 кВ приняты равными 3000 А, 1000 А, 300 А; характер нагрузки – активная; сопротивление заземляющего устройства – 0,09 Ом; сопротивление

металлосвязи оборудования 10 кВ с заземляющим устройством – 0,04 Ом.

Выводы

В программе АРМ СРЗА, в связи с особенностями реализованного в ней метода симметричных составляющих, принципиально невозможно рассчитать ток двухфазного короткого замыкания на землю, протекающий через заземляющий проводник оборудования 6–35 кВ с повреждённой изоляцией.

Результаты расчёта токов двухфазного короткого замыкания на землю

Описание	Расчётное значение тока короткого замыкания, А
Расчёт по широко известной формуле (1), не учитывающей характеристики заземления оборудования	68494
Расчёт в программе АРМ СРЗА по РД 153-34.0-20.527–98 [12] с учётом характеристик заземления оборудования, вводимых в цепь короткого замыкания последовательно с эквивалентными сопротивлениями фаз	34682
Расчёт по формулам (3)–(5) в соответствии с СТО 56947007-29.130.15.105–2011 [5] и СТО 56947007-29.130.15.114–2012 [4] с учётом сопротивления удалённого потребителя с максимальным рабочим током 3000 А	67846
Расчёт по формулам (3)–(5) в соответствии с СТО 56947007-29.130.15.105–2011 [5] и СТО 56947007-29.130.15.114–2012 [4] с учётом сопротивления удалённого потребителя с максимальным рабочим током 1000 А	68863
Расчёт по формулам (3)–(5) в соответствии с СТО 56947007-29.130.15.105–2011 [5] и СТО 56947007-29.130.15.114–2012 [4] с учётом сопротивления удалённого потребителя с максимальным рабочим током 300 А	69230
Расчёт по формуле (6) в соответствии с СТО 56947007-29.130.15.105–2011 [5] и СТО 56947007-29.130.15.114–2012 [4] без учёта сопротивления удалённого потребителя и с учётом соотношения активного и реактивного сопротивления сети току короткого замыкания	69364
Расчёт по формуле (8) в соответствии с СТО 56947007-29.130.15.105–2011 [5] и СТО 56947007-29.130.15.114–2012 [4] без учёта сопротивления удалённого потребителя и соотношения активного и реактивного сопротивления сети току короткого замыкания	70066

Программа АРМ СРЗА, предназначенная для расчётов токов короткого замыкания для целей выбора и настройки релейных защит по РД 153-34.0-20.527-98 [12], рассчитывает токи короткого замыкания, протекающие по фазным проводам, а не по заземляющим проводникам и заземлителям. Ввод характеристик заземления оборудования (сопротивления заземляющего устройства и сопротивления металlosвязи) в цепь короткого замыкания последовательно с эквивалентными сопротивлениями фаз приводит к значительному занижению расчётного тока двухфазного короткого замыкания на землю. Эта особенность программы АРМ СРЗА не является её недостатком – программа АРМ СРЗА просто не предназначена для выполнения расчётов токов двухфазного короткого замыкания на землю для оценки термической стойкости заземляющих проводников и заземлителей по СТО 56947007-29.130.15.105-2011 [5] и СТО 56947007-29.130.15.114-2012 [4].

Ток двухфазного короткого замыкания на землю, рассчитанный по СТО 56947007-29.130.15.105-2011 [5] и СТО 56947007-29.130.15.114-2012 [4] с учётом характеристик заземления оборудования (сопротивления заземляющего устройства и сопротивления металlosвязи), в типичном случае, рассмотренном на примере Новосибирской ТЭЦ-2, незначительно отличается от расчёта по традиционно используемой формуле (1). Погрешность, вносимая неоднозначностью оценки сезонного изменения сопротивления заземляющего устройства и коррозионного состояния заземляющих проводников и заземлителей, как минимум на порядок больше погрешности, вносимой в расчёт тока двухфазного короткого замыкания на землю без учёта характеристик заземления оборудования.

Из множества удалённых потребителей электрической сети с изолированной нейтралью для расчёта тока двухфазного короткого замыкания на землю

по СТО 56947007-29.130.15.105-2011 [5] и СТО 56947007-29.130.15.114-2012 [4] по формулам (3) – (5) следует выбирать потребителя минимальной мощности (с минимальным током фидера). При этом расчётное значение тока короткого замыкания будет максимальным, что с запасом обеспечит правильный выбор сечения заземляющих проводников и заземлителей.

Результаты расчётов токов двухфазного короткого замыкания по упрощённым формулам (6) и (8), не учитывающим характеристики удалённого потребителя, в типичном случае, рассмотренном на примере Новосибирской ТЭЦ-2, отличаются от расчётов с учётом характеристик удалённого потребителя по формулам (3)–(5) незначительно. При этом расчёты по формулам (6) и (8) значительно проще расчётов по формулам (3)–(5). Соответственно, при обследовании заземляющего устройства в соответствии с СТО 56947007-29.130.15.105-2011 [5] представляется возможным рассчитывать токи двухфазного короткого замыкания для каждого аппарата 6–35 кВ по формуле (6) или (8), с индивидуальным учётом сопротивления металlosвязи аппарата с заземляющим устройством, что повысит достоверность результатов обследования.

Расчёты токов однофазного короткого замыкания в электроустановках с заземлённой нейтралью (110 кВ и выше), выполненные в программе АРМ СРЗА, также не учитывают характеристики заземления оборудования в связи с особенностями моделирования электрической сети в программе АРМ СРЗА в соответствии с РД 153-34.0-20.527-98 [12]. Для учёта характеристик заземления оборудования в таком случае необходимо и достаточным представляется ввод в программу АРМ СРЗА дополнительного сопротивления (суммы сопротивлений заземляющего устройства и металlosвязи оборудования с заземлителем) в точке однофазного короткого замыкания. ■

Литература

1. Почаевец В.С. Электрические подстанции. М. : Желдориздат, 2001. 512 с.
2. Прохорский А.А. Тяговые и трансформаторные подстанции. М. : Транспорт, 1983. 496 с.
3. РД 153-34.0-20.525-00. Методические указания по контролю состояния заземляющих устройств электроустановок. М. : РАО «ЕЭС России», 2000. 35 с.
4. СТО 56947007-29.130.15.114-2012. Руководящие указания по проектированию заземляющих устройств подстанций напряжением 6–750 кВ. М. : ОАО «ФСК ЕЭС», 2012. 63 с.
5. СТО 56947007-29.130.15.105-2011. Методические указания по контролю состояния заземляющих устройств электроустановок. М. : ОАО «ФСК ЕЭС», 2011. 75 с.
6. Правила устройства электроустановок : приказ Министерства энергетики Российской Федерации. URL: http://www.consultant.ru/document/cons_doc_LAW_98464/ (дата обращения 13.01.2018).
7. Косяков А.А. Методика проектирования электромагнитной совместимости на электрических подстанциях // Вестник УрГУПС. 2011. № 1 (9). С. 33–41. ISSN 2079-0392.
8. Косяков А.А., Неугодников И.П. Автоматизация расчёта силовых кабелей 6–500 кВ с изоляцией из сшитого полиэтилена // Инновационный транспорт. 2013. № 4 (10). С. 12–16. ISSN 2311-164X.
9. Косяков А.А., Ершов А.Ю. Обеспечение электромагнитной совместимости микропроцессорных технических средств на тяговых подстанциях переменного тока // Транспорт Урала. 2015. № 2 (45). С. 61–66. ISSN 1815-9400.
10. Kosjakow A. Ocena wpływu uziemienia liniowego na rezystancję uziemienia podstacji // Komputerowe systemy wspomagania nauki, przemysłu i transportu : prace naukowe. – Radom : Politechnika Radomska, 2009. S. 120–125.
11. Программный комплекс для расчётов электрических величин при повреждениях сети и уставок релейной защиты : свидетельство Рос. Федерации о государственной регистрации программы для ЭВМ № 2011618568.
12. РД 153-34.0-20.527-98. Руководящие указания по расчёту токов короткого замыкания и выбору электрооборудования. М. : ЭНАС, 2002. 152 с.
13. ГОСТ Р 52735-2007. Короткие замыкания в электроустановках. Методы расчёта в электроустановках переменного тока напряжением свыше 1 кВ. М. : Филиал ОАО «НТЦ электроэнергетики» – ВНИИЭ, МЭИ (ТУ), 2007. 36 с.
14. Веселовский А.Н., Климов Н.А., Климов С.А. Влияние переходного сопротивления в месте замыкания на аварийные режимы фидера 35 кВ с трёхобмоточным трансформатором // Труды Костромской государственной сельскохозяйственной академии. – Кострома : КГСА, 2015. С. 175–179.
15. Мигунов С.Д. Применение метода симметричных составляющих для выявления аварийных режимов в трёхфазных электроэнергетических системах // Электроэнергетика глазами молодёжи : труды VI Международн. научн.-техн. конф. – Иваново : ИГЭУ им. В.И. Ленина, 2015. С. 125–128.
16. Каневский Я.М. Расчёты токов при двойном замыкании на землю до и после токоограничивающего реактора 6–10 кВ на электростанциях // Электричество. 2005. № 11. С. 34–41. ISSN 0013-5380.
17. Лямец Ю.Я., Нудельман Г.С., Зиновьев Д.В., Кержаев Д.В., Романов Ю.В. Многомерная релейная защита. Эквивалентирование моделей // Электричество. 2010. № 1. С. 9–15. ISSN 0013-5380.
18. Вайнштейн Р.А., Лозинский К.С., Коломиец Н.В. Расчёт несимметричных режимов в электроэнергетической системе на основе сочетания систем координат // Известия Томского политехнического университета. 2010. № 4. С. 146–152. ISSN 1684-8519.

Literature

1. Pochaevets V.S. Electric power substations [Elektricheskiye podstantsii]. M. : Zheldorizdat, 2001. 512 p.
2. Prohorskiy A.A. Traction and transformer substations [Tyagovyje i transformatornije podstantsii]. M. : Transport, 1983. 496 p.
3. RD 153-34.0-20.525-00. Methodical guidelines for condition monitoring of grounding devices of electrical power units [Metodicheskiye ukazaniya po kontrolyu sostoyaniya zazemlyayushchih ustrojstv elektroustanovok]. M. : Russian Joint-Stock Company «Unified Energy System of Russia» RAO «EES Rossii», 2000. 35 p.

4. STO 56947007-29.130.15.114–2012. Recommended guidelines for engineering design of grounding devices of electrical substations with 6–750 kV voltage [Rukovodyashchije ukazaniya po proektirovaniyu zazemlyayushchih ustroystv podstantsij napryazheniem 6–750 kV] : JSC «Federal Grid Company of Unified Energy System», 2012. 63 p.
5. STO 56947007-29.130.15.105–2011. Methodical guidelines for condition monitoring of grounding devices of electrical substations [Metodicheskije ukazaniya po kontrolyu sostoyaniya zazemlyayushchih ustroystv elektroustanovok]. M. : JSC «Federal Grid Company of Unified Energy System», 2011. 75 p.
6. Regulations for organization of electrical power units [Pravila ustrojstva elektroustanovok]: decree of the Ministry of energy of the Russian Federation. URL: http://www.consultant.ru/document/cons_doc_LAW_98464/ (reference date 13.01.2018).
7. Kosyakov A.A. Methods of designing of electromagnetic compatibility at electrical substations [Metodika proektirovaniya elektromagnitnoj sovmestimosti na elektricheskikh podstantsiyah] // Herald (bulletin) of USURT. 2011. № 1 (9). P. 33–41. ISSN 2079-0392.
8. Kosyakov A.A., Neugodnikov I.P. Automation of calculation of power supply cables of 6–5 kV with cross-linked polyethylene insulation [Avtomatizatsiya raschyota silovyh kabelej 6–500 kV s izolyatsiej iz sshitogo polijetilena] // Innovative transport. 2013. № 4 (10). P. 12–16. ISSN 2311-164H.
9. Kosyakov A.A., Ershov A.Yu. Providing electromagnetic compatibility of microprocessor technical facilities at traction electrical substations of alternate current [Obespechenije elektromagnitnoj sovmestimosti mikroprotsessornyh tehicheskikh sredstv na tyagovyh podstantsiyah peremennogo toka] // Transport Urala. 2015. № 2 (45). P. 61–66. ISSN 1815-9400
10. Kosjakow A. Ocena wplywu uziemienia liniowego na rezystancję uziemienia podstacji // Komputerowe systemy wspomagania nauki, przemysłu i transportu : prace naukowe. – Radom : Politechnika Radomska, 2009. S. 120–125.
11. Software complex for calculation of electrical values when electrical power net and relay protection units are damaged [Programmnyj kompleks dlya raschyotov elektricheskikh velichin pri povrezhdeniyah seti i ustanovok relejnoj zashchity]: the Russian Federation's certificate of registration of the software for ECM (electronic computing machine) № 2011618568.
12. RD 153-34.0-20.527–98. Recommended guidelines for short-circuit current calculation and choice of electrical equipment [Rukovodyashchije ukazaniya po raschyotu tokov korotkogo zamykaniya i vyboru elektrooborudovaniya]. M. : ENAS, 2002. 152 p.
13. GOST R 52735–2007. Short circuit in electrical power units. Calculation methods in alternate current electrical power units with voltage of more than 1 kV [Korotkiye zamykaniya v elektroustanovkah. Metody raschyota v elektroustanovkah peremennogo toka napryazheniem svyshe 1 kV.]. M. : Branch of JSC «Research and Development Center of electrical power energy». – National Research University, 2007. 36 p.
14. Veselovskij A.N., Klimov N.A., Klimov S.A. Transient resistance effect in the site of short-circuit at emergency mode of a power lead of 35 kV with three-winding transformer [Vliyanie perehodbmotochnym transformatorom]. Academic works of Kostroma State Academy of Agricultural Sciences – Kostroma : KGSA, 2015. P. 175–179.
15. Migunov S.D. Application of the method of symmetrical constituents for detection of malfunctions in three phase power systems // Electric power industry through the eyes of the youth [Primeneniye metoda simmetrichnyh sostavlyajushchih dlya vyyavleniya avariynyh rezhimov v tryohfaznyh elektroenergeticheskikh sistemah // Elektroenergetika glazami molodyozhi]: materials of the VI international scientific and technical conference. – Ivanovo : IGEU named after V.I. Lenin, 2015. P. 125–128.
16. Kanevsky Ya.M. Current calculation in double ground fault before and after a 6–10 kV current-limiter reactor at electric power stations [Raschyoty tokov pri dvojnomy zamykanii na zemlyu do i posle tokoogranichivajushchego reaktora 6–10 kV na elektrostantsiyah] // Electricity. 2005. № 11. P. 34–41. ISSN 0013-5380.
17. Lyametz Yu.Ya., Nudelman G.S., Zinoviev D.V., Kerzhayev D.V., Romanov Yu.V. Polydimensional relay protection. Equivalencing of models [Mnogomernaya relejnaya zashchita. Ekvivalentirovaniye modelej] // Electricity. 2010. № 1. P. 9–15. ISSN 0013-5380.

18. Veinstein R.A., Lozinsky K.S., Kolomietz N.V. Calculation of asymmetric modes in electric power system on the basis of coordinate frame combination [Расчет несимметричных режимов в электроэнергетической системе на основе сочетания систем координат] // Tomsk Polytechnical University Review. 2010. № 4. P. 146–152. ISSN 1684-8519.

Статья сдана в редакцию 24 января 2018 года

А.В. Паранин, Е.Л. Проскуряков

Модель организации движения поездов при системе электрической тяги постоянного тока повышенного напряжения

A.V. Paranin, E.L. Proskuryakov

Organization model of railway traffic in the system of high voltage direct current traction

Аннотация

В статье рассмотрены вопросы, связанные с ограничением движения поездов повышенной массы устройствами электроснабжения. Представлена модель организации движения поездов при системе электрической тяги постоянного тока повышенного напряжения. Рассмотрен процесс организации движения поездов при системе электрической тяги повышенного напряжения, основанный на взаимодействии поездного диспетчера, энергодиспетчера и локомотивной бригады. Приведены условия, при которых реализация движения поездов при системе электрической тяги постоянного тока повышенного напряжения будет эффективна. Определена оптимальная длина переключаемого участка. Предложена схема питания контактной сети при одном консольном участке питания 6 кВ для пропуска модернизированного ЭПС. Показана временная диаграмма поезда по переключаемому участку. Представлен алгоритм действий локомотивной бригады по сборке схемы электровоза на повышенное напряжение. Рассмотрена реализация графиков движения поездов при системе электрической тяги постоянного тока повышенного напряжения. Показано, что при работе данной системы эффективна организация пропуска движения поездов повышенной массы пакетами. После пропуска такого пакета система электрической тяги переключается на нормальное напряжение и поезда следуют по обычному графику.

Ключевые слова: поезд повышенной массы, система электрической тяги, повышенное напряжение, устройства электроснабжения, уровень напряжения, организация движения поездов, график движения поездов.

DOI: 10.20291/2079-0392-2018-1-33-39

Abstract

The paper considers the issues connected to restriction of the increased weight railway traffic via electric supply devices.

The organization model of railway traffic in the system of high voltage direct current traction is presented. The process of organizing railway traffic in the frames of this system is based on the train dispatcher, power dispatcher and locomotive crew's interaction.

Conditions for effective functioning of railway traffic in the system of high voltage direct current traction are revealed. The optimum length of the switch section is determined. The contact system power supply scheme with one console power section 6 kV is suggested for a modernized electric locomotive train to pass. A time diagram of the train passing a switch section is presented. An algorithm of the locomotive crew's actions on mounting the electric locomotive scheme for high voltage conditions is developed. Implementation of railway traffic schedules in the system of high voltage direct current traction is considered.

The article proves that in the frames of the system in question trains passing in packs is effective. After such a train pack passes the electric traction system switches to the standard voltage and trains operate according to the usual schedule.

Keywords: train of the increased weight, system of electric traction, high voltage, power supply devices, voltage level, organization of railway traffic, train schedule.

DOI: 10.20291/2079-0392-2018-1-33-39

Статья рекомендована к опубликованию И.С. Цихалевским, канд. техн. наук, деканом электромеханического факультета Уральского государственного университета путей сообщения. E-mail: ITsikhalevsky@usurt.ru. The article is recommended for publishing by I.S. Tsikhalevsky, Candidate of Technical Science, Dean, Electromechanical Department Ural State university of Railway Transport. E-mail: ITsikhalevsky@usurt.ru.

Александр Викторович Паранин, канд. техн. наук, доцент; кафедра «Электроснабжение транспорта» Уральского государственного университета путей сообщения, Екатеринбург, Россия. E-mail: AParanin@usurt.ru.

Евгений Леонидович Проскуряков, заместитель начальника дирекции – начальник отдела распределения электрической энергии Свердловской дирекции по энергообеспечению структурного подразделения Трансэнерго – филиала ОАО «РЖД»; Екатеринбург, Россия. E-mail: EProskuryakov@svrw.ru.

Alexander Victorovich Paranin, Candidate of Technical Science, Associate Professor; Chair of Transport Power Supply, Ural State University of Railway Transport, Ekaterinburg, Russia. E-mail: AParanin@usurt.ru.

Evgeny Leonidovich Proskuryakov, Deputy Head of Front Office – Head of Power Distribution Department, Sverdlovsk Front Office for Transenergo structural subdivision power supply – ОАО «РЖД» subsidiary; Ekaterinburg, Russia. E-mail: EProskuryakov@svrw.ru.

Стратегия развития железнодорожного транспорта Российской Федерации до 2030 года рассматривает обеспечение растущей потребности увеличения объемов перевозимых грузов и повышения транспортной подвижности населения как одну из первоочередных задач [1].

Удовлетворение на железнодорожном транспорте растущей потребности объемов перевозимых грузов можно обеспечить двумя основными способами: увеличением скорости доставки грузов (в первую очередь за счет повышения маршрутной скорости); увеличением массы грузовых поездов (за счет увеличения нагрузки на ось и удлинения поезда). В любом случае необходимо совершенствовать организацию перевозочного процесса, развивать транспортную инфраструктуру и подвижной состав. Но к значимым результатам приведет только комплексная реализация всех существующих подходов и способов.

Поставленную задачу можно решить вождением поездов повышенной массы [2, 3]. При организации перевозок поездами повышенной массы сокращаются эксплуатационные расходы, снижается потребность в локомотивах, увеличивается провозная способность, то есть повышается основной показатель эффективности деятельности: производительность труда [4].

Однако организация тяжеловесного движения грузовых поездов на существующих участках, электрифицированных на постоянном токе 3,3 кВ, зачастую ограничивается устройствами электроснабжения. Это обусловлено значительным увеличением тяговых токов, что, в свою очередь, приводит к перегреву проводов контактной сети, вызывающему снижение их механической прочности. К ограничениям необходимо отнести и снижение напряжения на токоприемнике электровагона, а это приводит к потере скорости движения поезда.

Один из способов снятия ограничения пропускной способности по системе

электроснабжения постоянного тока – применение повышенного уровня напряжения постоянного тока (6 или 12 кВ). Сравнительный анализ систем питания контактной сети на переменном токе напряжением 27,5 кВ и на постоянном токе 12 кВ рассматривался в работе [5].

Внедрение системы электрической тяги постоянного тока повышенного напряжения снимет ограничение пропускной способности по системе электроснабжения и решит острые вопросы при организации движения поездов повышенной массы и увеличения объемов перевозок [6, 7].

Движение поездов при системе электрической тяги постоянного тока повышенного напряжения будет эффективным только при соблюдении двух принципиальных моментов: а) время, затрачиваемое на переход от существующей системы электрической тяги 3,3 кВ к системе электроснабжения повышенного напряжения, должно быть минимальным и б) график движения поездов при системе электрической тяги повышенного напряжения должен обеспечивать заданные размеры движения поездов.

Для соблюдения первого условия необходимо, чтобы коммутационные аппараты при сборке схемы электроснабжения требуемого уровня напряжения переключались при помощи существующей системы телемеханического управления.

Для соблюдения второго условия необходимо, чтобы величина межпоездного интервала при организации движения поездов при системе электрической тяги постоянного тока повышенного напряжения была максимально приближена к величине межпоездного интервала при существующем графике движения поездов.

Единственный способ реализации данного условия – уменьшение длины участка контактной сети с повышенным напряжением или, другими словами, уменьшение длины переключаемого участка. Определение оптимальной длины переключаемого участка как

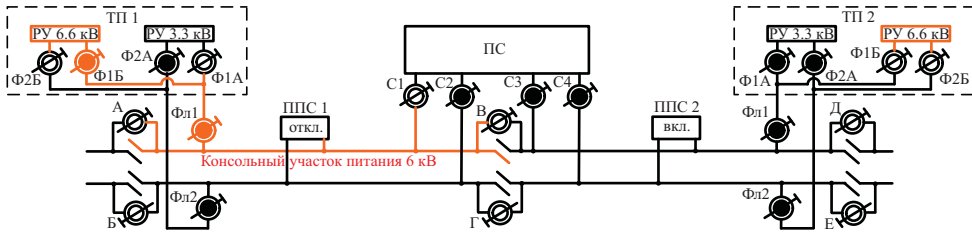


Рис. 1. Схема питания контактной сети при одном консольном участке питания 6 кВ для пропуска модернизированного ЭПС

половины длины межподстанционной зоны по посту секционирования экономит финансовые средства. При такой схеме образуются консольные участки питания контактной сети 6 кВ.

Схема питания контактной сети при различных системах электроснабжения представлена на рис. 1.

Организация движения поездов при системе электрической тяги повышенного напряжения основана на взаимодействии поездного диспетчера, энергодиспетчера и локомотивной бригады. Модель процесса организации движения поездов при системе электрической тяги

постоянного тока повышенного напряжения представлена на рис. 2.

Предложенная модель процесса определяет алгоритм действий всех участников организации поездов при системе электрической тяги постоянного тока повышенного напряжения. Кроме того, здесь предусмотрена организация движения поездов на определенной модернизированной межподстанционной зоне с разделением на два участка переключения.

Начальное состояние модели процесса организации движения поездов – это момент нахождения поезда D1 на



Рис. 2. Модель процесса организации движения поездов при системе электрической тяги постоянного тока повышенного напряжения

межподстанционной зоне перед тяговой подстанцией 1 (ТП1), при движении поезда по направлению от ТП1 к ТП2 или перед ТП2, при движении поезда по направлению от ТП2 к ТП1. Также предполагается, что в графике движения поездов известны все поезда с модернизированными электровозами, и такие поезда имеют пометку на графике.

Поездной диспетчер в начальном состоянии модели процесса по наличию пометки определяет, какие у поезда *D1* электровозы – модернизированные или нет. А так как организована визуализация уровня напряжения, то у поездного диспетчера есть информация об уровне напряжения на модернизированном участке.

Если поезд *D1* с модернизированными электровозами подъезжает к модернизированному участку при схеме электроснабжения 3,3 кВ, то поездной диспетчер убеждается, что на этой межподстанционной зоне отсутствует другой электроподвижной состав. При отсутствии такого состава

он делает заявку энергодиспетчеру на сборку схемы электроснабжения на уровень напряжения 6 кВ. Энергодиспетчер при получении заявки изменяет схему питания секционирования. Учитывая, что все коммутационные аппараты включены в существующую систему телемеханического управления, то время для изменения схемы питания секционирования ориентировочно должен занять не более 5 минут. Временная диаграмма нахождения поезда на переключаемом участке представлена на рис. 3.

После изменения схемы электроснабжения у поездного диспетчера изменяется визуализация уровня напряжения. Поездной диспетчер, убедившись, что уровень напряжения изменился на 6 кВ, доводит до локомотивной бригады поезда *D1* эту информацию и отдает команду произвести сборку схемы электровоза на повышенное напряжение установленным порядком. Алгоритм действий локомотивной бригады по сборке схемы электровоза на повышенное напряжение представлен на рис. 4.

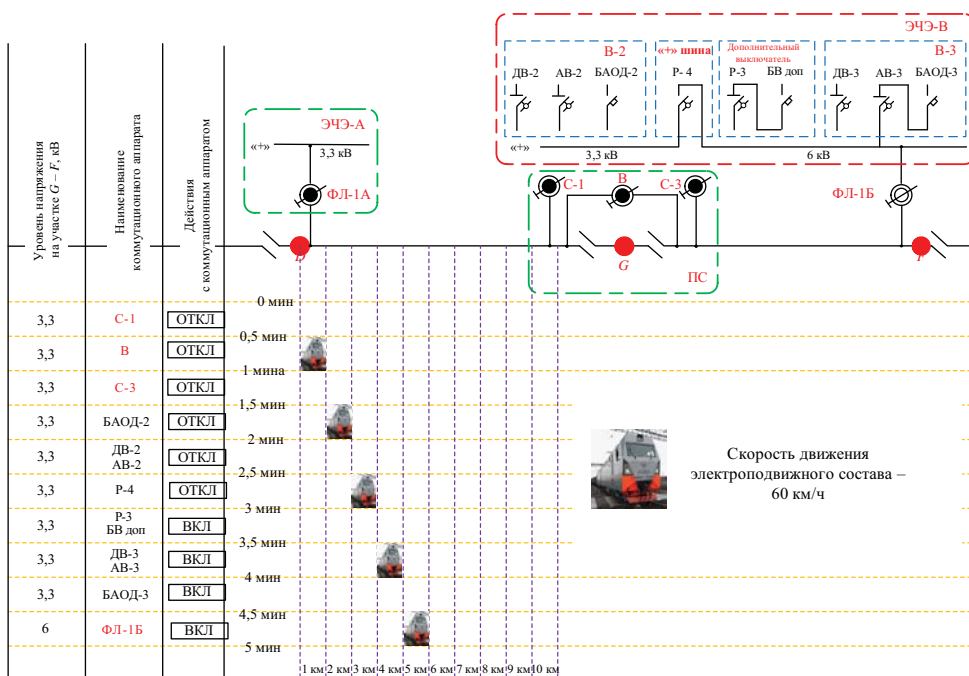


Рис. 3. Временная диаграмма прохождения поезда по переключаемому участку



Рис. 4. Алгоритм действий локомотивной бригады по сборке схемы электровоза на повышенное напряжение

Реализация графиков движения поездов при системе электрической тяги постоянного тока повышенного напряжения

Пропуск грузовых поездов повышенной массы пакетом из нескольких поездов значительно сократит эксплуатационные расходы. Реализация графика движения поездов на участке между станциями А и Д при пакете из четырех грузовых поездов с модернизированными электровозами и всеми модернизированными межподстанционными зонами представлена на рис. 5.

Представленные графики движения поездов и временная диаграмма показывают, что предложенная модель процесса организации движения поездов позволяет обеспечивать заданные размеры движения поездов при минимальном времени, затрачиваемом на

переход от существующей системы электроснабжения 3,3 кВ к системе электрической тяги повышенного напряжения вне зависимости от количества поездов с модернизированными электровозами и количества модернизированных межподстанционных зон.

Разработана модель процесса организации движения поездов при системе электрической тяги постоянного тока повышенного напряжения, которая определяет алгоритм действий всех участников процесса – локомотивной бригады, поездного и энергодиспетчера. Показано, что при работе предлагаемой нами системы максимально эффективна организация пропуска движения поездов повышенной массы пакетами. После пропуска такого пакета система электрической тяги переключается на нормальное напряжение и поезда следуют по обычному графику. ■

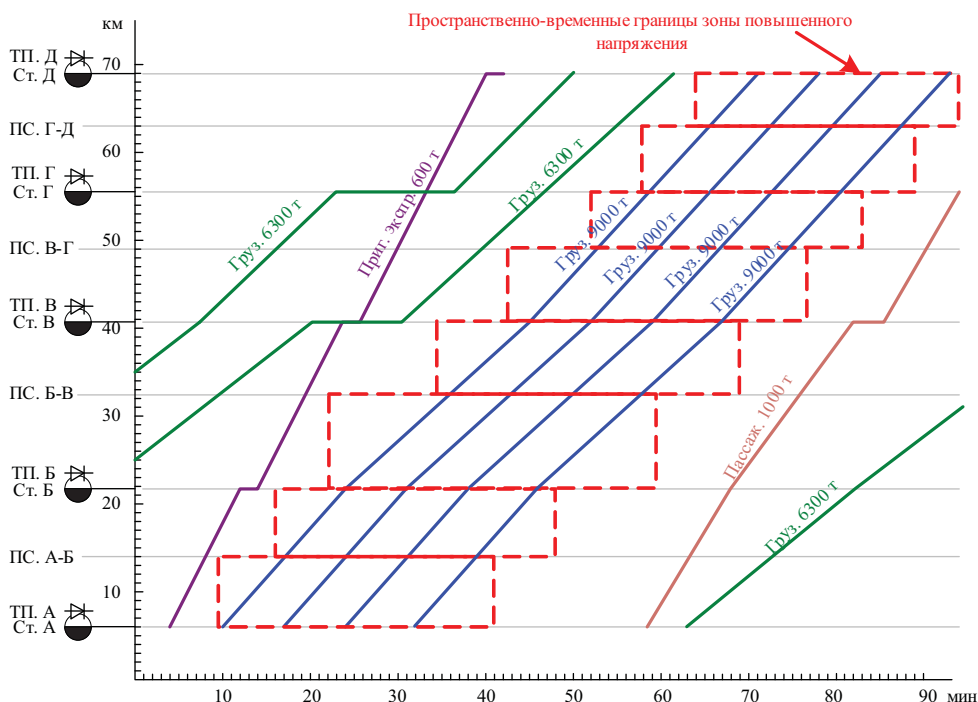


Рис. 5. График движения поездов на участке между станциями А и Д

Литература

1. Стратегия развития железнодорожного транспорта в Российской Федерации до 2030 года : распоряжение правительства РФ. URL: <http://government.ru/gov/results/832/> (дата обращения: 12.01.2018).
2. Захаров С. М. Развитие тяжеловесного движения в мире // Вестник ВНИИЖТ. 2013. № 4. С. 9–17. ISSN 2223-9731.
3. Набойченко И.О. Движение тяжеловесных поездов – на постоянную основу // Железнодорожный транспорт. 2012. № 7. С. 36–37. ISSN 0044-4448.
4. Ушенин Е. «Граниту» горы нипочем // РЖД-Партнер. 2011. № 16. Р. 76–77. ISSN 1607-3290.
5. Бурков А.Т. Уровень напряжения электротяговых сетей как фактор повышения производительности и конкурентоспособности железнодорожного транспорта // Eltrans'2005 : м-лы 3-го Международн. симпозиума. – СПб : Изд-во ПГУПС, 2005. Т. 1. С. 137–140.
6. Проскуряков Е.Л. Модернизация элементов контактной сети постоянного тока при поэтапном внедрении системы повышенного напряжения // Инновационный транспорт. 2014. № 4 (14). Р. 60–64. ISSN 2311-164X.
7. Паранин А.В., Проскуряков Е.Л. Последовательность модернизации системы электропитания постоянного тока повышенного уровня напряжения в контактной сети // Вестник УрГУПС. 2016. № 2 (30). С. 67–72. ISSN 2079-0392.
8. Проскуряков Е. Л. Модернизация элементов контактной сети постоянного тока при поэтапном внедрении системы повышенного напряжения // Инновационный транспорт. 2014. № 4 (14). С. 60–64. ISSN 2311-164X.

Literature

1. Strategy of railway transport development in the Russian Federation through to 2030 [razvitiya zheleznodorozhnogo transporta v Rossijskoj Federatsii do 2030 goda]: RF governmental order. URL: <http://government.ru/gov/results/832/> (reference date: 12.01.2018).

2. Zakharov S.M. Development of heavy vehicles worldwide [Razvitije tyazhelovesnogo dvizheniya v mire]// VNIIZT Herald. 2013. № 4. P. 9–17. ISSN 2223-9731.
3. Naboychenko I.O. Heavy train traffic – onto a regular basis [Dvizhenije tyazhelovesnyh poezdov – na postoyannuyu osnovu] // Railway Transport. 2012. № 7. P. 36–37. ISSN 0044-4448.
4. Ushenin E. «A piece of cake for «Granite» [«Granitu» gory nipochem] // RZD-Partner. 2011. № 16. P. 76–77. ISSN 1607-3290.
5. Burkov A.T. Voltage level of electric traction grid as a factor of increase of railway transport efficiency and competitiveness [Uroven napryazheniya elektrotyagovyh setej kak faktor povysheniya proizvoditelnosti i konkurentosposobnosti zheleznodorozhnogo transporta] // Eltrans'2005: materials of 3rd International Symposium. – SPb: PGUPS, 2005. V. 1. P. 137–140.
6. Proskurykov E.L. Modernization of direct current catenary elements under step-by-step introduction of increased voltage system [Modernizaciya elementov kontaktnoj seti postoyannogo toka pri poetapnom vnedrenii sistemy povyshennogo napryazheniya] // Innovational Transport. 2014. № 4 (14). P. 60–64. ISSN 2311-164X.
7. Paragin A.V., Proskuryakov E.L. Consistency of modernization of increased voltage direct current supply in a catenary [Posledovatelnost modernizatsii sistemy elektrosnabzheniya postoyannogo toka povyshennogo urovnya napryazheniya v kontaktnoj seti] // Herald of USURT. 2016. № 2 (30). P. 67–72. ISSN 2079-0392.
8. Proskurykov E.L. Modernization of direct current catenary elements under step-by-step introduction of increased voltage system [Modernizatsiya elementov kontaktnoj seti postoyannogo toka pri poetapnom vnedrenii sistemy povyshennogo napryazheniya] // Innovational Transport. 2014. № 4 (14). P. 60–64. ISSN 2311-164X.

Статья сдана в редакцию 22 февраля 2018 года

Механика машин и роботов

УДК 629.463.63

А.В. Додонов, А.Е. Афанасьев, В.А. Башмаков

Разработка методики испытаний фитинговых упоров для вагонов-платформ

UDC 629.463.63

A.V. Dodonov, A.E. Afans'ev, V.A. Bashmakov

Developing a technique of testing for flatcars fitting stops

Аннотация

В работе рассмотрены актуальные вопросы, связанные с увеличением массы брутто контейнеров, перевозимых железнодорожным транспортом. Выполнена оценка показателей вагонов-платформ, на которые влияет увеличение массы перевозимых контейнеров. Перевозка контейнеров массой брутто более 30,48 т на вагонах-платформах подтверждается ресурсом фитинговых упоров. В статье приводится типовая методика, позволяющая оценить ресурс фитинговых упоров при перевозке контейнеров массой брутто более 30,48 т. Предложены режимы нагружения,

необходимые образцы для испытания и их количество, критерии оценки ресурса фитинговых упоров. Имитация нагрузок на испытательном оборудовании повторяет реальное эксплуатационное воздействие контейнеров на фитинговые упоры. Рассмотрены варианты расчетных нагрузок, регламентированных нормативными документами, по результатам которых определена наибольшая. Приведено описание испытательного оборудования, которое может быть использовано для выполнения ресурсных испытаний фитинговых упоров. Преимущества и недостатки рассмотренного испытательного оборудования

отражены на полученных осциллограммах напряжений. Критериями оценки ресурса фитинговых упоров является накопленное усталостное повреждение, которое сравнивается с нормативным. Приведены результаты ресурсных испытаний, подтверждающих апробацию типовой методики. Установлено, что существующие конструкции фитинговых упоров, применяемые в вагонах-платформах различных производителей, позволяют перевозить контейнеры массой брутто до 36 т. Конструкции фитинговых упоров обеспечивают ресурс не менее чем до первого планового вида ремонта, а отдельные

Статья рекомендована к опубликованию В. Ф. Лапшиным, д-ром техн. наук, профессором кафедры «Вагоны» Уральского государственного университета путей сообщения. E-mail: VLapshin@usurt.ru.

The article is recommended for publishing by V.F. Lapshin, Doctor of Technical Science, Professor, Railway Cars Chair Ural State university of Railway Transport. E-mail: VLapshin@usurt.ru.

Александр Владимирович Додонов, канд. техн. наук, заместитель директора; ООО «Инженерный центр подвижного состава»; Санкт-Петербург, Россия. E-mail: a.dodonov@engcenter.ru.

Александр Евгеньевич Афанасьев, канд. техн. наук, заместитель руководителя отдела; ООО «Инженерный центр подвижного состава»; Санкт-Петербург, Россия. E-mail: aae@engcenter.ru.

Василий Андреевич Башмаков, инженер; ООО «Инженерный центр подвижного состава»; Санкт-Петербург, Россия. E-mail: bva@engcenter.ru.

Alexander Vladimirovich Dodonov, Candidate of Technical Science, Deputy Director, ООО «Rolling Stock Engineering Centre»; St Petersburg, Russia. E-mail: a.dodonov@engcenter.ru

Alexander Evgenyevich Afanasyev, Candidate of Technical Science, Department Deputy Head; ООО «Rolling Stock Engineering Centre»; St Petersburg, Russia. E-mail: aae@engcenter.ru.

Vasily Andreyevich Bashmakov, Engineer; ООО «Rolling Stock Engineering Centre»; St Petersburg, Russia. E-mail: bva@engcenter.ru.

конструкции – на весь срок службы.

Ключевые слова: вагон-платформа, методика, ресурс, испытания, фитинговый упор, контейнер, расчет.

DOI: 10.20291/2079-0392-2018-1-40-51

Abstract

The paper tackles the topical issues connected to increase of the gross mass of containers carried by railway transport. The flatcars indexes influenced by the mass increase of containers carried were estimated. Transportation of containers with a gross mass of more than 30,48 t. on flatcars is confirmed by the fitting stops resource.

The paper suggests a standard technique allowing

to estimate the fitting stops resource when carrying containers with a gross mass of more than 30,48 t. The loading modes, necessary testing samples and their quantity and criteria for estimation of the fitting stops resource are offered. The loadings imitated on the test equipment exactly repeat the real operational impact of containers on fitting stops. The design loadings regulated by normative documents were regarded and the greatest one was defined. A description of the equipment potentially applied to the resource test of fitting stops is provided.

Advantages and disadvantages of the test equipment in question are presented in the obtained oscillograms of

strain. The criteria for fitting stops resource estimation is the fatigue damage comparable to the normative one.

Results of the resource tests confirming approbation of the standard technique are provided. It was determined that the existing fitting stops constructions applied in flatcars of various producers allow to carry containers with the gross mass up to 36 t. The fitting stops constructions provide the resource till the first routine maintenance and some particular ones – during the whole service life.

Keywords: flatcar, technique, resource, tests, fitting stop, container, calculation.

DOI: 10.20291/2079-0392-2018-1-40-51

Перевозка грузов в контейнерах – наиболее быстрый и выгодный способ доставки грузов с современных условиях [1, 2]. Более 90 % грузов в мире перевозят в контейнерах, и доля таких перевозок постоянно увеличивается. Особенно стремительно расширяется мировой парк 20-футовых контейнеров-цистерн (танк-контейнеров; максимальная масса брутто – 36 т).

Танк-контейнер при перевозке различными видами транспорта или при смене железнодорожной колеи (например, экспорт/импорт грузов в страны Европы) не нужно перегружать, и в этом, в частности, заключается его преимущество перед вагонами-цистернами.

Максимальная масса брутто крупнотоннажных контейнеров – не более 30,48 т [3–8]. Но с 2014 г. на отечественных магистральных встречаются контейнеры повышенной грузоподъемности – 36 т, а в некоторых случаях 42 т. Проекты же вагон-платформ предусматривали контейнеры с максимальной массой брутто 30,48 т.

Увеличение массы перевозимых контейнеров (даже если грузоподъемность вагона-платформы останется прежней)

влияет на безопасную эксплуатацию подвижного состава. А это значит, что необходимо подтвердить возможность безопасной перевозки контейнеров повышенной грузоподъемности на существующих вагонах-платформах.

Специалисты, учитывая широкий опыт ООО ИЦПС в разработке методик ресурсных испытаний [9–11], разработали типовую методику испытаний, обеспечивающую единый подход к оценке соответствия вагонов-платформ для перевозки крупнотоннажных контейнеров массой брутто свыше 30,48 т.

На первом этапе разработки типовой методики проведения испытаний вагонов-платформ для перевозки крупнотоннажных контейнеров массой брутто свыше 30,48 т проанализировано влияние увеличения массы брутто перевозимых контейнеров на нормируемые показатели вагонов платформ, оцениваемых при постановке их на производство и сертификации.

Изменение массы брутто перевозимых контейнеров влияет на следующие нормируемые показатели вагонов-платформ: напряжение в элементах конструкции вагона платформы

при действии статической нагрузки от веса груза, при действии ударных и ремонтных нагрузок (в груженом режиме), параметры усталостной прочности элементов конструкции вагона платформы и элементов крепления контейнеров, показатели ходовых качеств вагонов платформ в груженом режиме (в случае изменения высоты центра тяжести груженого вагона).

Чтобы подтвердить соответствие этих параметров, в объём экспериментальных проверок по типовой методике включены следующие виды испытаний на прочность: при действии вертикальных статических нагрузок от веса брутто контейнеров, действии ремонтных нагрузок в груженом режиме, соударении, а также ходовые динамические и ходовые прочностные, расчётно-экспериментальная оценка сопротивления усталости несущей конструкции рамы и крепления фитингового упора к раме по результатам ходовых прочностных проверок и проверок на прочность при соударении, на сопротивление усталости на резонансном стенде (для длиннобазных вагонов-платформ), оценка сопротивления усталости (ресурса) фитинговых упоров.

Ранее оценка ресурса фитингового упора не входила в обязательные экспериментальные проверки при производстве вагонов-платформ, предназначенных для перевозки крупнотоннажных контейнеров. Поэтому единой методики оценки этого показателя не было. В дальнейшем не рассматриваются обязательные этапы экспериментальных проверок, но подробно описаны исследования ресурса фитинговых упоров.

Ресурс фитингового упора – важный критерий, подтверждающий возможность безопасной перевозки крупнотоннажных контейнеров повышенной массы.

Под фитинговым упором понимается устройство, предназначенное для удержания контейнера на раме вагона-платформы, в котором штатные фитинги контейнера заходят в зацепление

с фитинговыми упорами вагона. Это удерживает контейнер на раме вагона-платформы в продольном и поперечном направлениях от действия инерционных сил, возникающих при движении вагона по путям и при маневровых работах.

Для безопасной перевозки крупнотоннажных контейнеров, в том числе контейнеров-цистерн повышенной грузоподъёмности, на существующих, модернизируемых или новых вагонах-платформах требуется оценить прочность и ресурс фитинговых упоров.

Методика проведения испытаний фитинговых упоров

1. Определение геометрии натуральных образцов фитинговых упоров для надежного и корректного закрепления при проведении стендовых испытаний.

2. Оценка количества образцов необходимого для проведения испытаний.

3. Выбор величин испытательных нагрузок, схем их приложения и закреплений образцов.

4. Определение суммарного повреждающего воздействия, необходимого для подтверждения соответствия фитингового упора.

5. Оценка результатов испытаний.

Натурные образцы фитинговых упоров по конструкции, материалам и способу крепления упора к плите должны быть идентичны упорам, применяемым на вагоне-платформе конкретной модели. Конструкция образца фитингового упора должна предусматривать его надежное крепление в испытательном стенде. Закрепление образца должно обеспечивать силовое воздействие на упор, аналогичное воздействию, возникающему при эксплуатации вагонов-платформ.

Количество образцов для проведения испытаний – 10 (это количество образцов обеспечивает получение статистических данных, необходимых для достоверной оценки ресурса фитинговых упоров).

Режим нагружения фитингового упора аналогичен нагружению при реальной эксплуатации вагонов-платформ, время на ресурсные испытания минимизировано. При эксперименте к образцу фитингового упора через элемент, имитирующий фитинг, прикладываются ударные усилия. Максимальная величина данного усилия не превышала величины максимальной продольной силы, действующей на упор при соударении вагонов-платформ.

Продольная сила, на которую рассчитываются фитинговые упоры, разная, в соответствии с рекомендациями по расчетам, конструкции и испытаниям вагонов-платформ для перевозки крупнотоннажных контейнеров с массой брутто до 36 т и с нормативными документами [12, 13]. Чтобы прочность не противоречила нормативам, по каждому из них определены силы, из которых затем выбрана наибольшая. Полученное наибольшее значение продольной силы использовано при оценке прочности фитингового упора. При установке на вагон поглощающих аппаратов класса Т2 или Т3 сила, действующая на фитинговый упор, может быть уменьшена пропорционально силе, приложенной к автосцепному устройству.

В соответствии с п. 2.11.1 (таблица 2.7) [13], фитинговые упоры должны быть рассчитаны на нагрузку 300 кН (независимо от массы контейнера).

В соответствии с п. 1.3 рекомендаций по расчетам, конструкции и испытаниям вагонов-платформ для перевозки крупнотоннажных контейнеров с массой брутто до 36 т (письмо ВНИИЖТ № 071-07/669 от 22.12.2015), продольная сила для проверки прочности фитингового упора рассчитывается по формуле

$$P_x = Rg, \quad (1)$$

где R – максимальная масса брутто контейнера; g – ускорение свободного падения.

В соответствии с п. 4.3.20 [12], сила инерции контейнера при его мак-

симальной массе определяется по формуле

$$N_H = N_y * m / m_{\text{ваг}}, \quad (2)$$

где N_y – максимальная продольная сила, приложенная к вагону, принимается в соответствии с [12]; m – масса контейнера; $m_{\text{ваг}}$ – масса вагона брутто.

Учитывая, что в конструкции контейнера предусмотрено опирание на четыре фитинга, то сила, действующая на один фитинговый упор, будет в четыре раза меньше:

$$P_x = N_H / 4. \quad (3)$$

По результатам расчета по формулам (1)–(3) для контейнеров массой брутто более 36 т максимальная продольная сила получена при расчете по формуле (2).

Необходимое для подтверждения соответствия фитингового упора накопленное при испытаниях суммарное повреждающее воздействие определялось из условия выполнения неравенства (4)

$$D_{\text{исп}} \geq D_{\text{эскпл}}, \quad (4)$$

где $D_{\text{исп}}$ – усталостное повреждение, накопленное в процессе испытаний; $D_{\text{эскпл}}$ – накопленное усталостное повреждение в эксплуатации.

До выполнения неравенства (4) фитинговый упор при проведении испытаний не должен получить повреждений, нарушающих его функциональную работоспособность или препятствующих дальнейшим испытаниям.

Накопленное при испытаниях усталостное повреждение определяют по формуле

$$D_{\text{исп}} = \sum F_{\text{исп}i}^m, \quad (5)$$

где $F_{\text{исп}i}^m$ – величины динамических продольных сил, замеренных в процессе испытаний; m – показатель степени в уравнении кривой усталости, $m = 4$ [13].

Накопленное суммарное усталостное повреждение в эксплуатации определяют по формуле

$$D_{\text{эспл}} = N_{\text{общ}}^{\text{расч}} \sum F_i^m \cdot P_i, \quad (6)$$

где $N_{\text{общ}}^{\text{расч}}$ – количество нагружений в эксплуатации за заданный срок службы; F_i^m – величины ударных сил (средние интервальные значения); P_i – частоты появления усилий с уровнем F_i .

Обобщенные распределения ударных продольных сил для проверки циклической долговечности фитинговых упоров приняты пропорционально распределению согласно [14] (таблица 1).

Количество нагружений в эксплуатации за заданный срок службы определяют следующим образом:

$$N_{\text{общ}}^{\text{расч}} = N_{\text{общ}}^{\text{уд}} \cdot T_{\text{расч}} \cdot K_{\text{реж}} \cdot K_{\text{уд}}, \quad (7)$$

где $N_{\text{общ}}^{\text{уд}}$ – среднее количество циклов действия продольных сил за 1 год эксплуатации; $T_{\text{расч}}$ – расчетный срок службы фитингового упора, лет; $K_{\text{реж}}$ – коэффициент, учитывающий влияние порожнего пробега вагона; $K_{\text{уд}}$ – коэффициент, учитывающий несимметричность нагружения по длине вагона.

Фитинговые упоры меняют при дефовском ремонте вагонов-платформ, поэтому минимальный расчетный срок их службы должен быть не менее срока от постройки вагона до первого планового ремонта.

Результаты ресурсных стендовых испытаний считались положительными, если при выполнении неравенства (4) элементы конструкции фитингового упора не повреждались. Это значит, что при соблюдении условий эксплуатации фактический ресурс фитингового упора больше, чем срок службы вагона до первого планового ремонта. После выполнения неравенства (4) испытания упора можно продолжить для определения его фактического ресурса (в годах):

$$T_K = T_{\text{расч}} \cdot D_{\text{исп}} / D_{\text{эспл}}. \quad (8)$$

Для проверки разработанной методики проведены испытания различных конструкций фитинговых упоров (плита с четырьмя отверстиями, предназначенными для закрепления образца в оснастке испытательного стенда, и упора, приваренного к плите в соответствии с чертежами завода-изготовителя) (рис. 1).

Таблица 1

Вероятностное распределение ударных сил

Частость, P_i	Средние значения сил для испытаний фитингового упора при установке на вагон поглощающего аппарата класса МН	
	T1	не ниже T2
0,1258	$P_{xi}^{3,5} = \frac{N_{yi}}{3,5} \cdot R \cdot g,$ <p>где N_{yi} – сила удара в i-м диапазоне, МН; R – максимальная масса брутто контейнера по техническому заданию, кг; g – ускорение свободного падения, м/с^2</p>	$P_{xi}^{3,0} = \frac{3,0}{3,5} \cdot P_{xi}^{3,5}$
0,2852		
0,2802		
0,1832		
0,0772		
0,0359		
0,0208		
0,0023		
0,0003		
0,0001		

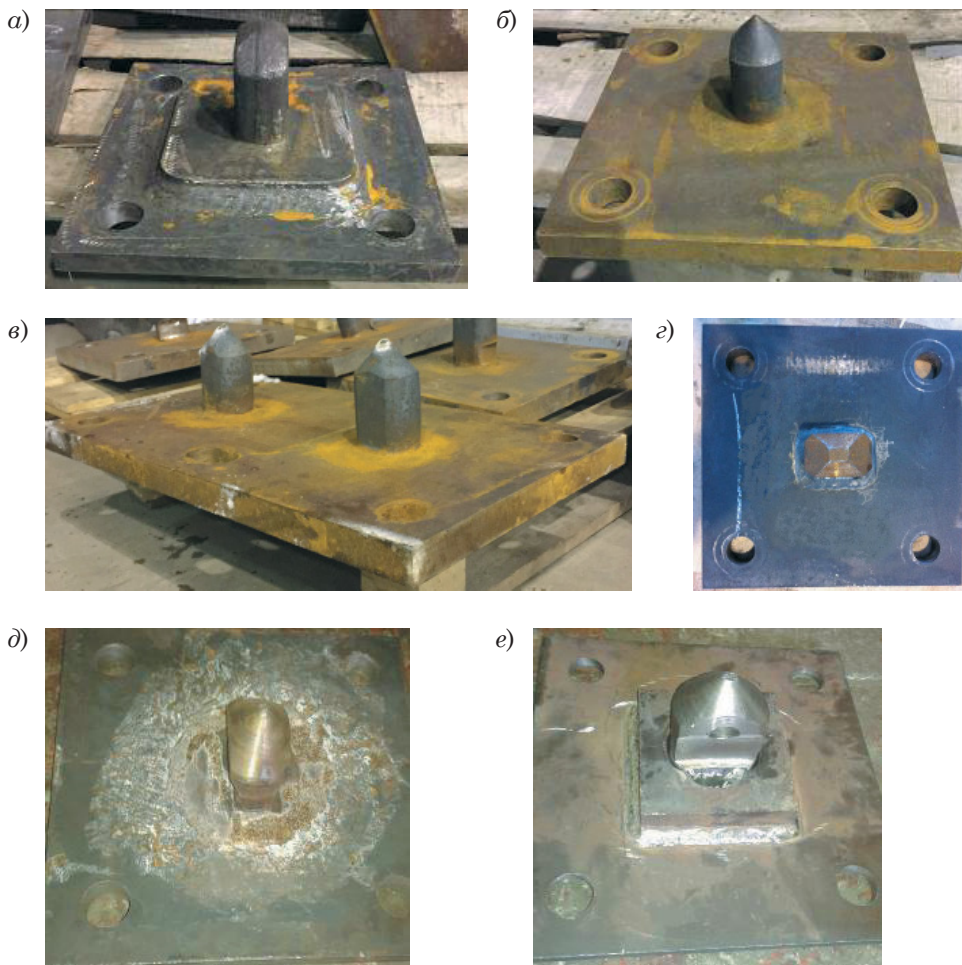


Рис. 1. Фитинговые упоры вагонов-платформ, подвергавшиеся испытаниям
 а – стационарный (пр-ва ОАО «Трансмаш»); б – откидной (ОАО «Трансмаш»);
 в – сдвоенный откидной (ОАО «Трансмаш»); г – стационарный (ОАО ЗМК);
 д – стационарный (АО «Рузхиммаш»); е – выдвижной (АО «Рузхиммаш»)

Испытания проводились на двух типах стендов; первый – это маятниковый копер (рис. 2, а) с двумя маятниками, к каждому из них при помощи болтового соединения прикреплены испытываемые образцы. На каждый фитинговый упор устанавливался боек (рис. 2, б), имитирующий фитинг контейнера и свободно перемещающийся вдоль оси стенда. От вертикальных перемещений боек закреплен фиксатором. Оба маятника стенда при помощи пневмоцилиндров выводятся из положения равновесия, после чего движутся по направлению

друг к другу и сталкиваются бойками с распоркой, оборудованной устройством для определения силы соударения. Бойки передают ударную нагрузку на фитинговые упоры.

Недостатки конструкции стенда: большой разброс сил соударений и невозможность точного задания необходимого усилия (рис. 3), низкая скорость проведения испытаний. Преимущества: возможность одновременного испытания пары упоров, низкое энергопотребление стенда при испытаниях, режим нагружения фитингового упора

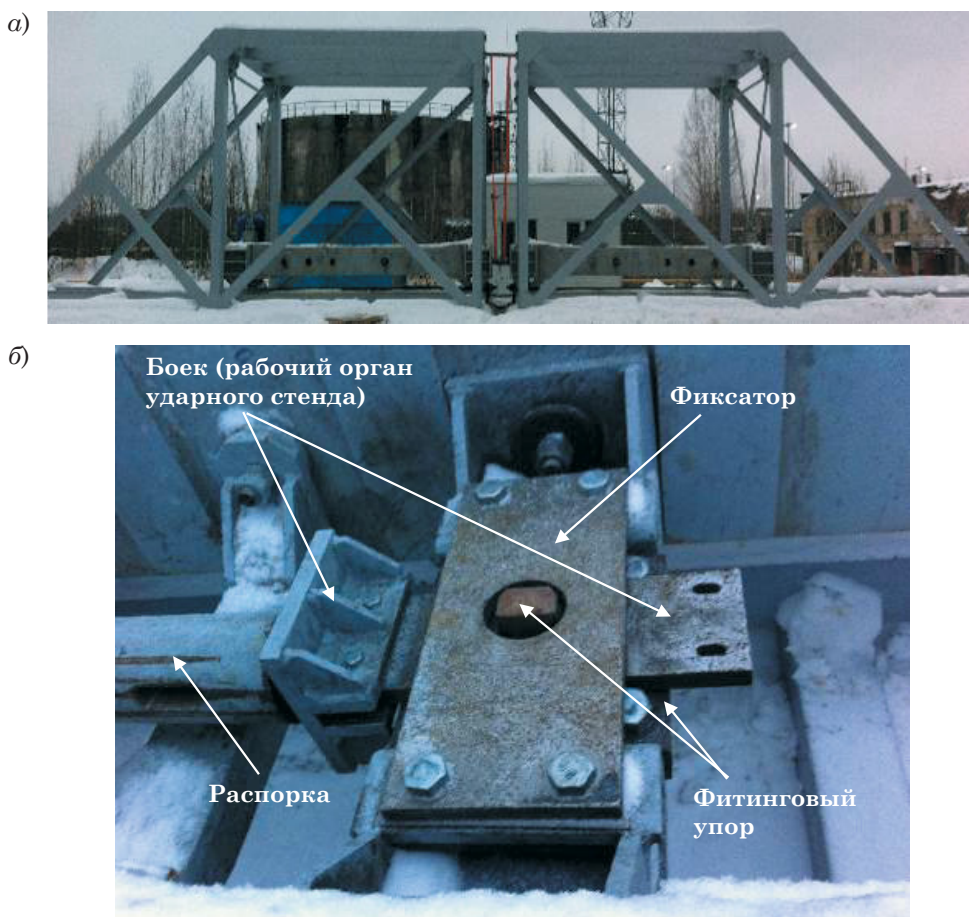


Рис. 2. Маятниковый ударный стенд
а – специализированный стенд; б – установка фитингового упора в стенд

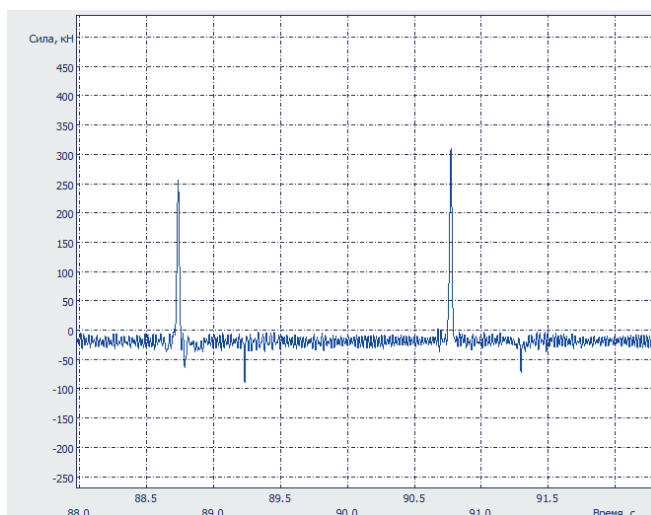


Рис. 3. Осциллограмма соударений при испытании на маятниковом копре

близок к реальному, простота конструкции стенда.

Второй стенд для проверки методики проведения испытаний ресурса фитинговых упоров представляет собой гидропульсаторную машину (рис. 4).

Фитинговый упор устанавливался на стенд вертикально и при помощи болтовых соединений закреплялся в стенде.

Ударные усилия от гидропульсаторной машины передаются на боек, имитирующий фитинг контейнера.

Преимущества гидропульсаторной машины по сравнению с маятниковым стендом: высокая скорость проведения испытаний (частота нагружения около 2,5 Гц), возможность точного задания силового воздействия (рис. 5).

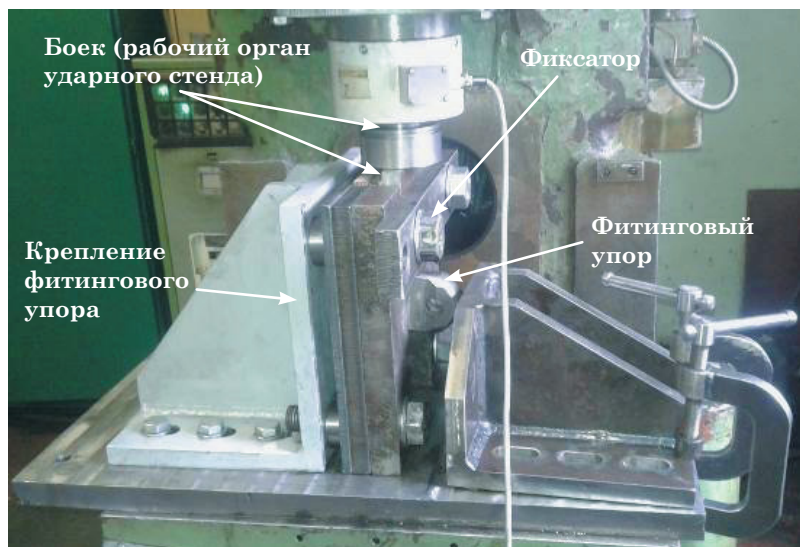


Рис. 4. Гидропульсаторная машина с образцом фитингового упора

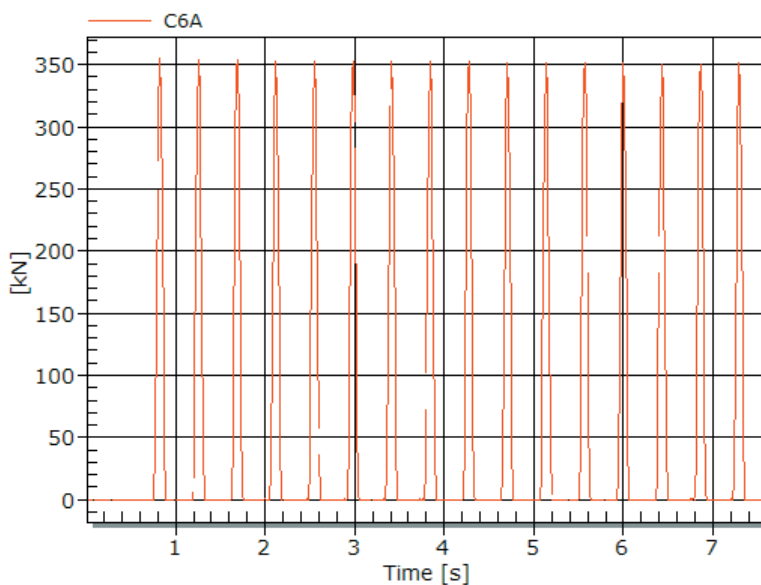


Рис. 5. Осциллограмма соударений при испытаниях на гидропульсаторном стенде

Таблица 2

Результаты ресурсных испытаний фитинговых упоров

Номер фитингового упора	Удары, кол-во	Расчетное повреждающее воздействие до первого планового ремонта, МН ⁴	Фактическое повреждающее воздействие, полученное при проведении испытаний, МН ⁴	Подтвержденный срок службы, лет
Стационарный (ОАО ЗМК)				
1; 2	1163	Не менее 14,066	28,3	6,0
3; 4	2842		30,6	6,5
5; 6	5958		152,2	32,5
7; 8	3030		28,5	6,1
9; 10	1277		30,9	6,7
Стационарный (ОАО «Трансмаш»)				
1; 2	1651	Не менее 14,066	14,5	3,1
3; 4	1022		15,6	3,3
5; 6	3300		15,0	3,2
7; 8	2932		18,0	3,8
9; 10	1670		14,3	3,0
Откидной (ОАО «Трансмаш»)				
1; 2	2195	Не менее 14,066	14,5	3,1
3; 4	2414		14,4	3,1
5; 6	1503		20,5	4,4
7; 8	2159		24,5	5,2
9; 10	1780		18,4	3,9
Сдвоенный откидной (ОАО «Трансмаш»)				
1; 2	1804	Не менее 14,066	31,1	6,6
3; 4	3040		14,6	3,1
5; 6	971		29,7	6,3
7; 8	1022		20,1	4,3
9; 10	828		16,6	3,5
Стационарный (АО «Рузхиммаш»)				
1	940	Не менее 14,066	14,11	3,0
2	939		14,09	3,0
3	939		14,09	3,0
4	939		14,09	3,0
5	939		14,09	3,0
6	938		14,08	3,0
7	939		14,09	3,0
8	941		14,12	3,0
9	940		14,11	3,0
10	939		14,09	3,0
Выдвижной (АО «Рузхиммаш»)				
1	939	Не менее 14,066	14,09	3,0
2	941		14,12	3,0
3	940		14,11	3,0
4	939		14,09	3,0
5	939		14,09	3,0
6	939		14,09	3,0
7	940		14,11	3,0
8	939		14,09	3,0
9	941		14,12	3,0
10	940		14,11	3,0

Недостатки: высокое энергопотребление, сложность конструкции.

На основе полученных данных по количеству и силам соударений определено фактическое повреждающее воздействие и подтвержден срок службы фитинговых упоров (таблица 2).

Из таблицы 2 следует, что для всех испытанных фитинговых упоров минимальное повреждающее воздействие, полученное при испытаниях, больше расчетного значения для назначенного срока службы – 3 года (для упоров производства ОАО «ЗМК» – 6 лет).

Упоры производства ОАО ЗМК и ОАО «Трансмаш» испытаны на маятниковом стенде, а АО «Рузхиммаш» – на гидропульсаторной машине. Маятниковый стенд, на котором проводились испытания, не позволяет точно задать усилие соударения. Этим объясняется некоторый разброс в фактическом повреждающем воздействии при проведении испытаний.

Испытания не выявили повреждений, препятствующих безопасной эксплуатации или безопасному про-

должению экспериментов. Все испытанные фитинговые упоры обеспечивают назначенный срок службы – до первого планового вида ремонта вагона-платформы.

Для образцов 5 и 6 упоров производства ОАО ЗМК после подтверждения ресурса фитинговых упоров до первого планового ремонта испытания были продолжены, чтобы подтвердить ресурс устройства на весь срок службы вагона-платформы. Общий вид упора после проведения испытаний приведен на рис. 5. Максимальное повреждающее воздействие для пары фитинговых упоров составило $152,2 \text{ МН}^4$, что соответствует 32,5 годам эксплуатации.

Итак, разработана и проверена типовая методика испытаний, позволяющая оценить ресурс фитинговых упоров вагонов-платформ, перевозящих крупнотоннажные контейнеры увеличенной массы брутто. Подтверждена возможность перевозки на вагонах-платформах крупнотоннажных контейнеров (свыше 30,48 т). ■



Рис. 5. Общий вид упора после подтверждения ресурса 32,5 лет

Литература

1. Ермоленко М. Объемы перевозок в танк-контейнерах по сети РЖД продолжают расти. URL: http://www.rzd-partner.ru/zhd-transport/news/obemy-perevozok-v-tank-konteinerakh-po-seti-rzhd-prodolzhaiut-rasti-412511/?sphrase_id=27210 (дата обращения: 01.04.2017).
2. Симонова Т. Обзор рынка контейнерных железнодорожных перевозок. URL: http://www.rzd-partner.ru/wate-transport/news/obzor-rynka-konteynerykh-zheleznodorozhnykh-perevozok-avgust-2015-g/?sphrase_id=27214 (дата обращения: 14.04.2017).
3. ГОСТ 31314.3–2006. Контейнеры грузовые серии 1. Технические требования и методы испытаний. Ч. 3. Контейнеры-цистерны для жидкостей, газов и сыпучих грузов под давлением. – М. : Стандартинформ, 2007. 27
4. ГОСТ Р 50697–94. Контейнеры грузовые серии 1. Технические требования и методы испытаний. Ч. 2. Контейнеры изотермические. – М. : Госстандарт России, 1994. 76 с.
5. ГОСТ Р 51876–2008. Контейнеры грузовые серии 1. Технические требования и методы испытаний. Ч. 1. Контейнеры общего назначения. – М. : Стандартинформ, 2008. 42 с.
6. ГОСТ Р 51891–2008. Контейнеры грузовые серии 1. Фитинги. Технические условия. – М. : Стандартинформ, 2008. 31 с.
7. ГОСТ Р 52202–2004. Контейнеры грузовые. Термины и определения. – М. : Госстандарт России, 2004. 23 с.
8. ГОСТ Р 53350–2009. Контейнеры грузовые серии 1. Классификация, размеры и масса. – М. : Стандартинформ, 2009. 20 с.
9. Битюцкий А.А., Афанасьев А.Е. Исследование усталостной прочности заделок стоек боковой стены новой конструкции кузова полувагона // Исследование усталостной прочности узлов и выбор параметров новых грузовых вагонов : сб. науч. тр. ; Вып. № 7 / под ред. А.А. Битюцкого. – СПб : Изд-во «ОМ-Пресс», 2009. С. 62–72.
10. Афанасьев А.Е. Совершенствование конструкции шкворневого узла универсального полувагона // Совершенствование методик исследования грузовых вагонов : сб. науч. тр. ; Вып. № 9 / под ред. А.А. Битюцкого. – СПб : Изд-во «ОМ-Пресс», 2011. С. 101–110.
11. Додонов А.В., Афанасьев А.Е. Совершенствование методик проведения испытаний вагонов с составным кузовом // Совершенствование методик исследования грузовых вагонов : сб. науч. тр. ; Вып. № 9 / под ред. А.А. Битюцкого. – СПб : Изд-во «ОМ-Пресс», 2011. С. 47–59.
12. ГОСТ 33211–2014. Вагоны грузовые. Требования к прочности и динамическим качествам. – М. : Стандартинформ, 2016. 57 с.
13. Нормы для расчета и проектирования вагонов железных дорог МПС колеи 1520 мм (несамоходных). – М. : ГосНИИВ-ВНИИЖТ, 1996. 317 с.
14. РД 24.050.37.95: Вагоны грузовые и пассажирские. Методы испытаний на прочность и ходовые качества. М. : ГосНИИВ, 1995. 99 с

Literature

1. Ermolenko M. Freight-traffic volume in tank-containers in Russian Railways (RZD) network continues to grow [Objemy perevozok v tank-konteynerah po seti RZhD prodolzhaют rasti]. URL: http://www.rzd-partner.ru/zhd-transport/news/obemy-perevozok-v-tank-konteinerakh-po-seti-rzhd-prodolzhaiut-rasti-412511/?sphrase_id=27210 (reference date: 01.04.2017).
2. Simonova T. Market overview on railway transportation in containers [Obzor rynka konteynerykh zheleznodorozhnykh perevozok]. URL: http://www.rzd-partner.ru/wate-transport/news/obzor-rynka-konteynerykh-zheleznodorozhnykh-perevozok-avgust-2015-g/?sphrase_id=27214 (reference date: 14.04.2017).
3. GOST (All-Union State Standard) 31314.3–2006. Freight containers of series 1. Technical specification and testing methods. Part 3. Tank-containers for liquids, gas and bulk cargo under pressure [Konteynery gruzoviye serii 1. Tehnicheskiye trebovaniya i metody ispytaniy. Ch. 3. Konteynery-tsisterny dlya zhidkostey, gazov i syuchih gruzov pod davleniem]. – M. : Standartinform, 2007. 27 p.
4. GOST (All-Union State Standard) R 50697–94. Freight containers of series 1. Technical specification and testing methods [Konteynery gruzoviye serii 1. Tehnicheskiye trebovaniya i metody ispytaniy]. Part 2. Thermally insulated containers. – M. : Gosstandart Rossii, 1994. 76 p.

5. GOST (All-Union State Standard) R 51876–2008. Freight containers of series 1. Technical specification and testing methods. Part 1. General-purpose containers. [Kontejnery gruzoviye serii 1. Tehnicheskiye trebovaniya i metody ispytaniy. Ch. 1. Kontejnery obshchego naznacheniya]. – M. : Standartinform, 2008. 42 p.
6. GOST (All-Union State Standard) R 51891–2008. Freight containers of series 1. Fittings. Technical conditions. [Kontejnery gruzoviye serii 1. Fitingi. Tehnicheskiye usloviya] – M. : Standartinform, 2008. 31 p.
7. GOST (All-Union State Standard) R 52202–2004. Freight containers. Terms and definitions [Kontejnery gruzoviye. Terminy i opredeleniya]. – M. : State Standard of Russia, 2004. 23 p.
8. GOST (All-Union State Standard) R 53350–2009. Freight containers of series 1. Classification, dimensions and weight [Kontejnery gruzoviye serii 1. Klassifikatsiya, razmery i massa]. – M. : Standartinform, 2009. 20 p.
9. Bityutskij A.A., Afanasjev A.E. Fatigue endurance study for restraints of body side pillars of the new body structure of an open-top wagon // Fatigue endurance study for assembly units and selection of parameters for new railway freight wagons [Issledovaniye ustalostnoj prochnosti zadelok stoev bokovoj steny novoj konstrukcii kuzova poluvagona // Issledovaniye ustalostnoj prochnosti uzlov i vybor parametrov novyh gruzovyh vagonov] : collection of scientific papers ; Serial publication № 7 / edited by A.A. Bityutskogo. – SPb : «OM-Press» Publisher, 2009. P. 62–72.
10. Afanasjev A.E. Improvement of construction of the body bolster assembly unit of a general-purpose open-top railway wagon (gondola car) // Improvement of research techniques of freight rail wagons (rail cars) [Sovershenstvovaniye konstruktssii shkvornevogo uzla universalnogo poluvagona // Sovershenstvovaniye metodik issledovaniya gruzovyh vagonov] : collection of scientific papers : Serial publication № 9 / edited by A.A. Bityutskij. – SPb : «OM-Press» Publisher, 2011. P. 101–110.
11. Dodonov A.V., Afanasjev A.E. Improvement of procedures for carrying out tests of compound body railway cars // Improvement of research procedures for freight railway cars [Sovershenstvovaniye metodik provedeniya ispytaniy vagonov s sostavnym kuzovom // Sovershenstvovaniye metodik issledovaniya gruzovyh vagonov] : collection of scientific papers ; Serial publication № 9 / edited by A.A. Bityutskij. – SPb : «OM-Press» Publisher, 2011. P. 47–59.
12. GOST (All-Union State Standard) 33211–2014. Freight railway cars. Requirements for endurance strength and dynamic qualities [Vagony gruzoviye. Trebovaniya k prochnosti i dinamicheskim kachestvam]. – M. : Standartinform, 2016. 57 p.
13. Standards for estimation and designing of railway cars for railways with gauge track of 1520 mm MPS (Railway Ministry) (unpowered railway cars) [Normy dlya rascheta i proektirovaniya vagonov zheleznih dorog MPS kolei 1520 mm (nesamohodnyh)]. – M. : GosNIIV–VNIIZhT (Railway Research Institute), 1996. 317
14. RD 24.050.37.95: Freight and passenger railway cars. Testing methods for endurance and riding qualities [Vagony gruzoviye i passazhirskie. Metody ispytaniy na prochnost i hodoviye kachestva]. M. : GosNIIV (Railway Research Institute), 1995. 99 p.

Статья сдана в редакцию 8 февраля 2018 года

Организация и логистика

УДК 656.224/225 + 06

М.Ю. Скорченко

Организация контрейлерных перевозок в Российской Федерации и оценка их эффективности

UDC 656.224/225 + 06

М.Yu. Skorchenko

Organization of container transportations in the Russian Federation and their efficiency assessment

Аннотация

Основная идея данного исследования основана на положении о том, что организация контрейлерного сообщения в России является перспективным направлением повышения конкурентоспособности железных дорог и неотъемлемой частью прогрессивных интермодальных транспортных цепей, построенных и функционирующих на основе логистических принципов.

В статье проведена оценка эффективности применения контрейлерной технологии для потребителя транспортных услуг. С помощью метода математического анализа выявлен набор минимально необходимых условий конкурентоспособности контрейлерной перевозки по отношению к автомобильной. Исходя из полученных результатов расчета сделан вывод,

что контрейлерные перевозки могут конкурировать с автомобильными только при условии снижения тарифной нагрузки и оказания государственной поддержки.

Сформулирована схема организации контрейлерных перевозок в России при создании управляющей компании, осуществляющей функции регулирования и согласования действий участников перевозки. Предложен вариант осуществления контрейлерной технологии при участии действующих структурных подразделений ОАО «РЖД», а также дочерних предприятий компании.

Сделан вывод, что внедрение массового контрейлерного сообщения в России позволило бы преодолеть конкурентные отношения автомобильного и железнодорожного транспорта,

наладив их успешное взаимодействие, а также решить ряд проблем, как сокращение нагрузки на автомагистрали, уменьшение числа дорожно-транспортных происшествий, улучшение экологической ситуации в стране.

Ключевые слова: интермодальные перевозки, контрейлер, контрейлерное сообщение, транспортная инфраструктура, технология перевозки, экономическая эффективность.

DOI: 10.20291/2079-0392-2018-1-52-59

Abstract

The main idea of this research is based on the provision that the organization of container transportation in Russia is a perspective way to increase the Russian Federation's railroads competitiveness and an integral part of the progressive intermodal transport links constructed

Статья рекомендована к опубликованию Д.Ю. Кочневой, канд. техн. наук; кафедра международной экономики и логистики Уральского государственного университета путей сообщения. E-mail: dana_rich@mail.ru. The article is recommended for publishing by D.Yu. Kochneva, Candidate of Technical Science; Chair of World Economics and Logistics Ural State university of Railway Transport. E-mail: dana_rich@mail.ru.

Михаил Юрьевич Скорченко, аспирант; кафедра «Логистика и управления в транспортных системах» Ростовского государственного университета путей сообщения; Ростов-на-Дону, Россия. E-mail: muskorchenko@mail.ru.

Mikhail Yurievich Skorchenko, Postgraduate; Chair of Logistics and Management in Transport Systems, Rostov State University of Railway Transport; Rostov-on-Don, Russia. E-mail: muskorchenko@mail.ru.

and functioning on the basis of the logistic principles.

The article is devoted to assessment of the contrailer technology efficiency regarding the transport services consumers. By means of the mathematical analysis method a set of minimum essential conditions of competitiveness of contrailer transportation comparing to automobile one is defined. Proceeding from the results obtained, the conclusion is drawn that contrailer transportations can compete with automobile ones only on condition of decreasing

tariff loading and providing the state support.

The organization scheme of contrailer transportations in Russia is outlined involving establishment of a management company regulating and coordinating the of the transportation participants' actions. The way of contrailer technology implementation involving the operating structural divisions of RZD and its subsidiaries is offered.

The conclusion is drawn that introduction of mass contrailer transportation in Russia would allow to overcome

the competitive relations of motor and railway transport, having established their successful cooperation and also to solve a number of related problems, such as decrease of highways load, reduction the road accidents, improvement of the ecological situation in the country.

Keywords: intermodal transportations, contrailer, contrailer transportations, transport infrastructure, transportation technology, economic efficiency.

DOI: 10.20291/2079-0392-2018-1-52-59

На первое место в системе транспортных потоков нашей страны выходит поиск выгодных логистических решений доставки грузов [1]. Пример высокотехнологичной доставки грузов различными видами транспорта, завоевавший место на рынке транспортных услуг США и Европы, – контейнерные перевозки (комбинированные железнодорожно-автомобильные перевозки прицепов, полуприцепов, трейлеров или съемных кузовов на железнодорожной платформе) [2, 3].

Компанией ОАО «РЖД» разработан ряд нормативных документов, направленных на организацию технологии контейнерных перевозок, а также типовые схемы контейнерного терминала и типовой технологический процесс его работы [4]. В утвержденных документах рассматривается два варианта технологической схемы организации контейнерной перевозки.

Вариант сопровождаемой перевозки подразумевает перевозку автомобилей и прицепов в сопровождении водителя автомобиля в одном составе поезда и прицепкой пассажирских вагонов. Несопровождаемая – перевозку только полуприцепов, т. е. доставку на станцию отправления и со станции назначения разными тягачами. Но универсальных платформ, которые могут перевозить

контейнеры по двум предложенным вариантам, нет [5].

Поэтому для развития контейнерных перевозок необходимо формирование управляющей контейнерной компании, которая должна иметь сети логистических центров и контейнерных терминалов для формирования контейнерных поездов и их обслуживания [6, 7]. Главная задача такой компании – организация движения контейнерных поездов между терминалами по расписанию, формирование при необходимости дополнительных поездов и координация деятельности остальных участников рынка (рис. 1). Такая компания может быть создана на базе собственника сети терминалов.

Основной функцией управляющей контейнерной компании станет проведение анализа рынка потенциальных клиентов, формирование и согласование расписания движения контейнерных поездов, обеспечение формирования маршрутных поездов.

Создание единого аппарата управления контейнерными перевозками позволит сформировать рынок спроса и предложения и систематизировать затраты на реализацию проекта, а также дальнейшие капиталовложения и эксплуатационные затраты за счет жесткой диспетчеризации управления специфическим подвижным составом.

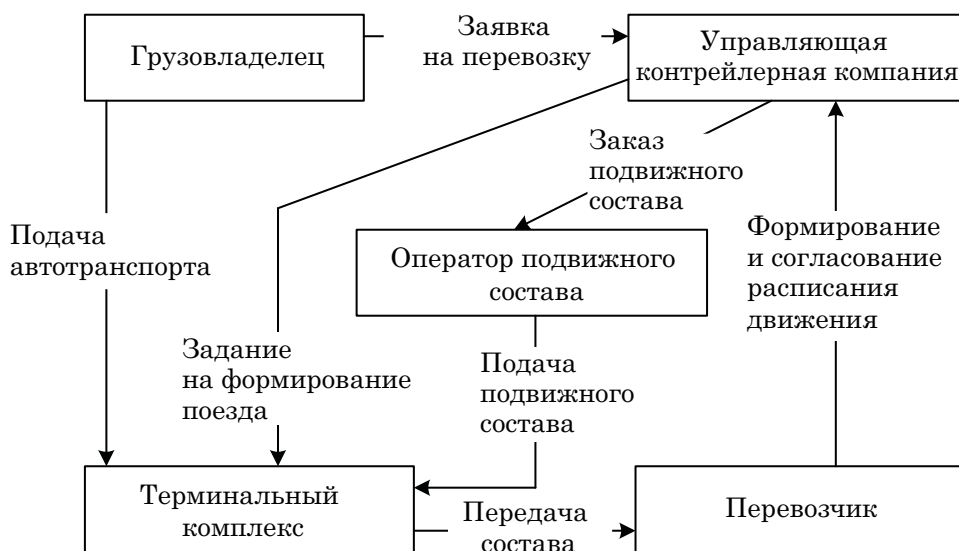


Рис. 1. Схема организации контрейлерной перевозки

Опытные перевозки, проведенные в 2016 г., были организованы с участием грузовых дворов Центральной дирекции по управлению терминально-складским комплексом. В качестве управляющей компании выступали региональные центры корпоративного управления, грузоотправителя/грузополучателя – АО «РЖД-Логистика». По результатам проведенной опытной перевозки на участке Краснодар-Сортировочный – Адлер (полигон Северо-Кавказской железной дороги) технология контрейлерных перевозок заинтересовала АО «Тандер».

На сегодняшний момент существует целый ряд технологических предпосылок внедрения контрейлерного сообщения в Российской Федерации. Однако контрейлерное сообщение в России до сих пор не получило распространения. Одной из причин данного факта является недостаточность проработки методов оценки эффективности технологии доставки груза [8, 9].

Рассмотрим зависимость затрат на комбинированную перевозку от количества и расстояния перевозки.

Простейший расчет затрат на перевозку выглядит следующим образом:

$$Z = CLV, \quad (1)$$

где C – цена перевозки 1 ед., руб./км; L – расстояние перевозки, км; V – количество единиц перевозимого автотранспорта, ед.

Зависимость затрат на комбинированную перевозку от объема (V) и расстояния (L) перевозки схематично представлено на рис. 2.

При оценке эффективности и выбора способа организации регулярных перевозок контрейлерного сообщения необходимо учитывать социально-экономи-

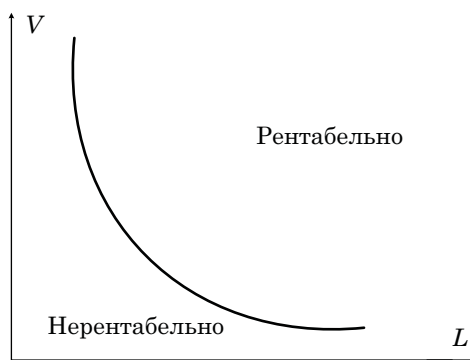


Рис. 2. Зависимость от количества и расстояния перевозки затрат на комбинированную перевозку

ческие аспекты, в том числе предотвращенный экологический ущерб, создание дополнительных рабочих мест, прирост налоговых поступлений, которые также могут отразиться на стоимости перевозок. В этом случае «зона» рентабельности может расшириться, т. е. повысится эффективность перевозки.

Развитие контрейлерных перевозок позволит снизить затраты на восстановление автомобильных дорог, сократить количество дорожно-транспортных происшествий, улучшится показатель сохранности груза, сократятся финансовые риски грузовладельцев и т. п.

Все это напрямую или косвенно влияет на ВВП страны. Следовательно, государство заинтересовано во внедрении комбинированных перевозок. Субсидируя систему контрейлерных перевозок в той или иной степени в зависимости от объема и расстояния перевозок, государство (через тарифную политику) создаст некий коридор между рентабельностью и неэффективностью выбора экономически обоснованной схемы перевозки (рис. 3).

Для детального расчета и определения эффективности необходимо оценить все затраты на перевозку и сравнить с альтернативной автомобильной перевозкой.

Затраты на автомобильную перевозку (Z_a) будут представлены в виде

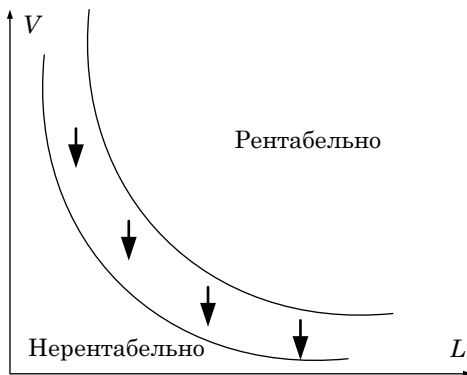


Рис. 3. Зависимость от количества и расстояния перевозки затрат на комбинированную перевозку

суммы затрат на топливо (Z_1), платы за пользование трассами федерального назначения (Z_2), техническое обслуживание (Z_3), зарплаты водителя (Z_4) и условно-постоянных затрат (Z_5), т. е.

$$Z_a = \sum_{i=1}^5 Z_i. \quad (2)$$

Затраты на топливо зависят от нормы расхода топлива автомобиля, участвующего в перевозке, расстояния перевозки и цены на топливо:

$$Z_1 = C_o IL, \quad (3)$$

где C_o — цена топлива, руб./л; I — норма расхода, л/км; L — расстояние перевозки, км.

Плату за пользование федеральными трассами рассчитаем по формуле (4); она зависит от расстояния перевозки и доли протяженности федеральных трасс, умноженными на тариф:

$$Z_2 = C_f LI_f, \quad (4)$$

где C_f — тариф за пользование федеральными трассами, руб./км; I_f — коэффициент, доля федеральных трасс в пути следования.

Затраты на проведение технического обслуживания также можно представить в виде зависимости от расстояния перевозки и рассчитать:

$$Z_3 = C_t \cdot \frac{L}{L_t}, \quad (5)$$

где C_t — стоимость технического обслуживания, руб.; L_t — норма пробега до очередного обслуживания, км.

Заработная плата водителя прямо пропорциональна тарифной ставке и расстоянию и обратно пропорциональна средней скорости движения автомобиля:

$$Z_4 = C_w \cdot \frac{L}{\vartheta_a}, \quad (6)$$

где C_w — тарифная ставка водителя, руб./ч; ϑ_a — средняя скорость перевозки автотранспортом, км/ч.

Условно-постоянные затраты включают в себя расходы на содержание диспетчерского и административного персонала, помещений, проведения медицинского освидетельствования водителей, страховку автотранспорта и т. д.

Затраты на контрейлерную перевозку (Z_P) представляются суммой затрат за пользование вагоном (Z_v), терминальную обработку (Z_t) и тарифом на железнодорожную перевозку (Z_R):

$$Z_P = Z_v + Z_t + Z_R. \quad (7)$$

Затраты за пользование вагоном:

$$Z_v = C_v(T + T_t), \quad (8)$$

где C_v – плата за пользование вагоном, руб./сут; T_t – время терминальной обработки вагона, сут, равно двум суткам (одни сутки – на станции отправления и одни – на станции назначения); T – срок доставки (перевозки), сут.

Временные затраты на железнодорожную перевозку:

$$T = \frac{L}{\vartheta_R}, \quad (9)$$

где L – расстояние перевозки; ϑ_R – норма суточного пробега (средняя скорость перевозки железнодорожным

транспортом). Принимается в соответствии с правилами исчисления сроков доставки грузов, порожних грузовых вагонов железнодорожным транспортом (рис. 4).

Затраты на терминальную обработку определяются тарифом на автомобиль.

Затраты на железнодорожную перевозку определяются по [10].

Учитывая нелинейность затрат, границу V_{ai} , при которой предпочтение от автомобильной перевозки перейдет к контрейлерной, можно определить из следующего условия.

Сравнительный анализ затрат на контрейлерную и автомобильную перевозки (расстояние фиксированное) в зависимости от числа автомобилей позволяет определить количество автомобилей, при котором контрейлерная перевозка предпочтительней (рис. 5).

Проведем расчет на примере перевозки по маршруту Ростов-на-Дону – Адлер, для которого расстояние по автомобильной дороге $L = 557$ км. Маршрут полностью проходит по федеральной трассе М-4, т. е. $I_f = 1$. Проведем расчеты на основании показателей: $C_o = 39$ руб./л, $I = 32$ л/100 км, $C_f = 1,9$ руб./км, $C_t = 46000$ руб.,

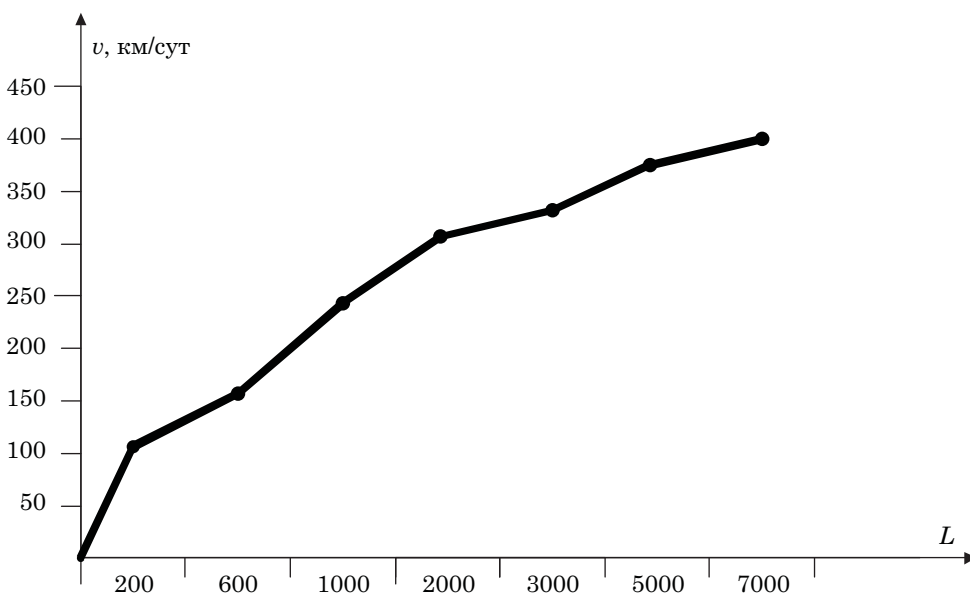


Рис. 4. Норма суточного пробега для повагонных отправок

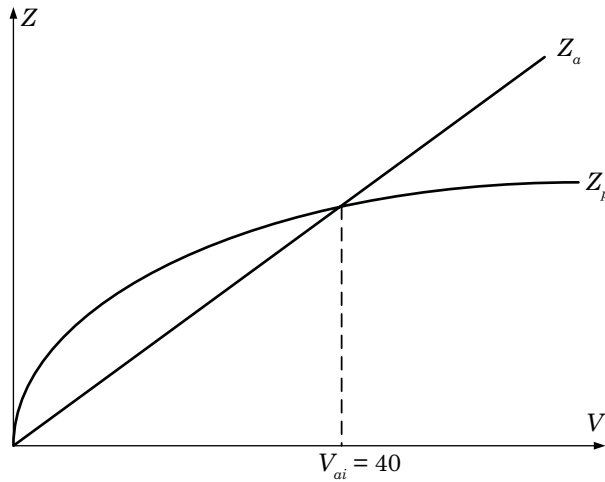


Рис. 5. Сравнительный анализ затрат на контейнерную и автомобильную перевозки

$L_t = 10000$ км, $\vartheta_a = 60$ км/ч, $C_w = 457$ руб./ч. Условно-постоянные затраты примем на уровне 25 % от общих затрат на перевозку.

Значение показателей по (1)–(9), руб.: $Z_1 = 7201$, $Z_2 = 1096,3$, $Z_3 = 2654,2$, $Z_4 = 4394,82$, $Z_a = 19182,92$ (себестоимость перевозки автомобилем).

Плата за пользование вагоном-платформой – 1200 руб./сут.

В концепции организации контейнерных перевозок стоимость погрузочно-разгрузочных работ определена в 1400 руб., с учетом инфляции в 2017 году составит 2200 руб.

Скорость доставки составит 160 км/сут; $Z_v = 7200$ руб.

Плата за повагонную отправку груза 3 тарифного класса «Автомобили грузовые, не поименованные в алфавите», составляет 48816 руб; $Z_p = 58216$ руб.

С учетом скидки за маршрутную отправку (40 вагонов, $V_{ai} = 40$) железнодорожный тариф снизится до 38390,89 руб. за вагон, т.е: $Z_p = 44190,89$ руб.

С учетом стратегической важности и высокой социально-экономической значимости контейнерных перевозок целесообразен пересмотр тарифной ставки на перевозку контейнеров в сторону уменьшения.

Минимальный железнодорожный тариф имеют грузы 1 тарифного класса.

При расчете платы за железнодорожную перевозку груза 1 тарифного класса размер платы для повагонной отправки составит 16195,5 руб., для маршрутной – 12954,04 руб.; $Z_p = 25595,5$ руб.

С учетом скидки за маршрутную отправку (40 вагонов, $V_{ai} = 40$) железнодорожный тариф: $Z_p = 18754,04$ руб.

Исходя из полученных результатов расчета можно сделать вывод, что контейнерные перевозки могут конкурировать с автомобильными только при условии снижения тарифной нагрузки и оказания государственной поддержки.

В результате математического анализа выявлен набор минимально необходимых условий конкурентоспособности контейнерной перевозки по отношению к автомобильной.

Для контейнерных перевозок с использованием железнодорожного тарифа для грузов 1 класса минимальное количество автомобилей, обеспечивающее целесообразность отправки их в составе контейнерного поезда, – 40 ед. ($V_{ai} = 40$). Увеличение составности поезда умножит экономическую выгоду для перевозчика, но регулярность перевозок (обеспеченность контейнерами) может и не гарантироваться. Требование же к длине контейнерного состава сопряжено с определенными

затруднениями инфраструктурного обеспечения перевозок.

Основная идея данного исследования основана на предположении, что организация контрейлерного сообщения в России является перспективным направлением повышения конкурентоспособности железных дорог Российской Федерации и неотъемлемой частью прогрессивных интермодальных транспортных цепей, построенных и функционирующих на основе логистических принципов.

Решив одну из основных задач – установление конкурентоспособного тарифа, можно удовлетворить потребности нескольких участников перевозки: государство получит дополнительную мобильность и стратегическую устойчивость транспортной системы страны, перевозчик и операторы – дополнительный доход, бизнес – сокращение определенных издержек и расширение способов доставки грузов, общество – повышение уровня экологической безопасности и безаварийности транспорта.

При этом стоит понимать, что проект контрейлерных перевозок относится к высокзатратным и получение сиюминутной выгоды в этом случае невозможно. Однако, учитывая высокую социально-экономическую значимость

данной инициативы для нашей страны, целесообразно рассчитывать на государственную поддержку данного проекта на начальном этапе.

Проведенный автором анализ типовых технологических процессов контрейлерного терминала и технологий перевозки с учетом количества участников перевозки показал сложность и многовариантность процедур обслуживания грузовых автомобилей и прицепов. В данной статье сформулирована схема организации перевозок при создании управляющей компании, осуществляющей функции регулирования и согласования действий участников перевозки. Предложен вариант осуществления контрейлерной технологии при участии действующих структурных подразделений ОАО «РЖД», а также дочерних предприятий компании.

Внедрение массового контрейлерного сообщения в России позволило бы преодолеть конкурентные отношения автомобильного и железнодорожного транспорта, наладив их успешное взаимодействие, а также решить ряд сопутствующих проблем: сокращение нагрузки на автомагистрали, уменьшение числа дорожно-транспортных происшествий, улучшение экологической ситуации в стране. ■

Литература

1. Боцвин Д.В. Организация сборных контейнерных перевозок на железнодорожном транспорте / Д.В. Боцвин, Г.А. Ковалев, Э.А. Мамаев // Вестник Ростовского государственного университета путей сообщения. 2012. № 2. С. 119–125. ISSN 0201-727X.
2. Зубков В.Н. Логистикоориентированное управление экспортными перевозками-средство снижения транспортных расходов / В.Н. Зубков, Е.В. Рязанова, А.Г. Черняев // Вестник Ростовского государственного университета путей сообщения. 2009. № 4. С. 65–69. ISSN 0201-727X.
3. Кизимиров М.В. Дополнительный общепромышленный эффект внедрения контрейлерных перевозок // Вестник транспорта. 2012. № 10. С. 36–38.
4. Кузнецова А.И. Контрейлерные перевозки: новые возможности в современных условиях / А.И. Кузнецова, А.Ж. Зубец // Transport business in Russia. 2015. № 2. С. 59–61. ISSN 2072-8689.
5. Концепция организации контрейлерных перевозок на «Пространстве 1520». М. : ОАО «РЖД», 2011. 149 с.
6. Астафьев А.В., Кизимиров М.В. Оценка социально-экономического эффекта развития регулярного контрейлерного сообщения на территории Российской Федерации // Вестник транспорта. 2016. № 4. С. 29–34.
7. Об утверждении «Концепции регламента организации контрейлерных перевозок на железных дорогах ОАО «РЖД» : распоряжение ОАО «РЖД» // РЖД-Партнер. Документы. 2012. № 6. С. 20–24.

8. Кряжев А.Н. Организация регулярного контрейлерного сообщения на территории России // Транспорт Российской Федерации. 2016. № 1. С. 18–21. ISSN 1994-831X.
9. Федорина А.В. Комплексный подход к внедрению контрейлерных перевозок в России / А.В. Федорина, А.В. Цыганов // Современные проблемы транспортного комплекса России. 2015. № 1 (6). С. 21–27. ISSN 2222-9396.
10. Электронная торговая площадка «Грузовые перевозки». URL: <https://etpgp.rzd.ru/#landing> (дата обращения: 10.02.2018).

Literature

1. Botsvin D.V. Organization of mixed container traffic on railway transport [Organizatsiya sbornyh kontejnernih perevozok na zhelezнодорожном транспорте] / D.V. Botsvin, G.A. Kovalyov, E.A. Mamayev // Herald of Rostov state university of railway transport. 2012. № 2. P. 119–125. ISSN 0201-727X.
2. Zubkov V.N. Logistics-oriented management of export traffic – means of reduction of transportation costs [Logistikoorientirovannoe upravleniye eksportnymi perevozkami-sredstvo snizheniya transportnyh rashodov] / V.N. Zubkov, E.V. Ryazanova, A.G. Chernyayev // Herald of Rostov state university of railway transport. 2009. № 4. P. 65–69. ISSN 0201-727X.
3. Kizimirov M.V. Additional industry-wide effect of piggy-back traffic [Dopolnitelnyy obshcheotraslevoj effekt vnedreniya kontrejlernyh perevozok] // Herald of transport. 2012. № 10. P. 36–38.
4. Kuznetsova A.I. Piggy-back traffic: new possibilities in present day environment [Kontrejlernyye perevozki: novyye vozmozhnosti v sovremennykh usloviyakh] // A.I. Kuznetsova, A.Z. Zubets // Transport business in Russia. 2015. № 2. P. 59–61. ISSN 2072-8689.
5. Concept of piggy-back traffic organization within «area 1520» [Kontseptsiya organizatsii kontrejlernyh perevozok na «Prostranstve 1520»]. M. : OAO «RZD», 2011. 149 p.
6. Astafyev A.V., Kizimirov M.V. Evaluation of social and economic efficiency of regular piggy-back transportation development around the Russian Federation territory [Otsenka sotsialno-ekonomicheskogo effekta razvitiya regul'yarnogo kontrejler'nogo soobshcheniya na territorii Rossijskoj Federatsii] // Herald of Transport. 2016. № 4. P. 29–34.
7. About approval of «Concept of regulations for organization of piggy-back traffic on OAO «RZD» railways [Ob utverzhdenii «Kontsepcii reglamenta organizatsii kontrejlernyh perevozok na zheleznnyh dorogah OAO «RZD»]: OAO «RZD» Order // RZD-Partner. Documents. 2012. № 6. P. 20–24.
8. Kryazhev A.N. Organization of regular piggy-back traffic around Russia's territory [Organizatsiya regul'yarnogo kontrejler'nogo soobshcheniya na territorii Rossii] // Russian Federation Transport. 2016. № 1. P. 18–21. ISSN 1994-831X.
9. Fedorina A.V. All-out approach to introduction of piggy-back transportation in Russia [Kompleksnyy podhod k vnedreniyu kontrejlernyh perevozok v Rossii] / A.V. Fedorina, A.V. Tsyganov // Contemporary problems of Russia's transportation complex. 2015. № 1 (6). P. 21–27. ISSN 2222-9396.
10. Electronic trading platform «Freight traffic» [Elektronnaya trgovaya ploshchadka «Gruzovyje perevozki»]. URL: <https://etpgp.rzd.ru/#landing> (reference date: 10.02.2018).

Статья сдана в редакцию 1 марта 2018 года

УДК 656.13.016(07)

В. И. Васильев, А. В. Савельев, Н. Н. Рыбин

Проектирование постов санитарной обработки автомобильных фургонов для перевозки продуктов питания

UDC 656.13.016(07)

V.I. Vasil'ev, A.V. Savel'ev, N.N. Rybin

Design of sanitation posts for truck vans transporting food

Аннотация

Один из путей улучшения санитарно-эпидемиологической обстановки в населенных пунктах, особенно в крупных городах – это организация на должном уровне санитарной обработки транспортных средств, перевозящих продукты питания. В статье рассмотрено направление повышения эпидемиологической безопасности в городах за счет организации на предприятиях автосервиса санитарной обработки автомобильных фургонов для перевозки продуктов питания в соответствии с существующими требованиями.

На основании требований нормативных документов разработана организационно-технологическая схема поста санитарной обработки автомобильных фургонов.

Для определения исходных данных для расчета годовой трудоемкости работ сервисной зоны санитарной обработки автофургонов на примере г. Кургана выполнены маркетинговые исследования. Они направлены на определение количества фургонов – потенциальных объектов деятельности предприятий, оказывающих услугу по санитарной обработке автотранспорта.

Разработано планировочное решение поста санобработки для автофургонов с малым объемом грузового отсека, составляющих большинство в рыночных условиях.

Ключевые слова: перевозка, продукты, автофургон, санобработка, пост, методика, расчет, оборудование, планировка.

DOI: 10.20291/2079-0392-2018-1-60-68

Abstract

One of the ways to improve the sanitary and epidemiologic situation in localities, especially in large cities, is organization of adequate sanitary processing of vehicles transporting food. The article considers the way of increasing the cities' epidemiological safety through sanitary car services for vans transporting food organized at establishments according to the existing requirements.

Based on the requirements presented in the normative documents, an organizational technical scheme of such a sanitation post was developed.

To define the basic data for calculation of annual labor input of a sanitary service zone processing vans market researches were executed on the example of Kurgan. They are aimed at defining the number of vans – potential objects of sanitary car services activity.

A planning solution of a sanitary post is developed for vans with a small cargo bay volume which form the majority in the market conditions.

Keywords: transportation, food products, motor van, sanitation, post, technique, calculation, equipment, planning.

DOI: 10.20291/2079-0392-2018-1-60-68

Статья рекомендована к опубликованию И.А. Тараторкиным, д-ром техн. наук, профессором кафедры «Гусеничные машины и прикладная механика» Курганского государственного университета. E-mail: ig_tar@mail.ru. The article is recommended for publishing by I.A. Taratorkin, Doctor of Technical Science, Professor, «Caterpillar machines and applied mechanics» Chair, Kurgan State University. E-mail: ig_tar@mail.ru.

Валерий Иванович Васильев, д-р техн. наук, профессор, заведующий кафедрой; кафедра «Автомобильный транспорт и автосервис» ФГБОУ ВО «Курганский государственный университет»; Курган, Россия. E-mail: vvprof@rtural.ru.

Алексей Викторович Савельев, канд. техн. наук, доцент; кафедра «Автомобильный транспорт и автосервис» ФГБОУ ВО «Курганский государственный университет»; Курган, Россия. E-mail: sav121985@mail.ru.

Николай Никифорович Рыбин, канд. техн. наук, доцент; кафедра «Автомобильный транспорт и автосервис» ФГБОУ ВО «Курганский государственный университет»; Курган, Россия. E-mail: atas45@bk.ru.

Valery Ivanovich Vasilyev, DSc in Engineering; Professor, head of the department «Automobile Transport and car service» of the Kurgan State University; Kurgan, Russia. E-mail: vvprof@rtural.ru.

Aleksei Viktorovich Savelyev, PhD in Engineering, associate professor; Department of the «Automobile Transport and car service» of the Kurgan State University; Kurgan, Russia. E-mail: sav121985@mail.ru.

Nikolai Nikiforovich Rybin, PhD in Engineering, associate professor; Department of the «Automobile Transport and car service» of the Kurgan State University; Kurgan, Russia. E-mail: atas45@bk.ru.

Несоблюдение сроков санитарной обработки или ее невыполнение для автотранспорта, предназначенного для перевозки продуктов питания (мясной, молочной, рыбной и птицеводческой продукции, овощей, бахчевых и безалкогольных напитков), может стать причиной инфекционных заболеваний или массового отравления. Любой транспорт, перевозящий продукты питания, в обязательном порядке проходит санитарную обработку [1]. Специализированных постов, предназначенных для этого, явно не хватает, а имеющиеся плохо оснащены, работы выполняются в основном вручную.

Но такие посты можно организовать: а) при некоторых автомойках, где санобработка будет производиться в качестве сопутствующей услуги и б) как отдельные специализированные пункты санитарной обработки автомобильных фургонов.

Общая организационно-технологическая схема поста санитарной обработки автофургонов

Разработанная на основании требований [1] организационно-технологическая схема поста санитарной обработки автомобильных фургонов представлена на рис. 1.

Схема позволила наглядно представить этапы технологического процесса

санобработки и тем самым тщательнее и точнее подобрать технологическое оборудование и организационную оснастку поста.

Расчет мощности сервисной зоны для санобработки фургонов

Мощность сервисных зон предприятий автосервиса оценивается числом рабочих постов в них. В мегаполисах, при большом количестве автофургонов для перевозки пищевых продуктов, может понадобиться не один пост для санобработки и даже не одно предприятие автосервиса такого назначения. Поэтому необходима методика определения их количества [2, 3].

Количество постов санобработки рассчитывается по общеизвестной зависимости для определения постов обслуживания:

$$X_{\text{сан}} = \frac{TГ_{\text{сан}} \cdot \Phi_{\text{сан}}}{D_{\text{РГсан}} \cdot C_{\text{сан}} \cdot T_{\text{СМсан}} \cdot P_{\text{Псан}} \cdot \eta_{\text{сан}}}, \quad (1)$$

где $TГ_{\text{сан}}$ – годовой объём работ санитарной обработки, чел. · ч; $D_{\text{РГсан}}$ – число дней работы в году зоны санитарной обработки, дн; $C_{\text{сан}}$ – число смен работы зоны; $T_{\text{СМсан}}$ – продолжительность смены, ч; $P_{\text{Псан}}$ – число рабочих на посту санитарной обработки, чел; $\Phi_{\text{сан}}$, $\eta_{\text{сан}}$ – соответственно, коэффициенты, учитывающие неравномерность поступления

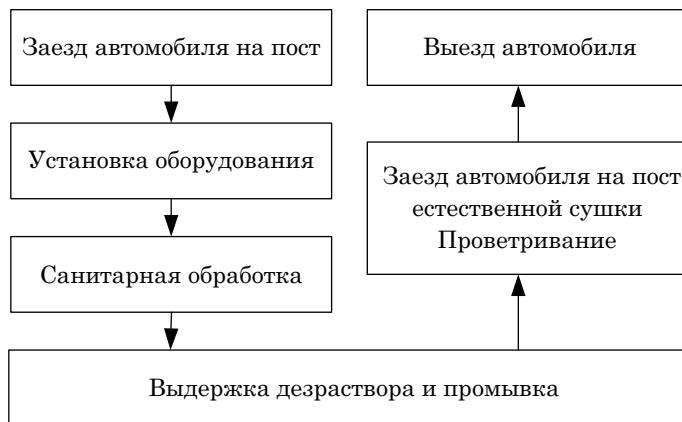


Рис. 1

автомобилей на посты санитарной обработки и использование рабочего времени поста.

В общем виде годовой объём работ по санобработке ($TГ_{сан}$), чел. · ч, находится по формуле:

$$TГ_{сан} = A_{\Phi} \cdot d_{сан} \cdot t_{Нсан}, \quad (2)$$

где A_{Φ} – число автофургонов для перевозки продуктов питания в сфере обслуживания предприятия автосервиса, ед.; $d_{сан}$ – число заездов одного автомобиля в год на данную услугу; $t_{Нсан}$ – нормативная трудоёмкость на санитарную обработку, чел. мин/один заезд.

Основная сложность заключается в определении исходных данных для расчета годовой трудоёмкости работ санитарной обработки фургонов [4]. Число заездов одного фургона на санобработку в год (около 36) и трудоёмкость на одну обработку примерно одинаковы для всех городов и регионов. Нормативная трудоёмкость одной санитарной обработки – 0,30–0,36 чел. · ч в зависимости от объёма автофургона [5, 6]. Определить количество фургонов, имеющих в регионе, городе можно, выполнив маркетинговое исследование в регионе, в котором предполагается организовать пункт санобработки. Рассмотрим методику такого исследования на примере г. Кургана.

Исследование спроса и предложения санитарной обработки автофургонов в г. Кургана

Динамика количества автотранспортных средств за последние пять лет представлена на рис. 2.

Для выявления доли автофургонов в общем потоке обследованы потоки автотранспорта от продовольственных баз до продовольственных магазинов и рынков.

В результате наблюдений за потоками автофургонов, перевозящих продовольствие, выявлено, что продуктовые автофургоны составляют приблизительно 1,1 % от общего количества автомобилей в городе.

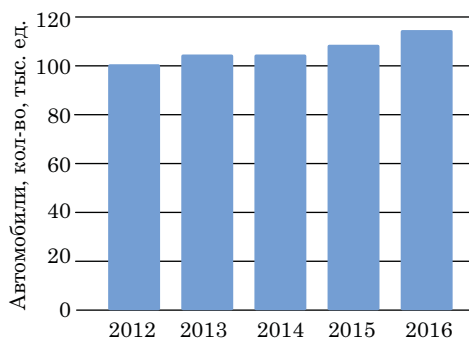


Рис. 2. Изменение количества автотранспорта в г. Кургана (по данным областной ГИБДД)

Далее определяется структура автофургонов по классам и выявляются места проведения санитарной обработки автотранспорта. В Кургана ежегодно проходят санобработку более 350 автофургонов. По журналам регистрации транспорта установлены марки и общее количество проходивших санобработку автофургонов. Их структура по классам и маркам приведена на рис. 3.

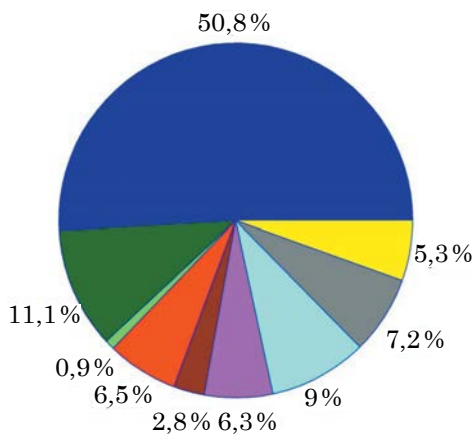


Рис. 3

■ – автофургоны марки ГАЗ; ■ – автофургоны на базе легковых автомобилей; ■ – автофургоны марки МАЗ; ■ – автофургоны марки КамАЗ; ■ – автофургоны марки УАЗ; ■ – автофургоны марки ЗиЛ; ■ – автофургоны на базе иностранных автомобилей с небольшим объёмом кузова; ■ – автофургоны на базе иностранных автомобилей с большим объёмом кузова; ■ – прочие автофургоны с большим объёмом кузова

Сегментация рынка автосервиса по услуге «Санитарная обработка кузова для транспортных средств, перевозящих пищевые продукты»

Сегментация произведена по объёму грузового отсека. Из общего числа автофургонов выбраны с небольшим объёмом кузова (рис. 4). Их количество составляет большинство – 77,3%. В эту группу отнесены фургоны, длина кузова которых не превышает 3700 мм [7].

Итак, в Кургане функционируют примерно 900 автофургонов с небольшим объёмом кузова. Количество минифургонов постоянно увеличивается [8]. Поэтому при обосновании числа фургонов, на которое следует ориентироваться при проектировании дополнительных мощностей (постов), целесообразно разделить функции между предприятиями следующим образом. Санобработку фургонов большого объёма нужно отдать уже существующим предприятиям. Автофургоны особо большого объёма (на базе автопоездов), грузовые отсеки которых сопоставимы с железнодорожными вагонами,

можно дезинфицировать на предприятиях ОАО «РЖД».

Диаграмма результатов маркетинга по рассматриваемой услуге представлена на рис. 5.

На диаграмме $A_{\Phi \text{Н расч}}$ уменьшено по сравнению с C_q на 25%. Это необходимый резерв для повышения загрузки постов. Но несмотря на существующие штрафные санкции [9], многие предприниматели игнорируют санитарную обработку. Значит, число автофургонов малого объёма, по которому будет выполняться технологический расчёт дополнительных мощностей по санобработке:

$$A_{\Phi \text{Н расч}} = C_q - k \cdot C_q.$$

Как видно из представленных соотношений (рис. 5), рынок услуг по санитарной обработке автофургонов имеет большую свободную нишу. Но в ней есть скрытая часть рынка услуг. Некоторые владельцы автофургонов не оформляют санитарные паспорта и занимаются перевозками нелегально. Чтобы легализовать эту часть перевозок продуктов питания, необходимо неуклонно

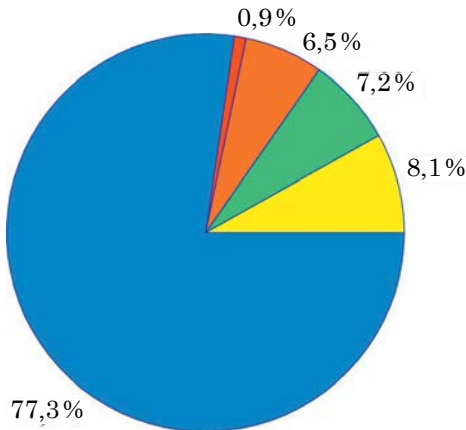


Рис. 4. Сегментация автофургонов по объёму кузова

- – автофургоны с небольшим объёмом кузова; ■ – автофургоны марки МАЗ;
- – автофургоны марки КамАЗ; ■ – автофургоны на базе иностранных автомобилей с большим объёмом кузова; ■ – прочие автофургоны с большим объёмом кузова

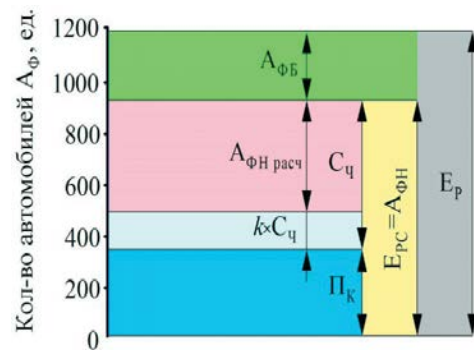


Рис. 5. Результаты маркетинга по услуге «Санобработка»

E_p – ёмкость рынка, E_{pc} – ёмкость рынка в рассматриваемом сегменте, $A_{\Phi \text{Б}}$ – число автофургонов с большим и особо большим объёмом кузова, P_k – предложение на рынке, C_q – свободная часть рынка в выбранном сегменте, $A_{\Phi \text{Н расч}}$ – число автофургонов малого объёма, принятое к расчёту

применять меры по наказанию таких предпринимателей [9].

На основе изложенной методики разработаны алгоритм (рис. 6) и программа Trsanpost определения мощности зон санитарной обработки автомобильных фургонов в автосервисе [3, 10].

Расшифровка обозначений величин на схеме алгоритма приведена в экспликациях к формулам (1), (2) и в таблице.

Предлагаемая нами программа позволяет определять не только количество постов, но и все другие необходимые параметры для технологического

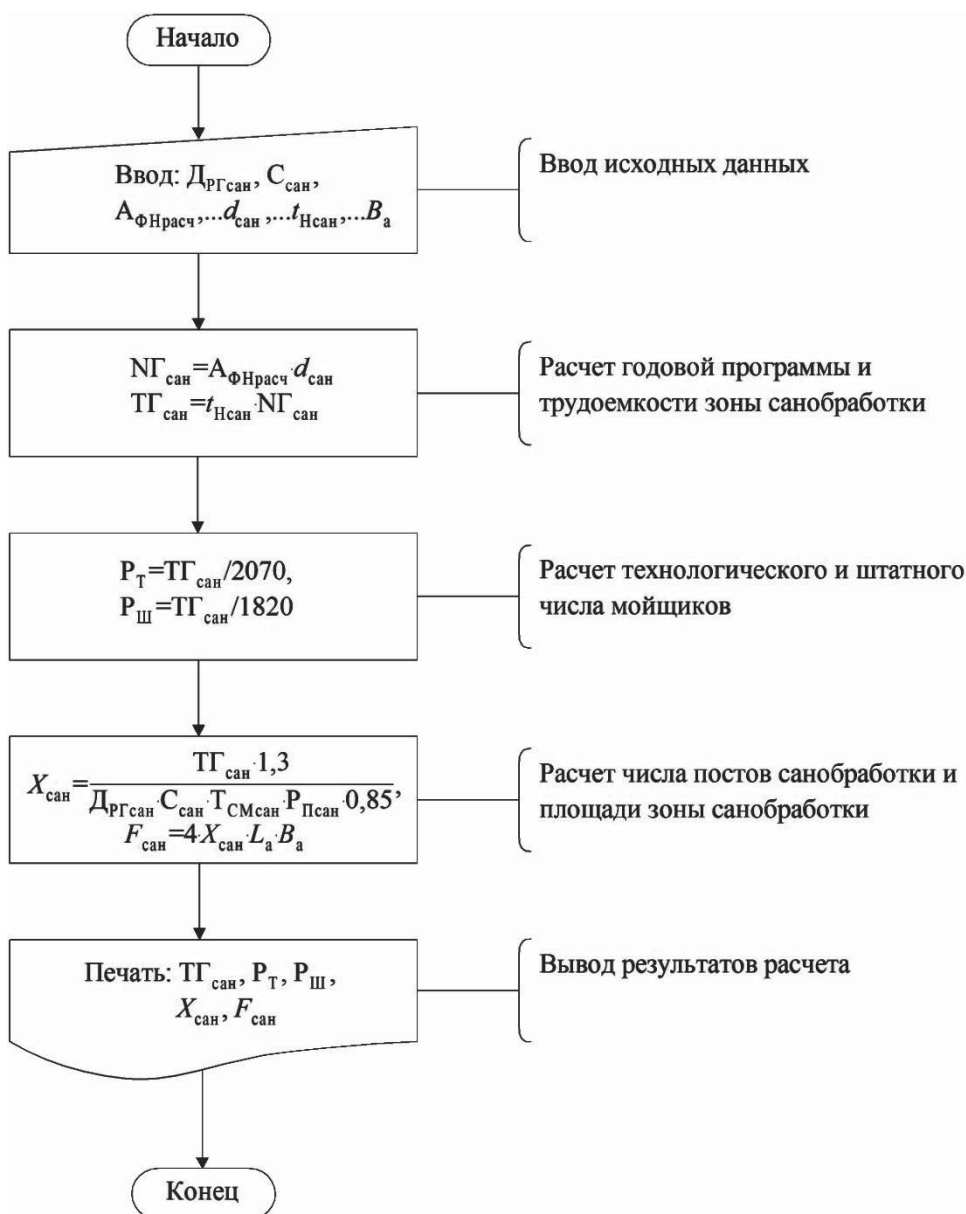


Рис. 6. Схема алгоритма программы Trsanpost

Наименование, ед.	Обозначение	Значение
Число дней работы в году, дн.	$D_{\text{РГсан}}$	357
Число смен работы, смена	$C_{\text{сан}}$	1
Продолжительность смены, ч	$T_{\text{СМсан}}$	7
Число автофургонов, ед.	$A_{\text{ФНрасч}}$	425
Нормативная трудоемкость на одну санитарную обработку, чел. · мин	$t_{\text{Нсан}}$	20
Число заездов одного автомобиля в год на санобработку, заезд	$d_{\text{сан}}$	36
Длина автомобиля	L_a	6,33
Ширина автомобиля	B_a	2,38

проектирования данных зон (годовой объём работ, технологическое и штатное число производственного персонала, площадь зоны).

Основываясь на данных маркетинга для Кургана, определено, что для санобработки фургонов, перевозящих пищевые продукты, необходимо два дополнительных поста при годовой трудоёмкости работ 5000 чел · ч.

Планировка поста санитарной обработки автофургонов

В соответствии с технологией работ, подобранным оборудованием и нормами его размещения [11], выполнено объёмно-планировочное решение поста санитарной обработки автомобильных фургонов (рис. 7).

Пост предназначен для автофургонов от мини (на базе легковых автомобилей) до фургонов на базе грузовых автомобилей средней грузоподъёмности. Пост санобработки I размещен на забетонированной площадке, имеющей уклон для установки автомобиля и стока воды после мойки. Установка фургона с уклоном обеспечивает при дезинфекции и ополаскивании стекание жидкости с пола грузового отсека на площадку и далее по ее уклону в систему слива 4.

Установка для санобработки автофургонов 1 [5] расположена на направ-

ляющих и может передвигаться. В начале установка откатывается в сторону, чтобы обеспечить заезд автомобиля на пост. Дезинфицирующий раствор и подогретая вода для ополаскивания подаются из специально модернизированной установки для мойки двигателей типа К-203 2 [12] с двумя баллонами по 150 л по шлангу 3. Шланг подвешен на специальном устройстве, которое обеспечивает его компактное размещение и сборку; 5 – бак для воды, 6 – резервуар для приготовления дезинфицирующего раствора. Рабочее место оператора-дезинфектора II оснащено столом 8 и отделено от поста I передвижным экраном 7. Это обеспечивает безопасность и комфортную работу человека.

Таким образом, предложенные методика и на ее основе компьютерная программа расчета мощности сервисных зон по санобработке на предприятиях автосервиса с достаточной для проектных целей точностью позволяет быстро рассчитывать число постов и другие необходимые параметры зон санитарной обработки автофургонов. Разработанное планировочное решение поста санобработки может служить типовым вариантом при проектировании аналогичных подразделений предприятий автомобильного сервиса. ■

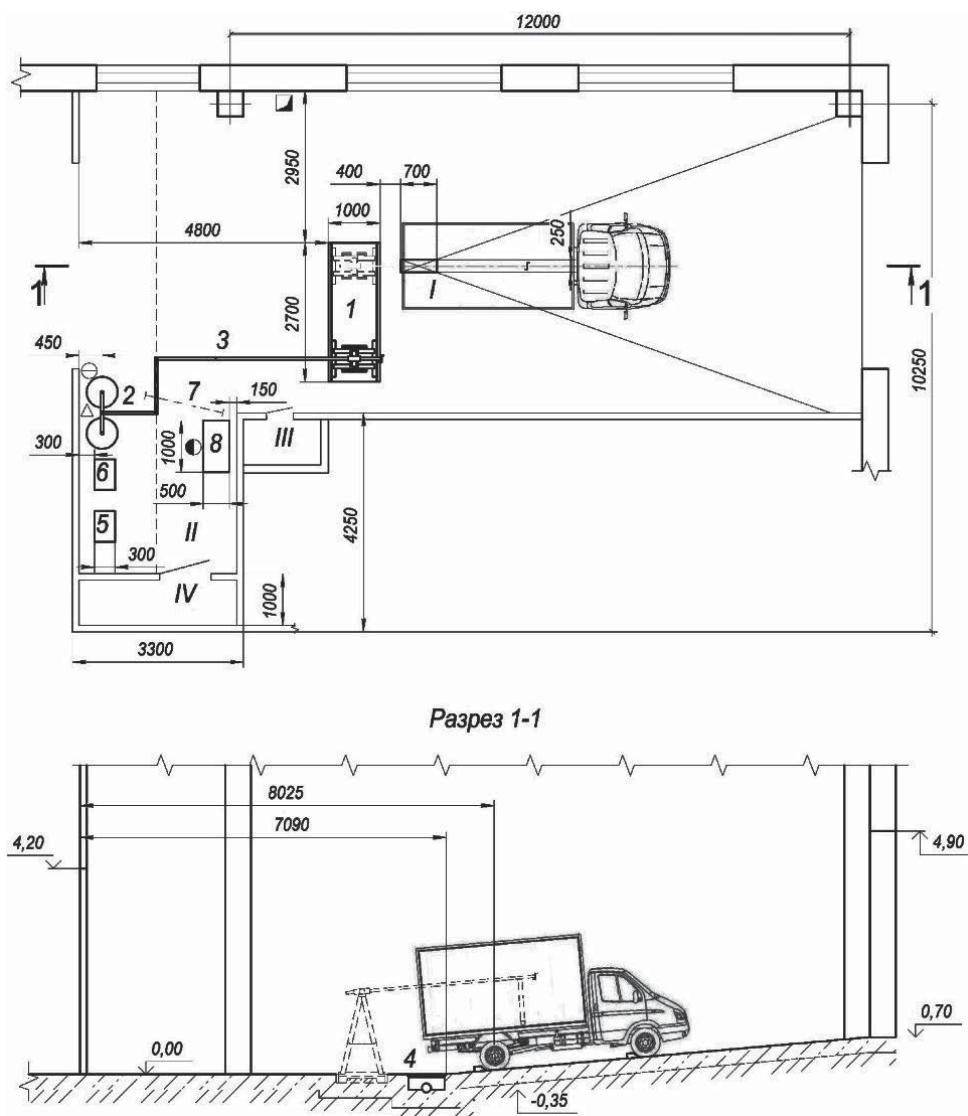


Рис. 7. Планировка поста санитарной обработки фургонов

I – пост санобработки; II – помещение оператора; III – компрессорная;
IV – кладовая химреактивов

1 – установка для санобработки автофургонов; 2 – моечная установка; 3 – шланг;
4 – система слива; 5 – бак для воды; 6 – резервуар для приготовления раствора;
7 – передвижной экран; 8 – стол

Литература

1. СП 2.3.6.1066–01. Санитарно-эпидемиологические требования к организациям торговли и обороту в них продовольственного сырья и пищевых продуктов // Санитарно-эпидемиологические правила. Введ. 2002-01-01. – М. : Минздрав России, 2001. – 36 с.
2. Напольский Г.М. Технологическое проектирование автотранспортных предприятий и станций технического обслуживания : учебник для вузов. – 2-е изд., перераб. и доп. – М. : Транспорт, 1993. – 271 с. ISBN 5-277-01256-7.
3. Рыбин Н.Н. Методика определения производственной мощности зон санитарной обработки автофургонов // Вестник Курганского государственного университета. 2010. № 1 (17). С. 40–42. ISBN 978-5-4217-0032-6.
4. Рыбин Н.Н. Предприятия автосервиса. Производственно-техническая база : учебное пособие. – Курган : Изд-во Курганского гос. ун-та, 2006. – 147 с. ISBN 5-86328-713-6.
5. Рыбин Н.Н., Савельев А.В. Оборудование и технология санитарной обработки автофургонов для перевозки пищевых продуктов // Вестник Курганской ГСХА. 2016. № 3 (19). С. 74–77. ISSN 2227-4227.
6. Завьялов С.Н. Мойка автомобилей. Технология и оборудование. – М. : Транспорт, 1993. – 184 с.
7. Коммерческие автомобили. Каталог. – М. : Изд. дом «Третий Рим», 2006. 170 с. ISBN 5-88924-128-1.
8. Мартыненко А.В., Журавская М.А., Цяо Ц. Оценка времени транспортировки грузов в логистической цепи поставок // Вестник Уральского государственного университета путей сообщения. 2016. № 3 (31). С. 73–81. ISSN 2079-0392.
9. Кодекс Российской Федерации об административных правонарушениях : ФЗ (ред. от 20.12.2017) // СПС КонсультантПлюс.
10. Технологический расчет постов санитарной обработки автофургонов: свидетельство об отраслевой разработке (ОФАП Федерального агентства по образованию). № 9961.
11. ОНТП-01–91. Общесоюзные нормы технологического проектирования предприятий для автомобильного транспорта. – М. : Росавтотранс, Гипроавтотранс, 1991. 183 с.
12. Установка для мойки двигателей М-203 : каталог ООО «Гарокомплект»-2015. URL: <http://garo.ru> (дата обращения: 21.01.2015).

Literature

1. SP 2.3.6.1066–01. Sanitary-epidemiological requirements for trade organizations and turnover of food raw material and food-stuff in them// Sanitary-epidemiological regulations. [Sanitarno-epidemiologicheskije trebovaniya k organizacijam trgovli i oborotu v nih prodovolstvennogo syrja i pishhevyh produktov // Sanitarno-epidemiologicheskije pravila.] Introduction 2002-01-01. – М. : Ministry of Health of the Russian Federation, 2001. – 36 p.
2. Napolskij G.M. Technological engineering of motor transport enterprises and vehicle service stations [Tehnologicheskoe proektirovanije avtotransportnyh predpriyatij i stancij tehničeskogo obsluzhivaniya : uchebnik dlja vuzov] : higher-educational textbook – 2nd edition, revised and enlarged. – М. : Transport, 1993. – 271 s. ISBN 5-277-01256-7.
3. Rybin N.N. Procedures for evaluation of production capacity of zones for sanitary treatment of waggon trucks [Metodika opredeleniya proizvodstvennoj moshchnosti zon sanitarnoj obrabotki avtofurgonov] // Herald (Bulletin) of Kurgan State University. 2010. № 1 (17). P. 40–42. ISBN 978-5-4217-0032-6.
4. Rybin N.N. Car service stations. Production and technical facilities [Predpriyatiya avtoservisa. Proizvodstvenno-tehnicheskaya baza : uchebnoe posobie] : teaching aid. – Kurgan city : Publisher of Kurgan State University, 2006. – 147 p. ISBN 5-86328-713-6.
5. Rybin N.N., Saveljev A.V. Sanitary treatment facilities and technology for food container waggon trucks [Oborudovaniye i tehnologiya sanitarnoj obrabotki avtofurgonov dlya perevozki pishchevyh produktov] // Herald (Bulletin) of Kurgan State Agricultural Academy (SAA). 2016. № 3 (19). P. 74–77. ISSN 2227-4227.
6. Zavjalov S.N. Car-washing. Technology and facilities. [Mojka avtomobilej. Tehnologiya i oborudovaniye]. – М. : Transport, 1993. – 184 p.
7. Commercial motor vehicles [Kommercheskije avtomobili]. Catalogue. – М. : Publishing house «Tretij Rim» («The third Rome»), 2006. 170 p. ISBN 5-88924-128-1.
8. Martynenko A.V., Zhuravskaya M.A., Tsyao Ts. Evaluation of cargo transportation time in a logistical supply chain [Otsenka vremeni transportirovki грузов v logisticheskoy tsepi

- postavok] // Herald of Ural State University of Railway Transport. 2016. № 3 (31). P. 73–81. ISSN 2079-0392.
9. The Code of the Russian Federation on Administrative Offences: Federal Law (revised of 20.12.2017) [Kodeks Rossijskoj Federatsii ob administrativnyh pravonarusheniyah] // Legal Reference Information System «ConsultantPlus».
 10. Technological process design of sanitary treatment of waggon trucks: license on industry design (Brunch Fund of Algorithms and Programs of Federal Agency on Education). [Tehnologicheskij raschet postov sanitarnoj obrabotki avtofurgonov : svidetelstvo ob otraslevoj razrabotke (OFAP Federalnogo agentstva po obrazovaniyu). № 9961].
 11. ONTP-01–91. All-union standards of technological process design of an enterprise for automobile transport.[Obshchesoyuzniye normy tehnologicheskogo proektirovaniya predpriyatij dlya avtomobilnogo transporta.] – M. : Rosavtotrans, Giprovotrans, 1991. 183 p.
 12. Engine washer unit M-203 [Ustanovka dlya moyki dvigatelej M-203]: catalogue LLC «Garokomplekt»-2015. URL: <http://garo.ru> (reference date: 21.01.2015).

Статья сдана в редакцию 15 декабря 2017 года

В.С. Миронов, А.В. Петрушин

К вопросу совершенствования технологии укладки трассы новой железнодорожной линии в условиях высокой сейсмичности

UDC 625.111

V.S. Mironov, A.V. Petrushin

On improvement of a new railway line laying technology in high seismicity conditions

Аннотация

В статье выполнен краткий обзор мирового опыта защиты от сейсмического воздействия зданий и сооружений.

Основные способы борьбы – это выбор наименее сейсмоопасного района для размещения зданий и сооружений либо снижение разрушительных последствий воздействия землетрясений.

В последние годы исследования учёных обращены к сейсмоизоляционным системам, используемым в основном для зданий и локальных сооружений (например, мостов).

Все методы защиты от влияния сейсмичности района проектирования базируются на информации о землетрясениях, получаемой в результате исследований –

сейсмического районирования.

Рассмотрена история создания карт общего сейсмического районирования: от СР-37 до ОСР-2012. На основе прогноза грузопотока [1], активного развития транспортной инфраструктуры Восточного полигона [2] и дальнейших планов России по развитию Дальнего Востока обоснована актуальность проблемы сейсмозащиты трассы железнодорожной линии.

Рассмотрены мероприятия по защите железных дорог от землетрясений. Приведены примеры воздействия землетрясений на транспортную инфраструктуру.

Обоснована актуальность ранее опубликованного исследования по совершенствованию технологии

трассирования и разработке рекомендаций по проектированию трассы железнодорожных линий на косогорных участках в условиях высокой сейсмичности [16].

Ключевые слова: высокая сейсмичность, методика проектирования трассы, однородность основной площадки земляного полотна.

DOI: 10.20291/2079-0392-2018-1-69-77

Abstract

The article represents a short review of international experience in protection against seismic influence on buildings and constructions.

The main ways of protection are the choice of the least seismically dangerous areas for buildings and con-

Статья рекомендована к опубликованию Г.Л. Аккерманом, д-ром техн. наук, профессором кафедры «Путь и железнодорожное строительство» Уральского государственного университета путей сообщения. E-mail: GAKkerman@usurt.ru.

The article is recommended for publishing by G.L. Akkerman, Doctor of Technical Science, Professor, Chair of Railway Track and Railway Construction Ural State university of Railway Transport. E-mail: GAKkerman@usurt.ru.

Виктор Степанович Миронов, канд. техн. наук, профессор; кафедра «Проектирование и строительство железных дорог» Российского университета транспорта (РУТ (МИИТ)); Москва, Россия. E-mail: vsm46@mail.ru.

Алексей Валерьевич Петрушин, инженер; кафедра «Проектирование и строительство железных дорог» Российского университета транспорта (РУТ (МИИТ)); Москва, Россия. E-mail: petrushin1189@gmail.com.

Victor Stepanovich Mironov, Candidate of Technical Science, Professor; Chair of Engineering and Railway Construction, Russia's Transport University (RTU (MIIT)); Moscow, Russia. E-mail: vsm46@mail.ru.

Alexey Valerievich Petrushin, Engineer; Chair of Engineering and Railway Construction, Russia's Transport University (RTU (MIIT)); Moscow, Russia. E-mail: petrushin1189@gmail.com.

structions location or decrease of the earthquakes destructive consequences.

In recent years scientific researches are devoted to the seismic isolation systems used mainly for buildings and local constructions (for example, bridges).

All the methods of protection against the seismic influence in the construction area are based on information on earthquakes obtained as a result of researches – the seismic zoning.

The history of creation of the seismic zoning cards from SR-37 to OSR-2012 is considered. On the basis of the freight traffic forecast [1], the active development of transport infrastructure of the East ground [2] and Russia's further plans on development of the Far East the relevance of seismic protection of the railway line is proved.

Measures protecting railroads against earthquakes are considered. Examples of earthquakes impact on

transport infrastructure are given.

The relevance of the previously published research on improvement of the laying railway technology and development of recommendations on design of railway lines in hillside areas in high seismicity conditions is proved [16].

Keywords: high seismicity, technique of railway design, homogeneity of the main platform of the road formation.

DOI: 10.20291/2079-0392-2018-1-69-77

Землетрясение представляет собой периодические подземные толчки и волновые колебания поверхности Земли. Оно возникает при внезапном освобождении энергии, которая долгое время накапливается в форме упругих напряжений горных пород в результате тектонических процессов в относительно локализованных областях земной коры и верхней мантии. При этом происходит разрыв пород с их взаимным смещением или смятием.

Ежегодно происходит до миллиона землетрясений, большинство из которых лёгкие (1–2 балла по 12-балльной шкале интенсивности Медведева – Шпонхойера – Карника (MSK-64)*, около ста – разрушительной силы (до 8 баллов) и одно может быть катастрофическим (9–10 баллов).

Земная кора состоит из 20 малых и больших тектонических плит, или платформ: Евразийская, Тихоокеанская, Северо-Американская, Южно-Американская, Африканская и др.

Основная территория России находится на Евразийской плите и, по сравнению с другими странами мира, в целом характеризуется умеренной сейсмичностью [3]. Исключения составляют регионы Северного Кавказа, Черномор-

ского побережья, юга Сибири и Дальнего Востока, где интенсивность сейсмических сотрясений достигает 8–9 и 9–10 баллов и более.

Основные способы борьбы – это выбор наименее сейсмоопасного района для размещения зданий и сооружений либо снижение разрушительных последствий воздействия землетрясений. Вторым способ известен с древних времён.

Капитальные постройки инков были сеймостойкими: тщательная и плотная подгонка каменных блоков друг к другу без использования строительных растворов, наклонённые внутрь стены со скруглёнными углами и лёгкие соломенные крыши [4].

В Японии старались максимально облегчить постройки, используя вместо камня древесину и бамбук, а вместо капитальных стен – лёгкие ширмы.

Сегодня в Японии при строительстве используют усиленный железобетон, стальные конструкции и новые технологии сейсмозащиты (это, например, применение каучуковых прокладок в фундаменте зданий, принцип баланса, исправляющего крен здания при землетрясении).

С целью анализа сейсмоустойчивости и прогноза масштаба повреждений объектов инфраструктуры создана модель, имитирующая воздействие землетрясений на железную дорогу [5].

После сильнейших землетрясений в г. Сан-Франциско (США, 1906 г.) была

* Шкала MSK-64 лежит в основе СП 14.13330.2011 «Строительство в сейсмических районах» (актуализированная редакция СНиП II-7-81*. Введен 05.20.2011); используется в России и странах СНГ по настоящее время.

предложена идея управления землетрясениями с помощью закачки воды в поры пород для снижения трения между породами при движении. Дальнейшее развитие идеи предполагает откачку воды для сцепления пород и снятия напряжения в пределах разлома Сан-Андреас (граница между двумя плитами земной коры – Американской и Тихоокеанской) [6].

В последние годы исследования учёных обращены к сейсмоизоляционным системам, используемым в основном для зданий и локальных сооружений (например, мосты: устройство сейсмоизолирующих скользящих поясов, сейсмоизолирующие фундаменты на упругих опорах (здания с гибким нижним этажом, здания на резиновых опорах), на кинематических опорах гравитационного типа, системах сейсмогашения – демпферах [7].

Однако вопросам сейсмозащиты трассы железнодорожной линии внимания уделено недостаточно, что подтверждает актуальность данного вопроса.

Карты общего сейсмического районирования как основной источник информации о возможных землетрясениях

Выбор методов защиты от влияния сейсмичности района проектирования основывается на информации о землетрясениях, получаемой в результате исследований (сейсмическое районирование).

Сейсмическое районирование – это разделение территории, подверженной землетрясениям, на зоны по степени их потенциальной сейсмической опасности, оцениваемой максимальным сейсмическим эффектом, возникающим с известной периодичностью, который может быть превышен (или не превышен) с определённой вероятностью в заданные интервалы времени [8].

Основная проблема современной сейсмологии состоит в том, что она принадлежит к категории прогнозов, базирующихся на неполной информации,

скудном и не всегда удачном опыте, на недостаточно чётких методологических позициях. Поэтому каждая из составленных в прошлые годы карт сейсмического районирования территории СССР в той или иной мере не соответствовала реальным природным условиям, что наряду с некачественным строительством наносило народному хозяйству огромный материальный ущерб и влекло за собой многочисленные человеческие жертвы.

Первая в мире нормативная карта сейсмического районирования была составлена Г.П. Горшковым в Сейсмическом институте (сейчас – Институт физики Земли им. О.Ю. Шмидта РАН (ИФЗ РАН)) и опубликована в 1937 г. (СР-37).

В дальнейшем такие карты в СССР создавались каждые 10 лет и обновлялись по мере поступления новых сведений о сейсмичности и совершенствовании методики оценки сейсмической опасности (карты СР-37, СР-49, СР-57, СР-68, СР-78). Однако всякий раз, когда интенсивность очередного землетрясения существенно превышала прогнозируемый сейсмический эффект, карты фрагментарно подправлялись. В таких случаях составлялись временные схемы (ВС) СР, которые затем вносились в очередную нормативную карту. Конфигурация сейсмических зон постоянно менялась и не всегда в лучшую сторону.

Начиная с 1988 г. почти ежегодно возникали разрушительные землетрясения, на 2–3 балла превышающие сейсмическую интенсивность, указанную на последней на тот момент карте СР-78. Это: Спитакское землетрясение (1988 г., Армения), Зайксанское (1990 г., Казахстан), Рага-Джавское (1991 г., Грузия), Сусамырское (1992 г., Киргизия), Хаилинское и Нефтегорское (1991 г. и 1995 г., Россия – в Корякии и на Сахалине).

Поэтому сразу же после катастрофы в Армении, где погибло свыше 20 тыс. человек, стала очевидна необходимость нового сейсмического районирования территории страны.

В результате исследований ИФЗ РАН (1991–1997 гг.) был создан комплект вероятностных карт – ОСР-97 (А, В, С, D) и составлены карты периодов повторяемости 6-, 7-, 8- и 9-балльных сотрясений. Карты А, В и С предназначены для проектирования и строительства гражданских и промышленных объектов разных категорий ответственности и сроков службы. Они отражают вероятности 90, 95 и 99% непревышения указанного на них сейсмического эффекта в течение 50 лет (т.е. риск возможного превышения соответствует 10, 5 и 1%, а повторяемость сейсмического эффекта в любом пункте зон – в среднем один раз за 500, 1000, и 5000 лет соответственно).

Карта D (непревышение 99,5%) используется при строительстве атомных станций (АС) и других особо опасных объектов.

Карты доказали свою эффективность: прогнозы по землетрясениям в Горном Алтае и в восточной части Северного Кавказа, на границе Чеченской

Республики и Республики Дагестан подтвердились 27 сентября 2003 г. и 11 октября 2008 г. соответственно [9].

На сегодняшний день на смену ОСР-97 создан комплект актуализированных карт общего сейсмического районирования территории РФ ОСР-2012, более точный по геофизической привязке, содержащий расширенный и актуализированный набор карт.

Комплект карт ОСР-2012 характеризует шесть уровней сейсмической опасности (А, В, С, D, E, F) для применения при проектировании и сейсмостойком строительстве объектов разных уровней ответственности и сроков службы.

Степень сейсмической опасности по картам ОСР-2012 соответствует вероятностям 39% (карта А), 10% (карта В), 5% (карта С), 2% (карта D), 1% (карта E) и 0,5% (карта F) возможного превышения (или соответственно вероятностям непревышения 61; 90; 95; 98; 99 и 99,5%) расчётных максимальных значений интенсивности, указанных

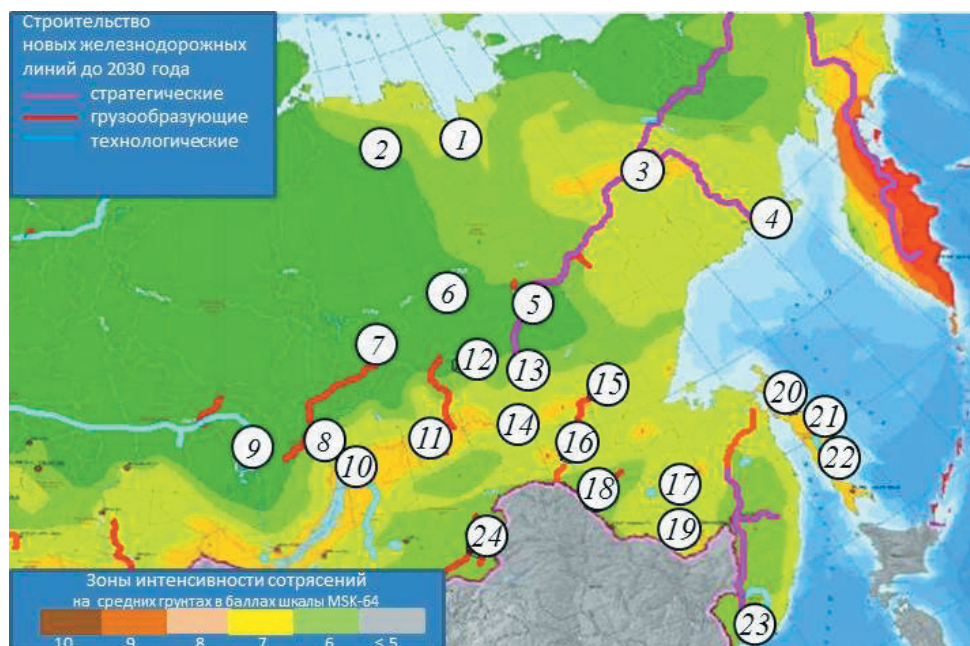


Рис. 1. Карта ОСР-2012-В с нанесёнными на неё направлениями развития сети железных дорог ОАО «РЖД» и очагами природных месторождений 1...24 – очаги природных месторождений

Таблица 1

Очаги природных месторождений

№	Наименование	№	Наименование
1	Енисейский	13	Алданский
2	Оленекский	14	Нерюнгринский
3	Сусуманский	15	Удский
4	Магаданский	16	Гарьский
5	Якутский	17	Ургальский
6	Вилуйский	18	Амурский
7	Мирный	19	Кимканский
8	Верхнеленский	20	Северосахалинский
9	Усть-Илимский	21	Среднесахалинский
10	Северо-Байкальский	22	Лучегорский
11	Чарский	23	Уссурийский
12	Среднеленский	24	Забайкальский

на соответствующих картах, в течение 50-летних интервалов времени.

На карту ОСР-2012-В нанесены крупные очаги природных ресурсов на Дальнем Востоке и перспективные направления строительства новых железнодорожных линий до 2030 г. согласно «Стратегии-2030» ОАО «РЖД» (рис. 1, таблица 1 [11]) [10].

Очевидно, что большинство крупных месторождений расположено в районах с сейсмичностью выше 7 баллов и именно к ним ведут направления новых грузообразующих и стратегических линий.

Учитывая прогнозы по росту грузопотока, активное развитие транспортной инфраструктуры Восточного полигона [2] и дальнейшие планы России по развитию Дальнего Востока, вопросы сейсмозащиты трассы железнодорожной линии следует считать актуальными.

Мероприятия по защите железных дорог от землетрясений

Меры по защите железных дорог от землетрясений регламентированы Сводом правил, который распространяется на область проектирования зданий и сооружений, возводимых в районах сейсмичностью 7, 8 и 9 баллов [12].

На площадках, сейсмичность которых превышает 9 баллов, возводить здания и сооружения, как правило, нельзя. При необходимости строительство на таких площадках допускается при обязательном научном сопровождении и участии специализированной научно-исследовательской организации.

При размещении промышленных и гражданских сооружений следует выбирать территории, характеризующиеся спокойным рельефом, полускальными и плотными крупнообломочными породами, с глубоко залегающими подземными водами. Но на практике это не всегда возможно, поэтому необходимы мероприятия по защите сооружений и устройств от вредного воздействия землетрясений.

Сейсмическое воздействие влияет на железную дорогу не только как статическую систему, состоящую из земляного полотна, верхнего строения пути, контактной сети и т.д., но и как на динамическую – вызывая сбой в движении поездов: при сейсмическом воздействии запрещено движение поездов [13].

Землетрясения оказывают негативное воздействие и на многолетнюю мерзлоту, деформируя насыпи произвольной высоты и конструкции в любое время года [14].

По данным обследования Кирово-канской дистанции пути, после Спитакского землетрясения (7.12.1988) наблюдались повреждения железнодорожного пути [15]: нарушения положения рельсовой колеи в плане и профиле при просадках земляного полотна на высоких насыпях, особенно на подходах к устоям мостов и на подходах насыпей в скальные выемки (рис. 2); деформации земляного полотна (обвалы и срывы откосов выемок, верховых откосов полувыемок, а также низовых откосов полувыемок и откосов насыпей; осыпи щебёночных, галечных и мелко-обломочных грунтов; осадки земляного полотна на отдельных участках, в том числе на подходах к мостам; трещины в скальных откосах выемок и полувыемок; трещины в основной площадке, рыхлых грунтах откосов насыпей и полувыемок, а также в отдельных местах, например, в балластной призме (рис. 3);

сдвиг земляного полотна станционной площадки вниз по косогору. При этом произошли осадки земляного полотна до 5 м на протяжении 350 м; завалы пути горной породой в результате обрушения откосов скальных выемок и крутых скальных косогоров; повреждения мостов, труб и тоннелей (рис. 4).

В районах сейсмичностью 7, 8 и 9 баллов, как правило, следует обходить трассой особо неблагоприятные в инженерно-геологическом отношении участки, в частности, зоны возможных обвалов, оползней и лавин, но в тех случаях, когда это сделать невозможно или нецелесообразно, трассирование дорог по нескальным косогорам с крутизной откоса более 1:1,5 допускается на основании результатов специальных инженерно-геологических изысканий. При расчетной сейсмичности 9 баллов и высоте насыпей (глубине выемок) более 4 м откосы земляного полотна из нескальных



Рис. 2. Смещение рельсошпальной решётки 1 в сторону откоса полунасыпи [15]

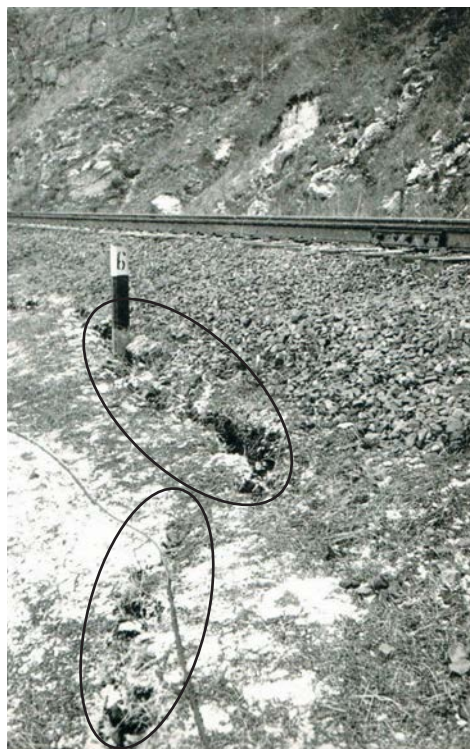


Рис. 3. Трещина по обочине полунасыпи [15]



Рис. 4. Повреждение опоры моста подъездного пути к сахарному заводу в Спитаке [15]

грунтов следует принимать на 1:0,25 положе откосов, проектируемых для несейсмических районов. Откосы крутизной 1:2,25 и менее крутые допускается проектировать по нормам для несейсмических районов.

При сейсмичности 7 и 8 баллов на рыхлых, неустойчивых породах не рекомендуется возводить насыпи выше 20 м и устраивать выемки глубже 15 м. При сейсмичности 9 баллов не разрешается строить насыпи выше 15 м и выемки глубже 12 м.

Трасса железнодорожной линии по возможности должна избегать мест, где проявляются размывы склонов, селевые потоки, обвалы. Осыпи рекомендуется преодолевать эстакадами [12].

При устройстве земляного полотна на косогорах основную площадку, как правило, следует размещать или полностью на полке, врезанной в склон, или целиком на насыпи, избегать устройства полунасыпей-полувыемочек как наименее устойчивых сооружений. Протяженность

переходных участков должна быть минимальной.

Этому вопросу посвящено исследование авторов, цель которого заключается в совершенствовании технологии трассирования и разработке рекомендаций по проектированию трассы железнодорожных линий на косогорных участках в условиях высокой сейсмичности [13].

Нами предложено располагать трассу на косогорных участках в пределах «коридора», ограниченного линиями, при которых обеспечивается однородность основной площадки земляного полотна. Даны рекомендации по рациональной корректировке плана и проектной линии на различных стадиях проектирования [16].

Выполненные исследования позволяют произвести обоснованную укладку трассы новых железнодорожных линий в условиях высокой сейсмичности с учётом требований нормативной документации по защите от землетрясений.

На основе вышеизложенного и анализа карт ОСР–2012, расположения крупных очагов природных ресурсов на Дальнем Востоке, а также перспективных направлений строительства новых железнодорожных до 2030 г. можно сделать следующие выводы:

сейсмозащита транспортной инфраструктуры крайне важна в условиях активного развития Восточного полигона и Дальнего Востока РФ;

вопрос укладки трассы в районах с высокой сейсмичностью недостаточно исследован и требует к себе пристального внимания;

исследование по разработке технологии проектирования трассы железнодорожных линий на косогорных участках в условиях высокой сейсмичности является актуальным и, по мнению авторов, может найти практическое применение как на стадии проекта новой железнодорожной линии, так и разработке рабочих чертежей. ■

Литература

1. Пехтерев Ф.С. Основные направления актуализации генеральной схемы развития железнодорожного транспорта до 2020 года. URL: <http://iert.com.ru/images/Pehterev.pdf> (дата обращения: 30.10.2017).
2. Семёнова Е.С., Шитикова А.М., Громышова С.С. Развитие Восточного полигона / Транспортная инфраструктура сибирского региона : м-лы Восьмой междунаrodn. науч.-практ. конф., 28.03–1.04. 2017, Иркутск ; В 2 т. – Иркутск : ИрГУПС, 2017. Т. 1. С. 162–166.
3. Шестопёров В.Г. Сейсмическое микрорайонирование участков строительства мостов : дис... на соиск. уч. ст. канд. техн. наук. – М. : 2006. 104 с.
4. Сукозников Т.В. Специальная сейсмозащита железнодорожных мостов : дис. ... на соиск. уч. ст. канд. техн. наук. – СПб, 2017. 155 с.
5. RTRI: реализация программы Research 2020 / Железные дороги мира № 3-2017. С. 68–71. ISSN 0321-1495.
6. Шульгин Д.И., Гладков В.Г., Никулин А.И., Подвербный В.А. Инженерная геология для строителей железных дорог : учебник для вузов ж.-д. трансп. / под ред. Д.И. Шульгина, В.А. Подвербного – М. : Желдориздат, 2002. С. 155–161. ISBN 5-94069-032-7.
7. Меркурьев Ю.С., Алпысова В.А. Влияние демпфирующего слоя на сейсмостойчивость пути // Путь и путевое хозяйство. №5. 2015. С. 19–20. ISSN 0033-4715.
8. Уломов В.И. К вопросу стандартизации норм и правил сейсмического районирования для сейсмостойкого строительства в Российской Федерации // Инженерные изыскания. 2015. № 10–11. С. 6–17. ISSN 1997-8650.
9. Уломов В.И., Богданов М.И. Новый комплект карт общего сейсмического районирования территории Российской Федерации (ОСР-2012) // Инженерные изыскания. № 8. 2013. С. 30–39. ISSN 1997-8650.
10. Стратегия развития железнодорожного транспорта в Российской Федерации до 2030 года. URL: <http://doc.rzd.ru/doc/public/> (дата обращения: 31.05.2016).
11. Быков Ю.А., Мудров П.В., Турбин И.В. Грузообразующие железные дороги – решение важнейших государственных проблем экономического освоения новых регионов // Транспортное строительство. 2013. № 1. С. 11–15. ISSN 0131-4300.
12. Свод правил. СП 14.13330.2014. Строительство в сейсмических районах. Актуализированная редакция СНиП II-7-81*. 131 с. URL: <http://docs.cntd.ru/> (дата обращения: 31.05.2016).
13. Петрушин А.В. Особенности проектирования трассы в районах с высокой сейсмичностью // Сб. тр. «Инженерные сооружения на транспорте». Вып. № 5. М. : МИИТ, 2013. С. 101–102.
14. Гаврилов И.И. Причины деформаций земляного полотна после землетрясений // Путь и путевое хозяйство. № 5. 2015. С. 16–18. ISSN 0033-4715.
15. Коншин Г.Г. Отчёт о командировке в Армению в район железнодорожной линии Кировокан – Ленинакан. М. : ВНИИЖТ, 1988. С. 35–38.
16. Миронов В.С., Петрушин А.В. Рекомендации по укладке трассы новой железнодорожной линии в условиях высокой сейсмичности // Вестник УрГУПС. 2016. № 3 (31). С. 98–107. ISSN 2079-0392.

Literature

1. Pekhterev F.S. Guidelines of actualization of railway transport general development plan through the year of 2020 [Osnovnyje napravleniya aktualizatsii generalnoj skhemy razvitiya zheleznodorozhnogo transporta do 2020 goda]. URL: <http://iert.com.ru/images/Pehterev.pdf> (reference date: 30.10.2017).
2. Semyonova E.S., Shitikova A.M., Gromyshova S.S. Development of the Eastern testing ground / Transport infrastructure of the Siberian region [Razvitije Vostochnogo poligona / Transportnaya infrastruktura sibirskogo regiona] : materials Of VIII international scientific and practical conference., 28.03–1.04. 2017, Irkutsk ; In 2 v. – Irkutsk : IrGUPS, 2017. V. 1. P. 162–166.
3. Shestoperov V.G. Seismic microzoning of bridge construction sections [Sejsmicheskoje mikrorayonirovaniye uchastkov stroitelstva mostov] : dissertation in support of candidature for a technical degree. – M. : 2006. 104 p.

4. Sukonnikova T.V. Special seismic protection of railway bridges [Spetsialnaya sejsmozashchita zheleznodorozhnyh mostov]: dissertation in support of candidature for a technical degree. – SPb, 2017. 155 p
5. RTRI: realization of the program Research 2020 [RTRI: realizatsiya programmy Research 2020] / Railways of the World № 3-2017. P. 68–71. ISSN 0321-1495.
6. Shulgin D.I., Gladkov V.G., Nikulin A., Podverbny V.A. Engineering geology for railway builders: textbook for railway higher schools [Inzhenernaya geologiya dlja stroitelej zheleznyh dorog] / edited by D.I. Shulgin, V.A. Podverbny – M.: Zheldorizdat, 2002. P. 155–161. ISBN 5-94069-032-7.
7. Merkuriev Yu.S., Alpysova V.A. Effect of shock-absorbing layer on track seismic stability // Track and track facilities [Vliyanie dempfiruyushchego sloya na sejsmoustojchivost puti // Put i putevoje hozyajstvo]. № 5. 2015. P. 19–20. ISSN 0033-4715.
8. Ulomov V.I. On standardization of norms and regulations of seismic – risk zoning for earthquake resistant construction in the Russian Federation [K voprosu standartizatsii norm i pravil sejsmicheskogo rajonirovaniya dlya sejsmostojkogo stroitelstva v Rossijskoj Federatsii] // Engineering investigations. 2015. № 10–11. P. 6–17. ISSN 1997-8650.
9. Ulomov V.I., Bogdanov M.I. A new map outfit of general seismic-risk zoning of the Russian Federation territory (OSR-2012) [Novyj komplekt kart obshchego sejsmicheskogo rayonirovaniya territorii Rossijskoj federatsii] // Engineering investigations. № 8. 2013. P. 30–39. ISSN 1997-8650.
10. Strategy of railway transport development in the Russian Federation through the year of 2030 [Strategiya razvitiya zheleznodorozhnogo transporta v Rossijskoj Federatsii do 2030 goda]. URL: <http://doc.rzd.ru/doc/public/> (date reference: 31.05.2016).
11. Bykov Yu.A., Mudrov P.V., Turbin I.V. Cargo-generating railways – solving of the most important governmental problems of economic basis of new regions [Gruzoobrazuyushchije zheleznyje dorogi – reshenie vazhnejshih gosudarstvennyh problem ekonomicheskogo osvoeniya novyh regionov] // Transport construction. 2013. № 1. P. 11–15. ISSN 0131-4300.
12. Code specification. CS 14.13330.2014. Construction in seismic regions. Actualized edition [Svod pravil. SP 14.13330.2014. Stroitelstvo v sejsmicheskikh rayonah. Aktualizirovannaya redaktsiya SNiP II-7-81] CHиП II-7-81*. 131 p. URL: <http://docs.cntd.ru/> (reference date: 31.05.2016).
13. Petrushin A.V. Special features of designing location in areas with high seismicity [Osobennosti proektirovaniya trassy v rajonah s vysokoj sejsmichnostyu] // Collected works. «Engineering structures on transport». Issue № 5. M. : MIIT, 2013. P. 101–102
14. Gavrilov I.I. Factors of deformation of roadbed after earthquakes [Prichiny deformatsij zemlyanogo polotna posle zemletryasenij] // Track and track facilities. № 5. 2015. P. 16–18. ISSN 0033-4715.
15. Konshin G.G. The Report on a business trip to Armenia to Kirovokan-Leninakan railway line area [Otchyot o komandirovke v Armeniyu v rayon zheleznodorozhnoj linii Kirovokan – Leninakan.]. M. : VNIIZT, 1988. P. 35–38.
16. Mironov V.S., Petrushin A.V. Recommendations on new railway line laying under high seismicity [Rekomendatsii po ukladke trassy novej zheleznodorozhnoj linii v usloviyah vysokoj sejsmichnosti] // Herald of USURT. 2016. № 3 (31). C. 98–107. ISSN 2079-0392.

Статья сдана в редакцию 8 ноября 2017 года

Аспирантская тетрадь

УДК 331.108.2

Т.К. Чернушевич

Графоаналитическая модель распределения рисков в организационных сетях

UDC 331.108.2

T.K. Chernushevich

Graphic-analytical model of risks distribution in organizational networks

Аннотация

В статье рассмотрены основные идеи теории модельных представлений о формировании сети и взаимодействии субъектов права в сетевой организационной структуре, функционирующей в условиях неопределенности.

Предложена графоаналитическая модель сетевой организации, в которой отражены основные представления о влиянии рисков внешней и внутренней среды на взаимодействие и функционирование хозяйствующих субъектов организационно-экономического поля сети. Основой такого графоаналитического представления служат радиально-планетарная модель и модель с разделенными интересами. В работе изложены некоторые принципы построения риск-менеджмента сетевой организации.

Предложено организационно-экономическое поле сети делить на два типа (две подсети): в первом типе взаимоотношения построены на вещном праве и наличии распорядительного воздействия, а во втором – на договорном праве со слабо выраженным распорядительным воздействием.

Ключевые слова: организационная сеть, хозяйствующий субъект, сетевые организационные структуры, риск, случайные процессы, риски в сетях, сетевая экономика, риск-менеджмент.

DOI: 10.20291/2079-0392-2018-1-78-83

Abstract

The article regards the main ideas of the model perceptions of a network formation and interaction of legal entities in the network organizational structure functioning in conditions of uncertainty.

The graphic-analytical model of the network organization is offered. The model reflects the main ideas on the external and internal risks influencing the interaction and functioning of economic entities of the economic and organizational network field.

This graphic-analytical representation is based on the radial planetary model and the shared interests model. Some principles of risk management of a network organization are stated in the paper. It offers to divide the economic and organizational field of the network in two types (two subnets): the first type relationships are based on the proprietary right and administrative influence while the second type relationships are built on the contract law with poorly expressed administrative influence.

Keywords: organizational network, economic entity, network organizational structures, risk, casual processes, risks in networks, network economy, risks management.

DOI: 10.20291/2079-0392-2018-1-78-83

Статья рекомендована к опубликованию В.М. Сай, д-ром техн. наук, профессором кафедры «Путь и железнодорожное строительство» Уральского государственного университета путей сообщения. E-mail: vsay@usurt.ru

The article is recommended for publishing by V.M. Say, Doctor of Technical Science, Professor, Chair of Railway Track and Railway Construction Ural State University of Railway Transport. E-mail: vsay@usurt.ru

Таисия Константиновна Чернушевич, аспирант; кафедра «Путь и железнодорожное строительство» УрГУПС; Екатеринбург, Россия. E-mail: tk_ch@mail.ru.

Taisiya Konstantinovna Chernushevich, Postgraduate; Chair of Railway Track and Railway Construction, USURT; Ekaterinburg, Russia. E-mail: tk_ch@mail.ru

Развитие и функционирование социально-экономических систем базируются на сетевых организациях. Сетевой подход к формированию структуры предприятий позволяет повысить в глобальном экономическом пространстве их гибкость и конкурентоспособность. Хотя он не исключает возникновения негативных внешних и внутренних факторов, влияющих на стабильную работу как хозяйствующих субъектов, входящих в сеть, так и сети в целом.

Необходимость в противостоянии неблагоприятным факторам приводит к тому, что процесс формирования сетевых структур не ограничивается лишь их организацией. Неотъемлемая часть формирования сети – четкий регулирующий процесс, благодаря которому все элементы надежно и эффективно работают в организационно-экономическом поле. А так как этот процесс происходит в рыночных условиях, то необходимо учитывать характерную особенность рыночной экономики, а именно, наличие обстоятельства неопределенности. Другими словами, результаты действий не являются предопределенными, а степень возможного влияния множества факторов на результаты неизвестна.

При выполнении настройки сети в условиях неопределенности происходит неизбежное столкновение с риском [1–5] как с опасностью случайного характера. Правильно же организованный процесс формирования сети, в котором учтен фактор риска, становится залогом ее благополучного функционирования.

Теоретические аспекты формирования, настройки и функционирования организационной сети исследованы в работах [6–11]. Однако в этих исследованиях при формировании организационных сетей не учтено влияние случайных процессов на производственно-хозяйственную деятельность как хозяйствующих субъектов, входящих в сеть, так сети в целом.

Воспользуемся ранее упомянутыми научными наработками и рассмотрим

формирование, настройку и функционирование сети с точки зрения наличия фактора риска.

В настоящем исследовании рассмотрены сети, сформированные вокруг крупной компании – интегратора (зонтичные сети). Этот выбор обусловлен тем, что такие сети, как правило, определяют как развитие отраслей, на базе которых они созданы, так и субъектов Федерации, на которых размещены элементы сети.

Несмотря на осознание наличия риска при взаимодействии субъектов права в организационно-экономическом поле сети, комплексного подхода к его определению в настоящее время нет.

А значит, возникает насущная необходимость теоретических исследований, направленных на организацию сетевых организационных структур с учетом рисков как в элементах сети, так сети в целом.

Одна из важнейших задач при разработке теоретических аспектов сетевого взаимодействия – разработка графоаналитической модели (образного представления) возникновения рисков и управлении ими в сетевых организационных структурах.

В работе под риском, возникающим в сетевой организации, будем понимать вероятность невыполнения хозяйствующим субъектом своих договорных обязательств перед интегратором, иными субъектами права и субъектами рынка. Отметим, что причиной невыполнения своих договорных обязательств может быть как сам субъект, так и его экономическое окружение, прямо или косвенно влияющие на его производственную деятельность.

Каждый субъект организационной сети одновременно может стать источником возникновения риска из-за его технико-экономического (внутреннего) состояния и его адресатом по причине невыполнения иным субъектом права своих договорных обязательств по отношению к нему. Следовательно, риски взаимодействия в организационной

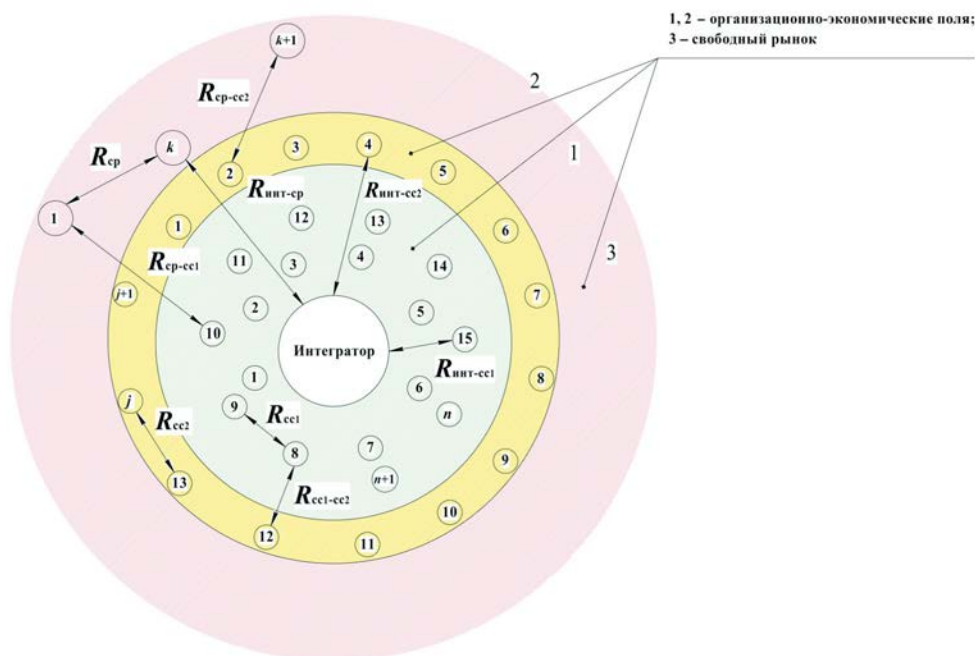
сети являются ориентированными (направленными).

Анализ вышесказанного позволяет предложить следующую графоаналитическую модель распределения риска в организационной сети (рис.).

Авторское видение распределения риска предполагает два сетевых организационно-экономических поля и свободный рынок. Первый тип включает в себя субъекты, созданные (привлеченные) интегратором на вещном праве для обслуживания сети, и характеризуется наличием организационно-распорядительного воздействия со стороны интегратора. В первом типе организационно-экономического поля риск

в большей мере находится под контролем интегратора, и при его оценке возможно прогнозировать ущерб, причиненный интегратору от взаимодействия с его окружением.

Организационно-экономическое поле второго типа объединяет субъекты, основанные на договорном праве, свободно поставляющие продукцию (услугу) как в сеть, так и на рынок. Особенность этого организационно-экономического поля заключается в том, что система не замкнута, и все субъекты могут взаимодействовать с внешней средой (рынком), а внешняя среда, как правило, оказывает случайное воздействие на элементы, что служит причиной



Графоаналитическая модель распределения риска в организационной сети

$R_{ср}$ – межсубъектный риск взаимодействия элементов рынка; $R_{ср-ср2}$ – межсубъектный риск взаимодействия элемента рынка и элемента 2-го организационно-экономического поля; $R_{ср-ср1}$ – межсубъектный риск взаимодействия элемента рынка и элемента 1-го организационно-экономического поля; $R_{ср2}$ – межсубъектный риск взаимодействия элементов 2-го организационно-экономического поля; $R_{ср1-ср2}$ – межсубъектный риск взаимодействия элементов 1-го и 2-го организационно-экономических полей; $R_{ср1}$ – межсубъектный риск взаимодействия элементов 1-го организационно-экономического поля; $R_{инт-ср1}$ – риск взаимодействия интегратора с элементом 1-го организационно-экономического поля; $R_{инт-ср2}$ – риск взаимодействия интегратора с элементом 2-го организационно-экономического поля; $R_{инт-ср}$ – риск взаимодействия интегратора с элементом рынка

появления неблагоприятных исходов событий в сети, то есть рисков. Усугубляется сложившаяся ситуация тем, что со стороны интегратора в большей мере проявляется организационное воздействие при слабо выраженном распорядительном воздействии, в итоге в сети могут возникать критические ситуации, на которые интегратор не может оперативно повлиять.

Внешнее окружение сетевой структуры – свободный рынок. Его отличительные особенности – хаотичное выстраивание взаимодействия хозяйствующих субъектов с целью реализации своих экономических интересов; нарастающая конкуренция при обмене товарами (услугами), а также значительное влияние макроэкономических процессов на элементы рынка. Все это приводит к условиям, формирующим нестабильную динамическую среду со сложнопрогнозируемым результатом. В такой обстановке неопределенности зарождаются риски, влияющие как на деятельность субъектов рынка, так и на сетевую организацию в целом, работающую с такими субъектами.

Предлагаемое автором графоаналитическое представление учитывает неблагоприятное влияние со стороны свободного рынка, что, безусловно, отразится в последующей формализации риска сетевой организации.

Основой предложенного графоаналитического представления служат радиально-планетарная модель организационной сети [12] и модель организационной сети с разделенными интересами [13].

С математической точки зрения, предложенное видение распределения риска в сети можно считать ориентированным графом с помеченными ребрами и вершинами. По каждому ребру графа (цепочке взаимодействия) происходит движение потока ресурсов (организационных, материальных, финансовых, информационных), а каждая вершина рассматриваемого графа представляет собой хозяйствующий субъект.

В качестве математического аппарата для построения такой модели представляется наиболее естественным использовать известный математический аппарат имитационного моделирования, теории графов и сетевых структур [14–16]. Применение такого математического аппарата в исследовании рисков организационных сетей открывает дополнительные возможности по учету факторов и условий, которые трудно или вообще невозможно учесть при аналитических исследованиях, а именно, наличие дискретных и непрерывных элементов, нелинейные зависимости функционирования системы, многочисленные случайные воздействия.

Итак, в предложенной графоаналитической модели изложены основные идеи теории модельных представлений о распределении риска при взаимодействии хозяйствующих субъектов в сетевой организационной структуре.

Следующим этапом в решении поставленной задачи является формализация показателей (R_{cp} ; R_{cp-cc2} ; R_{cp-cc1} ; R_{cc2} ; $R_{cc1-cc2}$; R_{cc1} ; $R_{инт-cc1}$; $R_{инт-cc2}$; $R_{инт-cp}$), определяющих риск в сети. ■

Литература

1. Alquier A.M.B., Tignol M.H.L. Risk Management in Small and Medium-sized Enterprises. Production Planning & Control. № 17 (3). 2014 Pp. 273–282. ISSN 0953-7287.
2. Altman E., Sabato G., Wilson N. The Value of Qualitative Information in SME Risk Management. CMRC, Leeds University Business School, UK. http://people.stern.nyu.edu/ealtman/SME_EA_GS_NW.pdf (reference date: 18.01.2018).
3. COSO (Committee of Sponsoring Organizations of the Tread way Commission). Enterprise Risk Management – Integrated Framework, Vol. 2. <http://www.coso.org/erm-integratedframework.htm> (reference date: 25.01.2018).
4. Garatwa W., Bollin C. Disaster Risk Management: Working Concept. Deutsche Gesellschaft für Technische Zusammenarbeit (GTZ), Eschborn. <http://www2.gtz.de/dokumente/bib/02-5001.pdf> (reference date: 13.01.2018).

5. Iskanius P. (2009). Risk Management in ERP Project in the Context of SMEs. Engineering Letters, 17 (4). <http://web.nchu.edu.tw/pweb/users/arborfish/lesson/8613.pdf> (reference date: 13.01.2018).
6. Патюрьел Р. Создание сетевых организационных структур // Проблемы теории и практики управления. 1997. № 3. С. 76–81.
7. Сай В.М. Формирование организационных структур управления : монография. – М. : ВИНТИ РАН, 2002. 437 с. ISBN 900242-307.
8. Владимирова И.Г. Компании будущего: организационный аспект // Менеджмент в России и за рубежом. 1999. № 2. С. 58–72.
9. Громов И.Д., Сай В.М. Моделирование взаимоотношений хозяйствующих субъектов элементарной организационной сети с разделенными интересами // Современные проблемы транспортного комплекса России. 2013. № 3. С. 199–208. ISSN 2222-9396.
10. Антропов В.А., Громов И.Д. Организационные показатели взаимодействия хозяйствующих субъектов промышленности в сети с разделенными интересами // Вестник УрГУПС. 2015. № 1. С. 29–37. ISSN 2079-0392.
11. Громов И.Д. Формализация и настройка организационных сетей с разделенными интересами // Вестник РГУПС. 2015. № 2 (58). С. 80–89. ISSN 0201-727X.
12. Сай В.М., Сизый С.В. Образование, функционирование и распад организационных сетей : монография. – Екатеринбург : УрГУПС, 2011. 270 с. ISBN 978-5-94614-199-4.
13. Громов И.Д. Алгоритм поддержки управленческих решений в сетях с разделенными интересами // Транспорт: наука, техника, управление. 2013. № 5. С. 83–94. ISSN 0236-1914.
14. Бассакер Р., Саати Т. Конечные графы и сети / Пер. с англ. – М. : Наука, 1973. 368 с.
15. Ramos P.P. Network Models for Organizations: The Flexible Design of 21st Century Companies. Palgrave Macmillan, 2011. 192 p. ISBN 10-0-23032-016-3.
16. Филлипс Д., Гарсия-Диас А. Методы анализа сетей. – М. : Мир, 1984. 496 с.

Literature

1. Alquier A.M.B., Tignol M.H.L. Risk Management in Small and Medium-sized Enterprises. Production Planning & Control. № 17 (3). 2014. Pp. 273–282. ISSN 0953-7287.
2. Altman E., Sabato G., Wilson N. The Value of Qualitative Information in SME Risk Management. CMRC, Leeds University Business School, UK. http://people.stern.nyu.edu/ealtman/SME_EA_GS_NW.pdf (reference date: 18.01.2018).
3. COSO (Committee of Sponsoring Organizations of the Tread way Commission). Enterprise Risk Management – Integrated Framework, Vol. 2. <http://www.coso.org/erm-integratedframework.htm> (reference date: 25.01.2018).
4. Garatwa W., Bollin C. Disaster Risk Management: Working Concept. Deutsche Gesellschaft für Technische Zusammenarbeit (GTZ), Eschborn. <http://www2.gtz.de/dokumente/bib/02-5001.pdf> (reference date: 13.01.2018).
5. Iskanius P. (2009). Risk Management in ERP Project in the Context of SMEs. Engineering Letters, 17 (4). <http://web.nchu.edu.tw/pweb/users/arborfish/lesson/8613.pdf> (reference date: 13.01.2018).
6. Paturelle R. Initiation of network organizational structures [Sozdaniye setevykh organizatsionnykh struktur] // Problems of management theory and practice [Problemy teorii i praktiki upravleniya]. 1997. № 3. P. 76–81.
7. Say V.M. Formation of organizational management structures [Formirovaniye organizatsionnykh struktur upravleniya] : monograph. – M. : VINITY RAN, 2002. 437 p. ISBN 900242-307.
8. Vladimirova I.G. Companies of future: organizational aspect [Kompanii budushchego: organizatsionnyy aspekt] // Management in Russia and abroad [Menedzhment v Rossii i za rubezhom]. 1999. № 2. P. 58–72.
9. Gromov I.D., Tsay V.M. Simulation of relationship of elementary organizational network economic subjects with separate interests [Modelirovaniye vzaimootnoshenij hozyajstvuyushchih subjektov elementarnoj organizatsionnoj seti s razdelennymi interesami] // Modern problems of Russia's transport complex [Sovremennyye problemy transportnogo kompleksa Rossii]. 2013. № 3. P. 199–208. ISSN 2222-9396.
10. Antropov V.A., Gromov I.D. Organizational indicators of interaction of economic industrial subjects in a network with separate interests [Organizatsionnye pokazateli vzaimodejstviya

- hozyajstvuyushchih subjektov promyshlennosti v seti s razdelennymi interesami] // Herald of USURT. 2015. № 1. V. 29–37. ISSN 2079-0392.
11. Gromov I.D. Formalization and adjustment of organizational networks with separate interests [Formalizatsiya i nastrojka organizatsionnyh setej s razdelennymi interesami] // Herald of USURT. № 2 (58). P. 80–89. ISSN 0201-727X.
 12. Say V.M., Sizy S.V. Formation, functioning and disintegration of organizational networks [Obrazovaniye, funktsionirovaniye i raspad organizatsionnyh setej] : monograph. – Ekaterinburg: USURT, 2011. 270 p. ISBN 978-5-94614-199-4.
 13. Gromov I.D. Algorhythm of managerial decisions support in networks with separate interests [Algoritm podderzhki upravlencheskih reshenij v setyah s razdelennymi interesami] // Transport: science, technology, management. 2013. № 5. P. 83–94. ISSN 0236-1914.
 14. Bassaker R., Saathy T. Finite graphs and networks [Konechnye grafy i seti] / Transl. from English. – M. : Science, 1973. 368 p.
 15. Ramos P.P. Network Models for Organizations: The Flexible Design of 21st Century Companies. Palgrave Macmillan, 2011. 192 p. ISBN 10-0-23032-016-3.
 16. Phillips D., Garcia-Dias A. Methods of network analysis [Metody analiza setej]. – M. : World, 1984. 496 p.

Статья сдана в редакцию 3 февраля 2018 года

УДК 656.078

М.А. Сабанов

Методы преобразования географических данных о транспортной сети

UDC 656.078

М.А. Sabanov

Methods of transformation of geographical data on transport network

Аннотация

Рассмотрена проблема преобразования свободно распространяемых банков географических данных, содержащих сведения о транспортных сетях в графы, пригодные для дальнейшего анализа.

Проведен анализ существующих методов обработки и анализа данных о транспортных сетях. Выявлены недостатки, присущие всем рассмотренным методам и обусловленные характером географических сведений о транспортных сетях. Такими недостатками являются избыточность исходных данных, необходимость ручной обработки большого количества информации и наличие ошибок в исходных банках данных.

Выделены пять основных групп наиболее распространенных ошибок и специфических особенностей представления географических данных в геоинформационных системах.

Разработан алгоритм преобразования географической информации в двумерный граф. Описаны ключевые этапы его работы, позволяющие устранить выделенные недостатки исходных данных.

Проведена оптимизация полученного алгоритма при помощи внедрения пространственного индексирования, что позволило существенно снизить количество элементарных вычислений, необходимых для обработки исходных данных.

Приведены примеры результатов обработки данных о транспортной сети автомобильных дорог Свердловской области, полученные после применения реализации алгоритма преобразования на базе СУБД и реляционной базы данных.

Проведен первичный анализ полученных результатов и определено направление дальнейших исследований.

Ключевые слова: географические данные, транспортная сеть, анализ, обработка данных, граф, алгоритм.

DOI: 10.20291/2079-0392-2018-1-84-90

Abstract

The article considers the problem of transformation of freely extended banks of the geographical data containing information on transport networks in graphs suitable for the further analysis is considered.

The analysis of the existing methods of analytical processing of data on transport networks was conducted. The shortcomings inherent to all the considered methods and resulting from the nature of geographical data on transport networks are revealed. The shortcomings described are the redundancy of basic data, need of manual processing of a large amount of information and presence of mistakes in initial databanks.

Five main groups of the most widespread mistakes and specific features of geographical data presentation in geographic information systems are distinguished.

The algorithm of transformation of geographical information in a two-dimensional graph is developed. The key stages of the work allowing to eliminate the defects of basic data are described. Optimization of the algorithm obtained by means of spatial indexing is performed which has allowed to reduce the number of elementary calculations needed for processing the basic data significantly. The example data processing results on the transport network of the Sverdlovsk region received after the transformation algorithm was applied on the basis of DBMS and the relational database are given. The primary analysis of the received results is carried out and the direction of further researches is defined.

Keywords: geographical data, transport network, analysis, data processing, graph, algorithm.

DOI: 10.20291/2079-0392-2018-1-84-90

Статья рекомендована к опубликованию Г.А. Тимофеевой, д-ром физ.-мат. наук, профессором кафедры «Естественнонаучные дисциплины» Уральского государственного университета путей сообщения. E-mail: gtimofeeva@mail.ru

The article is recommended for publishing by G.A. Timofeyeva, Doctor of Physical and Mathematical Science, Professor of Chair of Natural-Science Disciplines Ural State university of Railway Transport. E-mail: gtimofeeva@mail.ru

Максим Александрович Сабанов, аспирант; кафедра «Естественнонаучные дисциплины» Уральского государственного университета путей сообщения; Екатеринбург, Россия. E-mail: sabanovus@gmail.com.

Maxim Aleksandrovich Sabanov, Postgraduate; Chair of Natural-Science Disciplines, Ural State University of Railway Transport; Ekaterinburg, Russia. E-mail: sabanovus@gmail.com.

Исследование проведено при частичной поддержке Российского фонда фундаментальных исследований, грант №17-08-01123. The research has been carried out under partial support of the Russia's Foundation of fundamental studies, grant №17-08-01123.

В последние десятилетия широкое распространение получили различные геоинформационные системы (ГИС), которые позволили использовать картографические методы в решении научных и прикладных вопросов на качественно новом уровне [1]. Обзор методов и методик анализа данных о транспортных сетях с использованием ArcGIS, системный анализ использования геоинформационных технологий и теории сетей для анализа транспортных сетей, закономерности развития транспортных сетей приведены в [2–5]. Примеры расчета показателей транспортной доступности сети автомобильных дорог на основе данных, полученных из ГИС, приводятся в [6, 7].

Во всех этих публикациях отмечена проблема обработки данных, загруженных из ГИС: необходимость значительного упрощения данных о транспортной сети из-за излишней детализации исходных данных, хранящихся в ГИС.

Есть еще факторы, ограничивающие применение математических методов к пространственным данным без их существенной переработки. Большинство свободно распространяемых банков данных ГИС (например, [8]) содержат в себе некоторые неточности и аномалий. Под аномалией здесь понимается специфичное представление данных, нормальное с точки зрения функционала ГИС, но затрудняющее их обработку в других предметных областях.

В настоящей статье рассматривается подготовка пространственных данных для их дальнейшего использования и анализа. Как результат – T-SQL скрипт для платформы MS SQL Server при минимальном участии пользователя позволяет устранить основные типы аномалий и ошибок и вывести полученный результат в QGIS [9]. В качестве входных данных в исследовании использовались свободно распространяемая проектом OpenStreetMap [8] карта Свердловской области, а именно, векторный слой, содержащий сеть автомобильных дорог области (транспортная

сеть выбрана из-за максимальной сложности объекта, подлежащего обработке, а сеть автомобильных дорог имеет наибольшее ветвление и количество элементов.

Чаще всего в исходных данных ГИС содержатся следующие группы ошибок и аномалий: неточные координаты концов линии, из-за чего между линиями, на самом деле связанными, возникает небольшой разрыв. Под линиями в данном случае подразумевается объект векторного слоя, а не геометрическое определение слова «линия»; влияющие только на траекторию линии промежуточные точки; ошибки в типизации пространственных объектов; петли в транспортной сети; отсутствие узла в одной или двух из пересекающихся линий.

Этапы работы

Этап 1. Все загруженные объекты (рис. 1) проверяются на корректность указанных координат (наличие нечитаемых или технических символов в записи, чрезмерно высокая разрядность) и типов данных (в слое должны содержаться только объекты типа LineString, т. е. одиночные линии). Если в слой попали более сложные объекты (как правило, это объекты MultiLineString, содержащие в себе набор из линий), они последовательно упрощаются в несколько проходов, пока в слой не становится однородным.

Этап 2. После первичной очистки данных в СУБД проводится пространственное индексирование данных (spatial index [10]) для снижения времени, необходимого на обработку сети. Создание индекса предусматривает разделение пространства, охватываемого данными, на четыре уровня погружения, каждый из которых делит пространство на ячейки (4×4, 8×8, 16×16) и дает возможность быстро ориентироваться в положении рассматриваемого объекта на карте.

Визуальная интерпретация принципа индексирования приведена на рис. 2. При создании индекса необходимо

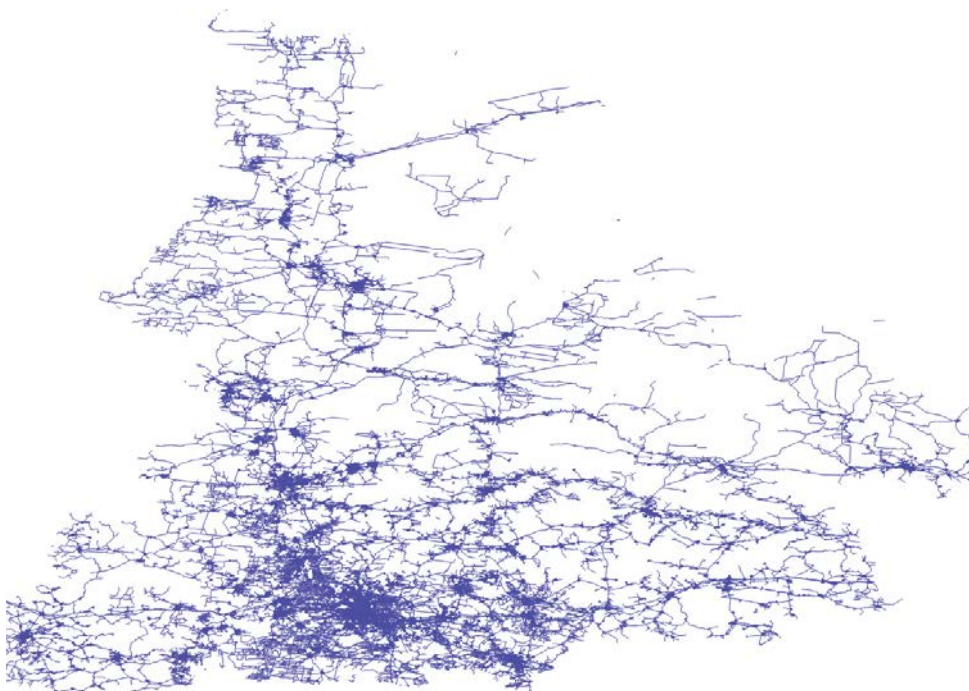


Рис. 1. Отображение исходных данных

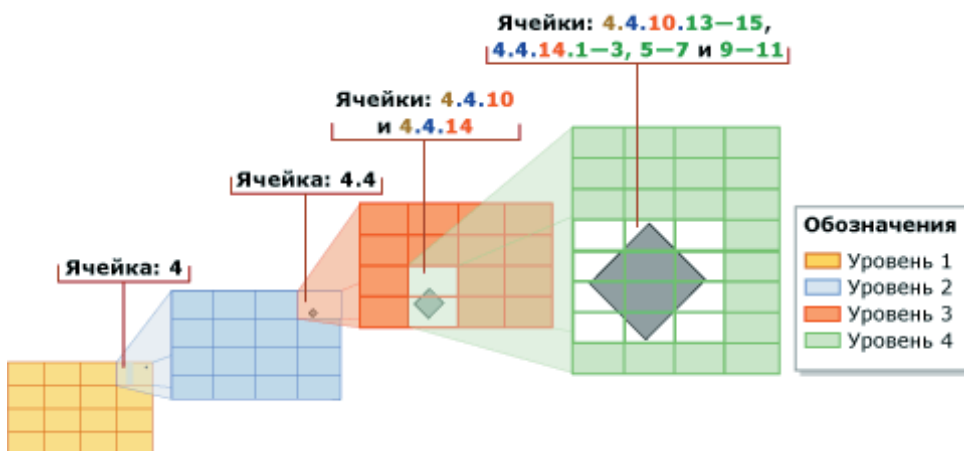


Рис. 2. Внешнее представление пространственного индексирования

ориентироваться на характеристики исследуемой сети, так как при чрезмерно детальном индексировании данных можно получить обратный эффект – ухудшение производительности.

Мы применили первый слой размерности 8×8 потому, что в Свердловской

области расположено 47 городов, аккумулировавшие в себе значительную часть данных, и для корректной ориентации алгоритма при поиске ближайших точек необходимо, чтобы на каждый из них приходилась как минимум одна полная ячейка.

Так как не все области карты заполнены равномерно, а сетка покрывает пространство через равные промежутки, то размерность следующих слоев выбирается в зависимости от количества объектов, содержащихся в исследуемом слое. Желательно, чтобы количество ячеек нижнего уровня было сравнимо с общим количеством точек, но не превышало его. Приемлемую производительность алгоритма на выбранных данных обеспечивает разбиение 8×8 , 8×8 , 8×8 , 4×4 (см. рис. 2). Разбиение всего пространства на нижнем уровне погружения составляет 4 194 тыс. ячеек, полный цикл выполнения алгоритма в среднем – 2 мин 58 с. Пользователь на данном этапе должен указать координатные границы пространства по осям X и Y .

Этап 3. Каждая прямая разбивается на точки с сохранением порядка следования и принадлежности к линии (каждая из которых имеет уникальный идентификатор). Это необходимо для удобства модификации данных; полученная информация записывается в отдельное хранилище.

Устранение аномалий

После заполнения хранилищ данных производится поиск всех пересе-

кающихся линий. Для каждой пересекающейся пары проверяется наличие общих точек; если точек нет, то вычисляются координаты пересечения и точка встраивается в нужную линию. Так как на каждом отдельном участке линии представляет собой отрезок прямой, то для вычисления достаточно найти параметры координат, при которых значения двух линейных функций совпадают, что реализуется в специализированной CLR процедуре. При этом учитывается порядок следования точек (чтобы не исказить начертание линии), встраивание происходит после нахождения двух ближайших точек – «соседей» в линии и определения порядка их следования. Результат обработки данных на этом этапе представлен на рис. 3, где красным цветом выделен слой результатов работы, а синим – слой исходных данных.

Чтобы свести линии с неточными координатами концов, алгоритм для каждой конечной точки каждой линии проверяет наличие в радиусе Δ_1 (который задается пользователем перед началом обработки) других линий. Если внутри линия обнаружена, то исследуемая линия продляется по кратчайшей возможной траектории (рис. 4), и точка пересечения встраивается в уже существующее в хранилище точек.

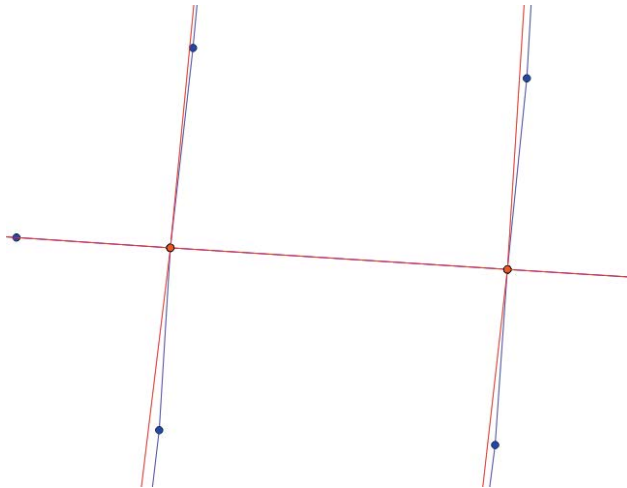
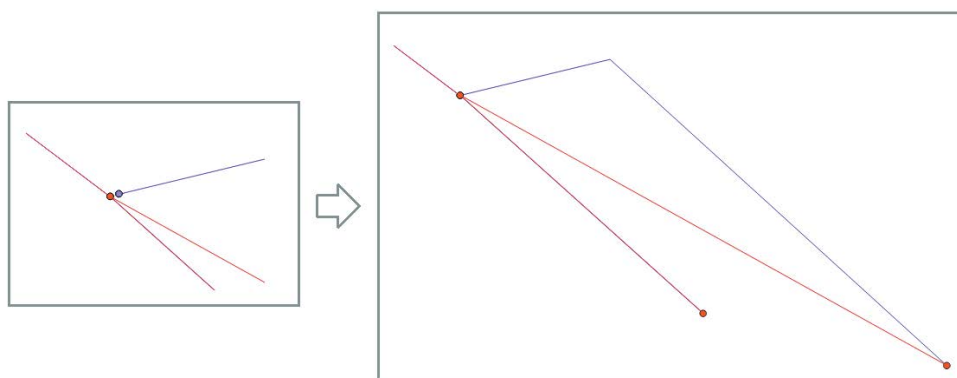


Рис. 3. Результат дополнения пересекающихся линий

Рис. 4. Продление линии к ближайшему соседу в радиусе $\Delta = 3$ м

Затем хранилище точек очищается от всех вершин, не являющихся узлами (вершины графа степени 2), необходимых для придания кривой нужного изгиба на карте, но не несущих смысла с точки зрения теории графов. При этом идентификаторы исходного объекта сохраняются, что позволяет получить неискаженные данные о характеристиках участка (например, о его протяженности) (рис. 5).

Для устранения петель отбираются все линии, замыкающиеся на себя (координаты на начало и конец совпадают либо находятся на расстоянии, равном или меньшем Δ_2 – пороговом значении, необходимом для признания её замкнутой). Величина порогового значения выбирается из природы исходных данных и степени доверия к ним.

Так, например, для сети автомобильных дорог, содержащей в себе транспортные развязки населенных пунктов, целесообразно устанавливать этот параметр в пределах трех-четырех метров, так как большее расстояние с достаточной вероятностью указывает, что фактически петли не существует. Каждая найденная линия описывается полигоном – ограничивающим прямоугольником, после чего вычисляется центральная точка полигона. Затем все точки, входящие в замкнутую линию, а также все точки её пересечения с другими линиями заменяются центральной точкой полигона. Пример обработки исходных данных представлен на рис. 6, где красным цветом отмечены полученные результаты, а синим – исходные данные.

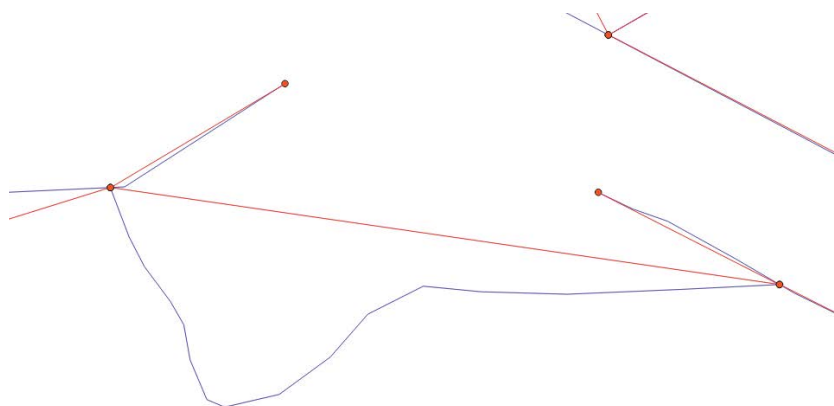


Рис. 5. Очистка линии от точек, не являющихся узлами

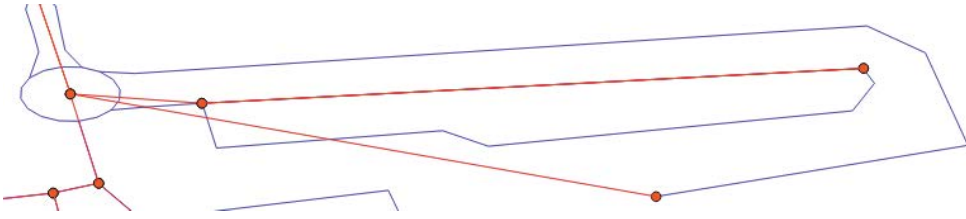


Рис. 6. Обработка кольцевой развязки

На последнем участке работы алгоритм перестраивает карту в соответствии с новым хранилищем точек и создает для нее отдельную таблицу. В средстве визуализации таблица подключается как векторный слой для проверки полученного результата.

Итак, предложена принципиальная схема алгоритма обработки и устранения ошибок в географической информации о транспортной сети, а также его реализация на языке T-SQL. Анализ полученных результатов использования алгоритма выявил необходимость

расширения возможностей обработки исходных данных, а именно: возможность учитывать тип участка транспортной сети при выполнении операций по сведению различных объектов интеллектуальной обработки крупных транспортных развязок, протяженных в пространстве и имеющих сложную структуру, и агрегации параметров ребер и вершин графа, отражающих различные свойства участка транспортной сети (количество полос движения, максимально разрешенная скорость и т. д.). ■

Литература

1. Barthelemy M. Spatial networks // Physics Reports – Review Section of Physics Letters. 2011. № 1 (499). P. 1–101. ISSN 0370-1573.
2. Detecting the dynamics of urban structure through spatial network analysis // International Journal of Geographical Information Science. Issue 11–28, 2014. P. 2178–2199. ISSN 1362-3087.
3. A comparison of geographic information systems, complex networks and other models for analyzing transportation network topologies // NASA Center for AeroSpace Information (CASI). Contractor Report. № 2005-213522. 2005. ISSN 2092-5212.
4. Андрианов В.Ю. Геоинформационные системы для транспорта и коммуникаций // T-Comm: Телекоммуникации и транспорт. 2010. № S2. С. 44–47. ISSN 2072-8743.
5. Feng Xie, Levinson David. Topological evolution of surface transportation networks // Computers, Environment and Urban Systems, Vol. 3, 2009. P. 211–223. ISSN 0198-9715.
6. Мартыненко А.В. Программа Wolfram Mathematica как универсальная среда для обработки и анализа географической информации // Географический вестник. 2016. № 4 (39). С. 129–137. ISSN 2079-7877.
7. Мартыненко А.В., Петров М.Б. Влияние начертания транспортной сети на показатели доступности (на примере Свердловской области) // Региональные исследования. 2016. № 2 (52). С. 21–30. ISSN 1994-5280.
8. OpenStreetMap. URL: <https://www.openstreetmap.org> (reference date: 06.01.2018).
9. Свободная географическая информационная система с открытым кодом QGIS. URL: <https://www.qgis.org/ru/site/> (дата обращения: 06.01.2018).
10. Microsoft relational databases documentation URL: <https://docs.microsoft.com/en-us/sql/relational-databases/spatial/spatial-indexes-overview> (reference date: 06.01.2018).

Literature

1. Barthelemy M. Spatial networks // Physics Reports – Review Section of Physics Letters. 2011. № 1 (499). P. 1–101. ISSN 0370-1573.

2. Detecting the dynamics of urban structure through spatial network analysis // International Journal of Geographical Information Science. Issue 11–28, 2014. P. 2178–2199. ISSN 1362-3087.
3. A comparison of geographic information systems, complex networks and other models for analyzing transportation network topologies // NASA Center for AeroSpace Information (CASI). Contractor Report. № 2005-213522. 2005. ISSN 2092-5212.
4. Andrianov V.Yu. Geoinformation systems for transport and communications [Geoinformatsionnyye sistemy dlya transporta i kommunikatsij] // T-Comm: Telecommunications and transport. 2010. № S2. P. 44–47. ISSN 2072-8743.
5. Feng Xie, Levinson David. Topological evolution of surface transportation networks // Computers, Environment and Urban Systems, Vol. 3, 2009. P. 211–223. ISSN 0198-9715.
6. Martynenko A.V. Wolfram Mathematica Program as Universal environment for treatment and analysis of geographical information [Programma Wolfram Mathematica kak universalnaya sreda dlya obrabotki i analiza geograficheskoy informatsii] // Geographical Herald. 2016. № 4 (39). P. 129–137. ISSN 2079-7877.
7. Martynenko A.V., Petrov M.B. Effect of transportation network trace on accessibility indicators [Vliyanije nachertaniya transportnoj seti na pokazateli dostupnosti (na primere Sverdlovskoj oblasti)] (by the example of Sverdlovsk region) // Regional studies. 2016. № 2 (52). P. 21–30. ISSN 1994-5280.
8. OpenStreetMap. URL: <https://www.openstreetmap.org> (reference date: 06.01.2018).
9. Free geographical information system with an open QGIS code.[Svobodnaya geograficheskaya informatsionnaya sistema s otkryтым kodom QGIS] URL: <https://www.qgis.org/ru/site/> (reference date: 06.01.2018).
10. Microsoft relational databases documentation URL: <https://docs.microsoft.com/en-us/sql/relational-databases/spatial/spatial-indexes-overview> (reference date: 06.01.2018).

Статья сдана в редакцию 1 февраля 2018 года

N.V. Kalganova

Показатели качества трудовой жизни преподавателей транспортного вуза, их формирование и оценка

UDC 331.101

N.V. Kalganova

Indicators of the labour life quality of a transport higher education establishment teachers, their formation and assessment

Аннотация

В отечественных отраслевых учебных заведениях сложился специфический подход к взаимодействию организаций и вузов. Ответственное отношение к кадровому составу преподавателей отраслевых учебных заведений обусловлено однозначностью мест получения образования. Чтобы поддерживать высокий уровень профессорско-преподавательского состава (ППС) отраслевого университета, обеспечивающего в нашем случае состояние кадров железнодорожной отрасли, необходим мониторинг их состава. Для закрепления высокопрофессиональных сотрудников в вузе необходимо поддержание такого фактора, как «удовлетворенность качеством трудовой жизни». В статье рассмотрено понятие «качество трудовой жизни» (КТЖ), обобщены существующие классификации показателей, используемых для оценки КТЖ.

Для преподавателей вузов с учётом показанных особенностей их труда предложен состав таких показателей по шести блокам. На основе проведенного анкетирования преподавателей вуза сопоставлены важность и фактическая оценка составных элементов КТЖ. Проанализирован процент удовлетворенности условиями труда различных по возрасту, полу, должности групп ППС. Особое внимание уделено результатам анкетирования молодых преподавателей: выявлены условия трудовой жизни, не удовлетворяющие этот контингент преподавателей.

Ключевые слова: подготовка кадров для отрасли, качество трудовой жизни (КТЖ), оценка качества трудовой жизни преподавателей, результаты оценки качества трудовой жизни преподавателей вуза.

DOI: 10.20291/2079-0392-2018-1-91-104

Abstract

A specific approach to interaction among organizations and higher education establishments has emerged in sectoral educational institutions. The responsible attitude to the teaching staffing of sectoral educational institutions is caused by their unambiguity.

To maintain a high level teaching staffing of a sectoral university providing in our case the quality of the railway industry employees, the teaching staffing structure has to be monitored. For highly professional employees to establish themselves at a higher educational establishment the factor of «labour life quality satisfaction» should be maintained.

The article considers the «labour life quality» notion; the existing classifications of the indicators applied to its evaluation are consolidated.

Taking into account higher educational establishments teachers' work peculiarities, a specific set of such indicators on six blocks is suggested for them. Based on the survey carried out among teachers, the importance and the actual assessment of the labour life quality constituents were compared. The percent of satisfaction with working conditions for different age, sex, position groups of teachers was analyzed. Specific attention was paid to the survey results of young teachers: the working conditions this group of teachers is dissatisfied with were revealed.

Keywords: sector training, labor life quality, teachers' labor life quality assessment, higher educational establishment teachers' labor life quality assessment results.

DOI: 10.20291/2079-0392-2018-1-91-104

Статья рекомендована к опубликованию В.С. Паршиной, д-ром экон. наук, профессором кафедры «Управление в социальных и экономических системах» Уральского государственного университета путей сообщения. E-mail: vparshina@usurt.ru

The article is recommended for publishing by V.S. Parshina, Doctor of Economic Science, Professor, Chair of Management in Social and Economic Systems Ural State university of Railway Transport. E-mail: vparshina@usurt.ru

Наталья Валерьевна Калганова, аспирант; кафедра «Управление в социальных и экономических системах» УрГУПС; Екатеринбург, Россия. E-mail: kalganova.natalia@yandex.ru.

Natalia Valerievna Kalganova, Postgraduate; Chair of Management in Social and Economic Systems, USURT; Ekaterinburg, Russia. E-mail: kalganova.natalia@yandex.ru.

Качество подготовки специалистов во многом обеспечивается выбором профильного вуза. Корпорации в определенной сфере деятельности накладывают особые условия на функционирование составных частей сетевой структуры.

В России подготовкой кадров для железных дорог занимаются девять университетов. Профессионализм ППС отраслевого университета, обеспечивающего состояние кадров отрасли, поддерживается, кроме прочего, мониторингом качественных характеристик преподавателей и исследованием причин, сдерживающих их повышение. Работники высокого профессионального уровня закрепятся в вузе, если они будут удовлетворены КТЖ. Но для такой специфической категории работников, как преподаватели отраслевых (транспортных) вузов, перечень показателей КТЖ только формируется.

Придерживаясь мнения А.Я. Кибанова [14] относительно рассматриваемой категории, считаем целесообразным трактовать понятие «качество трудовой жизни» следующим образом: совокупность свойств, которые в широком смысле характеризуют условия труда, позволяющие реализовать способности и интересы работника.

Ориентиром при формировании перечня анализируемых параметров, определяющих КТЖ работников, может выступить ёмкая классификация

А.П. Егоршина [6]. Конкретизируем показатели КТЖ применительно к анализируемой сфере деятельности – работа в вузе. Определение рабочей занятости университетских сотрудников – дело далеко не простое, и прежде всего потому, что их деятельность относится ненормированной. Педагогическая нагрузка преподавателя, работающего на штатной должности на полную ставку и получающего полный должностной оклад, состоит из учебной, учебно-методической, организационно-методической и научной (научно-методической и научно-организационной) работы, рассчитывается из 6-часового рабочего дня с учетом второй половины дня. Совокупность рабочих часов в 2016 уч. г. – 1584 ч – представлена в таблице 1.

Научно-исследовательская работа (НИР) включает: выполнение научно-исследовательских работ, разработку и подготовку к изданию учебников, учебных пособий по преподаваемым дисциплинам, участие в научных конференциях, совещаниях, семинарах, руководство научной работой студентов, рецензирование (редактирование) научных трудов, НИР, диссертаций, учебников, учебных пособий, монографий и т.п.

Учебно-методическая работа преподавателя включает в себя: разработку (переработку) учебных программ, тематических планов изучения учебных дисциплин и другой учебно-методической

Таблица 1

Объем работы, 2016 г., ч

Категория	Общий объем годовой нагрузки	Объем учебной нагрузки	Вторая часть нагрузки				
			общий объем второй части нагрузки	НИР	учебно-методическая работа	организационно-методическая работа	воспитательная работа
Профессор	1584	700	884	350	270	150	114
Доцент	1584	750	834	285	285	150	114
Ст. преподаватель, преподаватель, ассистент	1584	800	784	220	350	100	114

документации, подготовку к чтению лекций и проведение других видов занятий, разработку (переработку) лекций, содержания и планов других видов занятий, а также планов семинаров, разработку и подготовку к изданию учебно-методических материалов для проведения занятий, разработку дидактических и раздаточных материалов, учебно-наглядных пособий, разработку методических указаний по курсовым и дипломным работам (проектам) и производственной практике, участие в научно-методических конференциях, сборках, совещаниях, семинарах, межкафедральных заседаниях и заседаниях кафедр, предметно-методических комиссий, инструкторско-методических, показных, открытых и пробных занятиях, разработку и анализ мероприятий по оценке и результатам учебы, участие в работе коллектива преподавателей по данному предмету (руководство группой преподавателей), изучение новинок педагогической и методической литературы.

Организационно-методическая работа охватывает мероприятия по управлению методической работой и обеспечивает планирование, реализацию и контроль результативности принятой в университете стратегии совершенствования учебного процесса и его методического обеспечения. Виды организационно-методической работы: руководство и координация системы методической работы, планирование и организация деятельности методических советов и комиссий университета, подготовка и проведение научно-методических конференций, совещаний и семинаров, смотров, конкурсов, выставок, организация содействия системы повышения квалификации профессорско-преподавательского состава, подготовка материалов к заседаниям кафедры, совета факультета, совета вуза, работа в составе (в качестве председателя или члена) методической группы кафедры, методического совета факультета, научно-методического совета университета, работа по

заданиям органов управления высшей школой (федеральных и региональных).

Воспитательная работа в вузе нацелена на подготовку высококвалифицированных и компетентных молодых специалистов, готовых к производственной, общественной и культурной деятельности. С позиций компетентностного подхода к высшему профессиональному образованию, в качестве цели воспитательной работы в вузе выступает формирование общекультурных и социально-личностных компетенций будущих специалистов высшей квалификацией.

Столь многообразная и плотная структура рабочего дня должна быть учтена при анализе КТЖ: ненормированный рабочий день, различные виды деятельности (подготовка и чтение лекций, написание статей, методических указаний, учебных пособий для студентов, руководство подготовкой магистрантов и аспирантов и др.). Специфика работы преподавателя подкрепляется и неоднозначностью понятия «рабочее место преподавателя»: он работает и на кафедре, и в различных аудиториях, и лабораториях; очень важна также возможность работы дома. И для удовлетворённости КТЖ очень важно, чтобы все рабочие места преподавателя были соответственно организованы (наличие компьютеров, принтеров, интернета, мультимедийного оборудования, доски в аудиториях) [13].

За основу для разработки оценочных показателей принимаем предложенную А.В. Егоршиным классификацию, включающую показатели по семи подсистемам: трудовой коллектив, справедливое вознаграждение за труд, условия труда и состояние рабочего места, руководство организации, профессиональный рост и карьера, правовая и социальная защищённость, социальная инфраструктура организации. Скорректируем этот перечень в соответствии с особенностями труда преподавателей. Разработанные нами параметры для оценки КТЖ [12] адаптированы к специфике труда преподавателей в вузе (таблица 2).

Таблица 2

Показатели оценки КТЖ преподавателей вуза

Трудовой коллектив	Вознаграждение за труд	Условия труда	Профессиональный рост	Социальная защищенность	Специфика труда ППС
Атмосфера в коллективе	Размер оплаты	Организация труда (на кафедре)	Возможность должного роста	Компенсация медицинского обслуживания. Предоставление медицинских услуг на территории университета	Объем учебной нагрузки
Репутация вуза у студентов	Доплаты за совмещение профессий/ученую степень/звание	Оборудование аудиторий (мультимедиа, компьютеры)	Возможность обучения/повышения квалификации (участие в конференциях, семинарах и т. п.)	Организация питания; доставка питьевой воды	Возможность заниматься научными исследованиями, совмещать научную и преподавательскую деятельность
Взаимоотношения с администрацией, руководством	Премии по итогам семестра	Удобное расписание (занятия только в первой/второй половине дня)	Творческие командировки	Оплата расходов по детским учреждениям	Возможность сочетать с работой в других местах (в других вузах)
Высокий рейтинг вуза (научный потенциал)	Возможность дополнительного заработка (статьи, руководство магистрантами и аспирантами)	Служебный транспорт	Гранты при обучении в аспирантуре, докторантуре	Льготы обучающимся сотрудникам, льготы сотрудникам за обучение их детей	Возможность работать удаленно (Bb ⁺ ; написание учебных и методических работ)
Доверие к руководителям	Дополнительные стимулирующие выплаты за опубликованные статьи/защищенные диссертации	Автостоянка для машин сотрудников		Оплата ж.-д. билетов (один раз в год)	Гибкий (адаптируемый) график работы (не каждый день)
				Обеспечение путевками в санаторий	Самостоятельность в работе

*Bb – Blackboard, электронная поддержка обучения.

Для анализа сформированных показателей важна как объективная их оценка, так и субъективное восприятие. Определение подхода к анализу мнений сотрудников основано на несхождении притязаний и потребностей различных категорий преподавателей: молодежи и людей старшего поколения, мужчин и женщин, профессоров, доцентов, ассистентов, вновь поступивших на работу и давно работающих и т. д. На первом этапе исследования оценка КТЖ

преподавателями вуза базируется на результатах общего анкетирования по разработанной нами анкете [13].

Опрос проведен на восьми кафедрах профильных и гуманитарных специальностей, включающих 263 ППС. Предлагалось оценить по 5-балльной шкале степень значимости каждого показателя и дать оценку фактического состояния. Сравнение средних значений этих показателей в баллах по блокам представлено в таблице 3.

Таблица 3

Результаты оценки КТЖ преподавателями вуза, баллы

Показатель	Степень значимости		Оценка фактического состояния		Степень удовлетворенности, %	
	профильная	гуманитарная	профильная	гуманитарная	профильная	гуманитарная
Объем учебной нагрузки	4,91	4,43	3,67	3,56	75	80
Возможность заниматься научными исследованиями, совмещать научную и преподавательскую деятельность	4,0	4,30	3,30	3,33	83	77
Возможность сочетать с работой в других вузах	3,52	3,45	3,30	3,17	94	92
Возможность работать дома удаленно (Вб, написание учебных и методических работ)	3,20	3,93	3,10	3,51	97	89
Гибкий (адаптируемый) график работы (не каждый день)	3,90	4,31	3,80	3,74	97	87
Самостоятельность в работе	4,0	4,09	3,72	3,62	89	93
Атмосфера в коллективе	3,71	4,70	3,43	4,41	92	94
Репутация вуза у студентов	4,0	4,33	3,80	4,13	95	95
Взаимоотношения с администрацией, руководством	4,18	4,29	2,81	3,82	67	89
Высокий рейтинг вуза (научный потенциал)	3,88	4,13	3,80	4,00	98	97
Доверие к руководителям	4,15	4,26	3,93	3,78	95	89
Размер оплаты	4,93	4,76	2,85	2,91	58	61
Доплаты за совмещение профессий/ученую степень/звание	4,87	4,50	3,34	3,18	69	71
Премии по итогам семестра	4,86	4,60	3,61	3,26	74	71
Возможность дополнительного заработка (статьи, руководство магистрантами и аспирантами)	3,66	4,06	2,87	2,90	78	71
Дополнительные стимулирующие выплаты за опубликованные статьи/защищенные диссертации)	4,38	4,28	3,29	3,37	75	79
Организация труда (на кафедре)	4,56	4,49	4,25	3,83	93	85
Оборудование аудиторий (компьютеры, мультимедиа)	4,43	4,41	3,72	3,61	61	82

Окончание табл. 3

Показатель	Степень значимости		Оценка фактического состояния		Степень удовлетворенности, %	
	профильная	гуманитарная	профильная	гуманитарная	профильная	гуманитарная
Удобное расписание (занятия только в первой/второй половине дня)	5,0	4,63	3,87	3,59	77	78
Служебный транспорт	2,54	3,40	2,51	3,09	99	91
Возможность должностного роста	3,67	3,9	3,34	3,43	91	88
Возможность обучения/повышение квалификации (участие в конференциях, семинарах и т. п.)	3,82	4,24	3,12	3,52	82	83
Творческие командировки	2,72	3,59	2,52	2,82	93	79
Гранты при обучении в аспирантуре, докторантуре	2,83	3,26	2,33	2,63	82	81
Компенсация медицинского обслуживания. Предоставление медицинских услуг на территории университета	4,66	4,27	4,06	3,46	87	81
Организация питания; доставка питьевой воды	4,50	4,4	4,31	4,01	96	91
Оплата расходов по детским учреждениям	3,20	3,25	2,33	2,61	73	80
Льготы обучающимся сотрудникам, льготы сотрудникам за обучение их детей	2,81	3,49	2,61	2,88	93	83
Оплата ж.-д. билетов (раз в год)	3,98	3,87	3,77	3,00	94	78
Обеспечение путевками в санатории	4,23	3,91	3,05	2,85	72	73

Из таблицы 3 ясно, что степень значимости составляющих КТЖ отличается у преподавателей профильных и гуманитарных кафедр не более чем на 10 %. Однако выявленные приоритеты различны – мнения респондентов расходятся при оценке фактического состояния условий труда (таблица 4).

Из таблицы 4 следует, что очень высоко оцениваются такие составляющие КТЖ, как самостоятельность в работе, атмосфера в коллективе, репутация вуза, организация питания и др. Однако практически все преподаватели отмечают средний и низкий уровень таких показателей, как объём учебной нагрузки, удобное расписание (занятия только в первой/второй половине дня). Условия труда – система социальных, психологических, санитарно-гигиенических и физических характеристик

деятельности. Приведенные результаты позволят скорректировать условия труда преподавателей, причём некоторые из них не требуют больших затрат. Например, необходим пересмотр отношения к составлению расписания и распределению учебной нагрузки с учётом пожеланий преподавателей.

Степень удовлетворённости преподавателей профильных и гуманитарных кафедр отдельными элементами КТЖ представлена на рис. 1.

Сходные результаты зафиксированы у трети у преподавателей профильных и гуманитарных дисциплин, что свидетельствует об устойчивости мнений относительно условий работы в университете. Но вот результаты одной четверти показателей отличаются, причём с перевесом как в сторону профильных, так и гуманитарных кафедр.

Таблица 4

Степень значимости составляющих КТЖ по оценке преподавателей
профильных и гуманитарных кафедр, баллы
(ПК – профильные кафедры, ГК – гуманитарные кафедры)

	Показатель	Значи- мость для ПК	Показатель	Значи- мость для ГК
Специфика труда ППС				
Более значи- мы	Размер оплаты	4,43	Объем учебной нагрузки	4,90
	Гибкий (адаптируемый) гра- фик работы (не каждый день)	4,31	Возможности вести научные исследования	4,0
Менее значи- мы	Возможность сочетать с рабо- той в других вузах	3,45	Возможность работать дома (Вб, написание учебных и методических пособий)	3,20
Трудовой коллектив				
Более значи- мы	Атмосфера в коллективе	4,70	Взаимоотношения с адми- нистрацией, руководством	4,18
	Репутация вуза у студентов	4,33	Доверие к руководителям	4,15
Менее значи- мы	Высокий рейтинг вуза (науч- ный потенциал)	4,13	Атмосфера в коллективе	3,70
Вознаграждение за труд				
Более значи- мы	Размер оплаты	4,76	Размер оплаты	4,93
	Премии по итогам семестра	4,60	Доплаты за совмещение профессий, степень, звание	4,87
Менее значи- мы	Возможность дополнительного заработка (статьи, руковод- ство магистрантами и аспи- рантами)	4,06	Возможность дополнительного заработка (статьи, ру- ководство магистрантами и аспирантами)	3,66
Условия труда				
Более значи- мы	Удобное расписание (занятия только в первой/второй поло- вине дня)	4,63	Удобное расписание (зая- тия только в первой/второй половине дня)	5,0
	Организация труда (на кафедре)	4,49	Организация труда (на кафедре)	4,56
Менее значи- мы	Служебный транспорт	3,40	Служебный транспорт	2,54
Профессиональный рост				
Более значи- мы	Возможность обучения/повы- шение квалификации (уча- стие в конференциях, семина- рах и т. д.)	4,24	Возможность обучения/по- вышение квалификации (участие в конференциях, семинарах и т. д.)	3,82
	Возможность должностного роста	3,90	Возможность должностного роста	3,67
Менее значи- мы	Гранты при обучении в аспи- рантуре, докторантуре	3,26	Творческие командировки	2,72
Социальная защищенность				
Более значи- мы	Организация питания; до- ставка питьевой воды	4,40	Компенсация медицинского обслуживания. Предостав- ление медицинских услуг на территории университета	4,66
	Компенсация медицинско- го обслуживания. Предостав- ление медицинских услуг на территории университета	4,27	Организация питания; до- ставка питьевой воды	4,50
Менее значи- мы	Оплата расходов по детским учреждениям	3,25	Оплата расходов по детским учреждениям	2,81

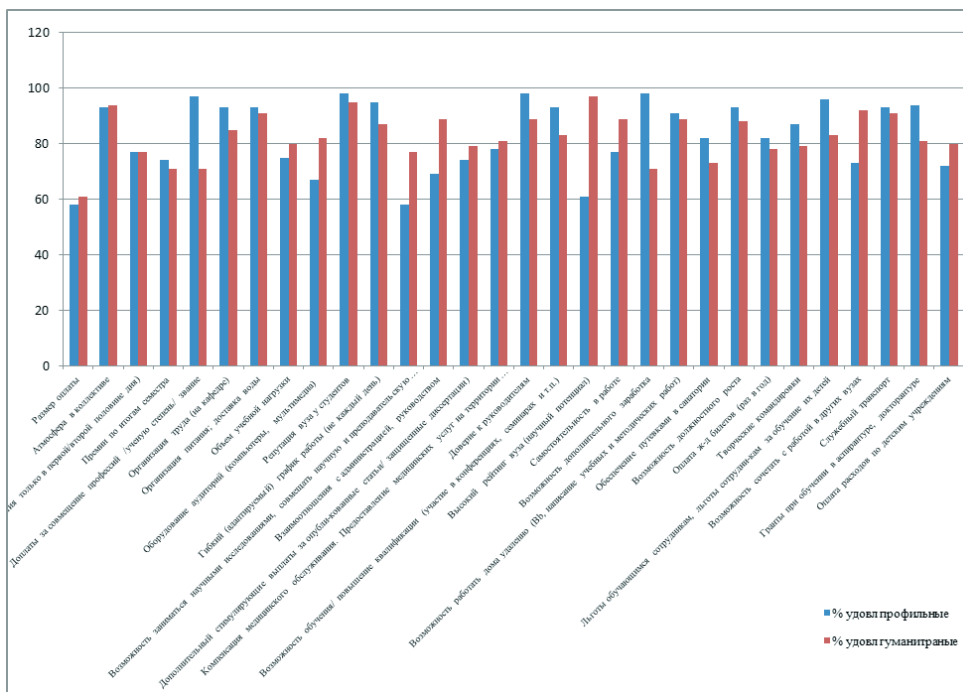


Рис. 1. Удовлетворенность ППС элементами КТЖ

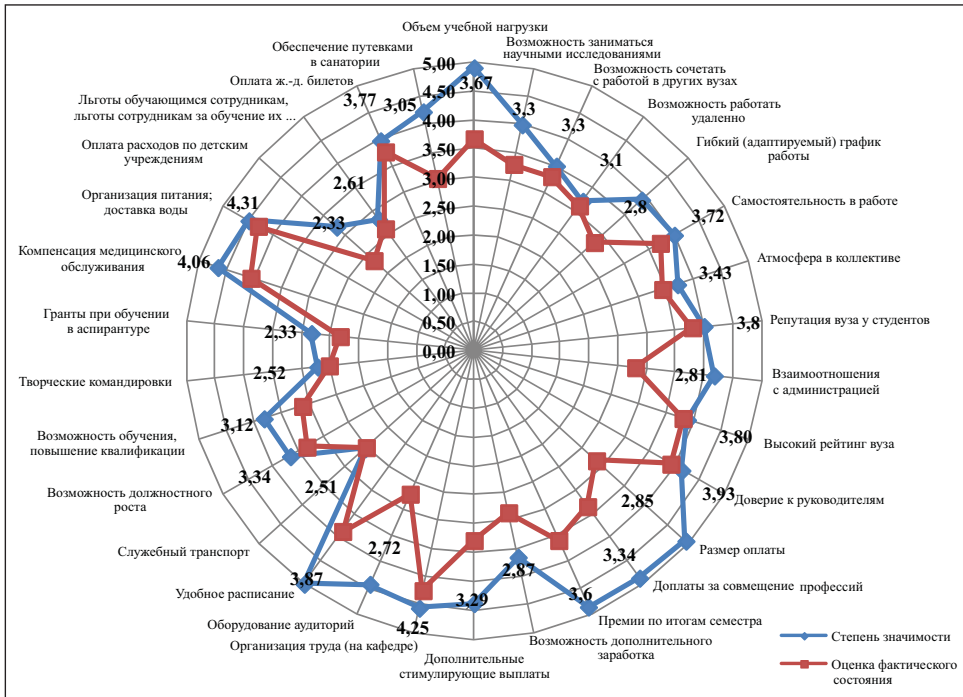


Рис. 2. Значимость элементов КТЖ и степень их реализации для преподавателей профильных кафедр

Это определило необходимость дальнейших исследований для установления конкретных причин расхождений.

Расхождение оценочных значений относительно значимости каждого элемента КТЖ и степени его реализации для преподавателей профильных и гуманитарных кафедр представлено на рис. 2 и 3.

Как для преподавателей профильных, так и гуманитарных кафедр по отдельным элементам («атмосфера в коллективе», «высокий рейтинг вуза», «служебный транспорт», «гибкий (адаптируемый) график», «организация труда (на кафедре)», «компенсация медицинского обслуживания») расхождение достигает один-два балла. Но вот по оплате труда различия очевидны («премии по итогам семестра», «возможность дополнительного заработка»).

Результаты позволяют сосредоточиться на удовлетворении значимых потребностей работников и тем самым повысить уровень их внутренней мотивации.

Рассмотрим степень удовлетворенности КТЖ различных групп ППС [13]:

- по возрасту: до 25, 25–34, 35–44, 45–54, 55–64, 65 и более лет;
- по полу: мужчины, женщины;
- по должности: ассистент, старший преподаватель, доцент, профессор.

Показатели КТЖ, получившие наибольшую оценку удовлетворенности, представлены в таблице 5.

Данные таблицы 5 свидетельствуют, что преподаватели осознанно выбрали сферу деятельности и удовлетворены значимыми аспектами КТЖ. Согласно представленным данным, одинаковое восприятие по показателям: «репутация вуза у студентов», «высокий рейтинг вуза (научный потенциал)», «атмосфера в коллективе», «возможность сочетать с работой в других вузах». Расхождения наблюдаются по следующим показателям: «возможность работать дома удаленно (Bb, написание учебных и методических работ)», «гибкий (адаптируемый) график работы (не каждый день)», «оплата ж.-д.

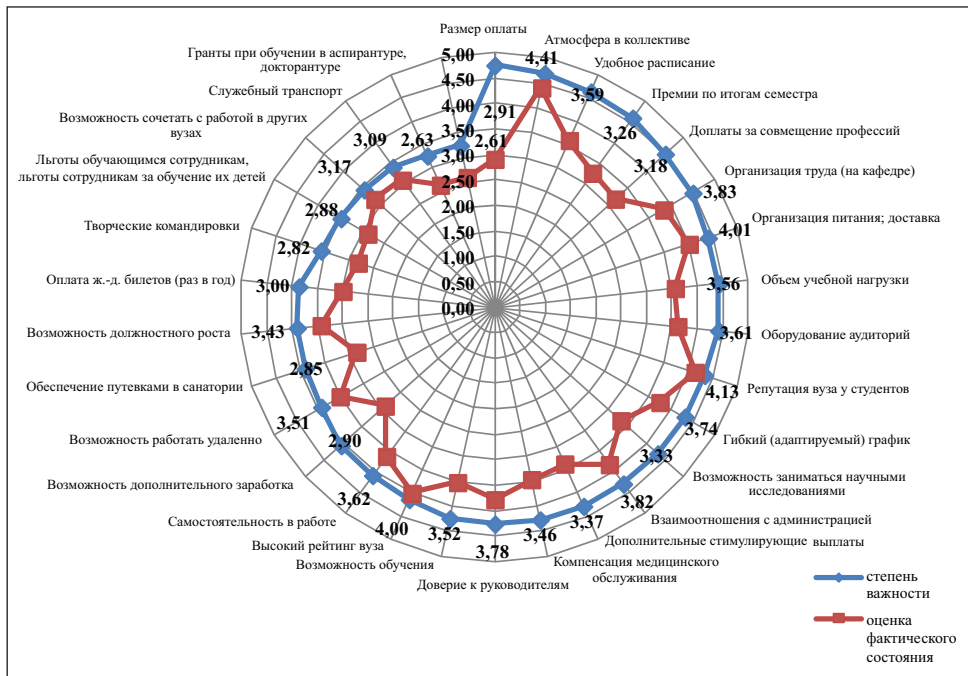


Рис. 3. Значимость элементов КТЖ и степень их реализации для преподавателей гуманитарных кафедр

билетов (раз в год)», «льготы обучающимся сотрудникам», «льготы сотрудникам за обучение их детей».

Анализ показателей, получивших наименьшую оценку у различных возрастных, половых и должностных групп, представлен в таблице 6 [13].

Наименьшая удовлетворённость уровнем заработной платы – у молодых

преподавателей, ассистентов; колебания месячной заработной платы для этой категории преподавателей (вне зависимости от направления деятельности кафедры) значительны. Анализ существующей возможности дополнительных заработков, сохраняющих молодёжь в составе коллектива, представлен в таблице 7.

Таблица 5

Степень удовлетворённости элементами КТЖ (наибольшие значения), %

Элементы качества трудовой жизни	Степень удовлетворённости	
	профильные	гуманитарные
Высокий рейтинг вуза (научный потенциал)	98	97
Репутация вуза у студентов	95	95
Атмосфера в коллективе	92	94
Возможность сочетать с работой в других вузах	94	92
Служебный транспорт	99	91
Организация питания; доставка питьевой воды	96	91
Самостоятельность в работе	93	89
Возможность работать дома удаленно (Вб, написание учебных и методических работ)	97	89
Гибкий (адаптируемый) график работы (не каждый день)	97	87
Доверие к руководителям	95	89
Дополнительные стимулирующие выплаты (за написание статей, за руководство и защиты диссертаций)	75	79
Оплата ж.-д. билетов (раз в год)	94	78
Организация труда (на кафедре)	93	85
Льготы обучающимся сотрудникам, льготы сотрудникам за обучение их детей	93	83
Удобное расписание (занятия только в первой/второй половине дня)	77	78

Таблица 6

Степень удовлетворённости элементами КТЖ (наименьшие значения), %
(ПК – профильная кафедра, ГК – гуманитарная кафедра)

Возраст	До 25		25–34		35–44		45–54		55–64		65 и более	
	ПК	ГК	ПК	ГК	ПК	ГК	ПК	ГК	ПК	ГК	ПК	ГК
Льготы обучающимся сотрудникам, льготы сотрудникам за обучение их детей	71	67	76	72	74	69	–	–	–	–	–	–
Размер оплаты	52	54	56	52	55	58	63	60	72	70	78	75
Доплаты за совмещение профессий/ученую степень/звание	–	–	–	–	68	69	72	71	69	78	73	78
Возможность дополнительного заработка (статьи, руководство магистрантами, аспирантами)	–	–	–	–	72	–	71	67	72	73	75	71

Окончание табл. 6

Возраст	До 25		25–34		35–44		45–54		55–64		65 и более	
	ПК	ГК	ПК	ГК	ПК	ГК	ПК	ГК	ПК	ГК	ПК	ГК
Премии по итогам семестра	58	63	65	64	68	65	77	76	76	70	78	72
Обеспечение путевками в санатории	–	–	–	–	73	78	71	58	72	71	64	76
Объем учебной нагрузки	72	76	72	78	75	83	77	72	79	81	83	76
	Мужчины						Женщины					
	ПК		ГК		ПК		ГК		ПК		ГК	
Размер оплаты	57		62		59		60		60		60	
Премии по итогам семестра	76		69		72		72		72		72	
Возможность дополнительного заработка (статьи, руководство магистрантами, аспирантами)	79		69		–		72		72		72	
Доплаты за совмещение профес- сий/ученую степень/звание	71		73		68		69		69		69	
	Ассист.		Ст. преп.		Доцент		Профессор					
	ПК	ГК	ПК	ГК	ПК	ГК	ПК	ГК	ПК	ГК	ПК	ГК
Размер оплаты	54	56	57	57	59	64	63	66	63	66	63	66
Возможность дополнительного за- работка (статьи, руководство маги- странтами, аспирантами)	61	60	71	71	73	73	79	79	79	79	79	79
Объем учебной нагрузки	76	82	78	84	77	81	70	73	70	73	70	73
Премии по итогам семестра	74	60	76	64	77	77	70	78	70	78	70	78
Доплаты за совмещение профес- сий/ученую степень/звание	–	–	–	–	69	70	71	73	71	73	71	73
Возможность должностного роста	82	78	86	83	–	–	–	–	–	–	–	–
Возможность вести научные иссле- дования, совмещать преподава- тельскую и научную деятельность	–	–	–	–	73	65	79	73	79	73	79	73
Обеспечение путевками в сана- тории	–	–	–	–	73	71	74	70	74	70	74	70

Таблица 7

Расчёт заработной платы ППС с учетом работы на 1 ставку, руб.

Должность	Ученая степень	Должностной оклад	Условно-постоянная выплата за объем учебной работы	Доплата, 20% от должностного оклада	Доплата	Условно-постоянная выплата за научные статьи	Итого	Районный коэффи- циент	Всего	НДФЛ	К выдаче на руки
Ст. преп.	Канд.	9924	1666	2481,00	1000	6500	21571,00	3235,65	24806,65	3225	21581,65
Ст. преп.		6759	1126	1689,75	1000	8500	19074,75	2861,21	21935,96	2852	19083,96
Ассист.	Канд.	9161	1109	2290,25	1000	7000	20560,25	3084,04	23644,29	3074	20570,29
Ассист.		5996	719	1499,00	1000	8750	17964,00	2694,60	20658,60	2686	17972,60
Аспирант на должн. ассист.		5996	719	1499,00	1000	8750	17964,00	2694,60	20658,60	2686	17972,60

Результаты первого этапа исследований различных категорий преподавателей позволяют представить общую и частную картины относительно их удовлетворённости элементами

трудовой жизни. Выявлены проблемные зоны, устранение которых позволит сохранить профессиональный контингент работников и обеспечить их развитие. ■

Литература

1. Beukema L. Kwaliteit Van De Arbeidstijdverkorting [Quality of reduction of working hours]. Groningen: Karstapel // Suzanne, EJ Arts, Ada Kerkstra, Jouke Van Der Zee, and Huda Huyer Abu Saad, (eds.) (2001). Quality of Working Life and Workload in Home Help Ser – vices: A Review of the Literature and a Proposal for a Research Model // Scandinavian Journal of Caring Society. 2003. № 15. P. 12–24.
2. Бойкова Е.Б. Концепция качества трудовой жизни и теория КТЖ как ее дальнейшее развитие и конкретизация // Экономика труда и управление персоналом : межвузовский сб. – СПб : Изд-во СПб ГУЭФ, 1998. С. 96
3. Büssing A. Telearbeit und Qualität des Arbeitslebens. Ein Leitfaden zur Analyse, Bewertung und Gestaltung / A. Büssing, A. Drodofsky & K. Hegendörfer // Hogrefe, Verlag für Angewandte Psychologie (Stuttgart). 2003. P. 49–50.
4. Генкин Б.М. Экономика и социология труда : учебник для вузов. – М. : Норма, 2003. – С. 33. ISBN 978-5-468-00061-8.
5. Горелов Н. А. Энциклопедия труда и занятости / Н. А. Горелов, А. И. Тучков. – СПб : Изд-во Санкт-Петербургского гос. ун-та, 1997. 187 с. ISBN 5-7310-0803-5.
6. Егоршин А.П. Мотивация трудовой деятельности : учеб. пособие / 2-е изд., перераб. и доп. – М. : Инфра-М, 2010. 464 с. ISBN 978-5-16-004576-4.
7. Егорова Е. Г. Социальные индикаторы качества трудовой жизни в структуре управленческих решений организации : автореф. дис. ... на соиск. уч. ст. канд. экон. наук. – СПб, 2008. 19 с.
8. Delamotte Y. Quality of Working Life in International Perspective / Y. Delamotte, S. Takezawa. – Geneva : International Labour Office, 1984. P. 2.
9. Жулина Е.Г. Основы мотивации работодателей к развитию качества трудовой жизни в организации. URL: <http://www.teoria-practica.ru/-1-2011/economika/zhulina.pdf>. (дата обращения: 03.02.2017).
10. Зонова О.В. Качество трудовой жизни: определение и критерии оценки // Проблемы современной экономики. 2010. № 3 (35). С. 79. ISSN 1818-3395.
11. Ильин Е.П. Мотивация и мотивы. СПб : Питер, 2000. С. 512. ISBN 5-272-00028-5.
12. Калганова Н.В., Паршина В.С. Формирование показателей оценки качества трудовой жизни преподавателей вуза / Качество и полезность в экономической теории и практике : м-лы VIII Всеросс. заочной научн.-практ. конф. 30 ноября 2016 : сб. / отв. ред. Л.Ю. Руди ; Новосиб. гос. ун-т экономики и управления. – Новосибирск : НГУЭУ, 2016. – 268 с. ISBN 978-5-7014-0772-3.
13. Калганова Н.В., Паршина В.С. Результаты оценки преподавателями вуза качества трудовой жизни / В сб. : «Наука в XXI веке: инновационный потенциал развития» / Уфа, 2017. 82 с.
14. Кибанов А.Я. Управление персоналом организации. Пратикум : учеб. пособие / под ред. д.э.н., проф. А.Я. Кибанова. – 2-е изд., перераб. и доп. М. : Инфра-М, 2012. 200 с. ISBN 978-5-16-001973-4.
15. Lau T. Information Technology and the Work Environment – Does it Change the Way People Interact at Work / T. Lau, K. F. Wong, M. Chan Law // Human Systems. Management. 2001. № 20 (3). P. 267–280. ISBN: 978-1-365-03418-3.
16. Миляева Л.Г. Проблемы занятости в постсоветский период: анализ, пути решения : дис. ... на соиск. уч. ст. д-р экон. наук. – М. : РАГС, 2002. С. 13–21.
17. Потуданская В.Ф. Политика доходов и заработной платы : учеб. пособие / В.Ф. Потуданская, Т.В. Богданчикова. – Омск : Изд-во ОмГТУ, 2011. 88 с.
18. Цыганкова И. В. Методика оценки качества трудовой жизни. Омск : ОмГТУ, 2008. 32 с. ISBN 978-5-8149-0625-0.
19. Янковская В.И. Концепция качества трудовой жизни : учебное пособие. – Нижнекамск : Нижнекамский муниципальный институт, 2011. С. 228.

Literature

1. Beukema L. Kwaliteit Van De Arbeidstijdverkortung [Quality of reduction of working hours]. Groningen: Karstapel // Suzanne, EJ Arts, Ada Kerkstra, Jouke Van Der Zee, and Huda Huyer Abu Saad, (eds.) (2001). Quality of Working Life and Workload in Home Help Services: A Review of the Literature and a Proposal for a Research Model // Scandinavian Journal of Caring Society. 2003. № 15. R. 12–24.
2. Bojkova E.B. Quality concept of working life and theory of KTZh (quality of working life) as its further development and concrete definition // Labour economics and human resources management [Konceptsiya kachestva trudovoj zhizni i teoriya KTZh kak ee dalnejshee razvitiye i konkretizatsiya // Ekonomika truda i upravleniye personalom]: interacademic collection of scientific papers. – SPb : SPb GUJeF (Saint-Petersburg State University of Economics and Finance) Publisher, 1998. P. 96.
3. Büssing A. Telearbeit und Qualität des Arbeitslebens. Ein Leitfaden zur Analyse, Bewertung und Gestaltung / A. Büssing, A. Drodofsky & K. Hegendörfer // Hogrefe, Verlag für Angewandte Psychologie (Stuttgart). 2003. P. 49–50.
4. Genkin B.M. Economics and sociology of labour [Ekonomika i sotsiologiya truda]: academic textbook. – M. : Norma, 2003. – P. 33. ISBN 978-5-468-00061-8.
5. Gorelov N. A. Encyclopedia of labour and employment [Entsiklopediya truda i zanyatosti] / N. A. Gorelov, A. I. Tuchkov. – SPb : Saint-Petersburg State University Publisher, 1997. 187 s. ISBN 5-7310-0803-5.
6. Egorshin A.P. Motivation of labour activity [Motivatsiya trudovoj deyatelnosti]: teaching aid / 2nd edition, revised and enlarged – M. : Infra-M, 2010. 464 p. ISBN 978-5-16-004576-4.
7. Egorova E. G. Social indicators of working life quality in the structure of management decisions of an enterprise [Sotsialniye indikatory kachestva trudovoj zhizni v strukture upravlencheskih reshenij organizatsii]: extended abstract of the dissertation for the scientific degree of a candidate of economic sciences. – SPb, 2008. 19 p.
8. Delamotte Y. Quality of Working Life in International Perspective / Y. Delamotte, S. Takezawa. – Geneva : International Labour Office, 1984. P. 2.
9. Zhulina E.G. Employers' principles of motivation to develop working life quality of an organization [Osnovy motivatsii rabotodatelej k razvitiyu kachestva trudovoj zhizni v organizatsii]. URL: <http://www.teoria-practica.ru/-1-2011/economika/zhulina.pdf>. (reference date: 03.02.2017).
10. Zonova O.V. Working life quality: definition and assessment criteria // Modern economic issues [Kachestvo trudovoj zhizni: opredeleniye i kriterii otsenki // Problemy sovremennoj ekonomiki]. 2010. № 3 (35). S. 79. ISSN 1818-3395.
11. Ilin E.P. Motivation and incentives [Motivatsiya i motivy]. SPb : Piter, 2000. S. 512. ISBN 5-272-00028-5.
12. Kalganova N.V., Parshina V.S. Formation of the indicators for evaluation of a working life quality of academic lecturers of a higher educational establishment / Quality and usefulness in economic theory and practice [Formirovaniye pokazatelej otsenki kachestva trudovoj zhizni prepodavatelej vuza / Kachestvo i poleznost v ekonomicheskoy teorii i praktike]: materials of VIII All-Russian extramural scientific and practical conference. November 30, 2016 : collection of scientific papers / L.Yu. Rudi managing editor ; Novosibirsk State University of Economics and Management. – Novosibirsk : NGUEU, 2016. – 268 p. ISBN 978-5-7014-0772-3.
13. Kalganova N.V., Parshina V.S. The results of evaluation of working life quality by academic lecturers of a higher educational establishment [Rezultaty otsenki prepodavatelyami vuza kachestva trudovoj zhizni] / In the collection of scientific papers : «Science in the XXI century: innovative potential for development» / Ufa, 2017. 82 p.
14. Kibanov A.Ja. Human resources management of an organization [Upravleniye personalom organizatsii]. Practical work : Teaching aid / edited by Doctor of economic sciences professor A.Ya. Kibanova. – 2nd edition, revised and enlarged M. : Infra-M, 2012. 200 p. ISBN 978-5-16-001973-4.
15. Lau T. Information Technology and the Work Environment – Does it Change the Way People Interact at Work / T. Lau, K. F. Wong, M. Chan Law // Human Systems. Management. 2001. № 20 (3). P. 267–280. ISBN 978-1-365-03418-3.
16. Milyaeva L.G. Problems of employment in the former-Soviet period : analysis, solution approaches [Problemy zanyatosti v postsovetiskij period: analiz, puti resheniya]: dissertation

- for the scientific degree of a doctor of economic sciences. – М. : RAGS Russian Academy of Public Administration, 2002. S. 13–21.
17. Potudanskaya V.F. The policy of incomes and salary [Politika dohodov i zarabotnoj platy] : teaching aid / V.F. Potudanskaja, T.V. Bogdanchikova. – Omsk : Omsk State Technical University Publisher, 2011. 88 p.
 18. Tsygankova I. V. Evaluation techniques for working life quality [Metodika otsenki kachestva trudovoj zhizni]. Omsk : Omsk State Technical University, 2008. 32 p. ISBN 978-5-8149-0625-0.
 19. Yankovskaya V.I. Concept of working life quality [Kontsepciya kachestva trudovoj zhizni] : teaching aid]. – Nizhnekamsk : Nizhnekamsk Public Institute, 2011. P. 228.

Статья сдана в редакцию 12 января 2018 года

Уважаемые коллеги!

Информирую вас о требованиях, предъявляемых к оформлению статей.

При наборе используйте Word-2003 или Word-2007; шрифт (по всему тексту, в том числе в рисунках и таблицах) — тип Times, размер шрифта — 14, межстрочное расстояние — 1,5, абзацный отступ — 1,25 (1,27) см, поля — 2 см; расстановка переносов по всему тексту — автоматическая.

Набор формул: простые формулы и сочетания символов ($x^2 < y^2$; $E = mc^2$; $a^2 + b^2 = c^2$; Q_{i-1} ; ψ_j) — только в текстовом режиме, сложные

$$(s^2 = \frac{1}{n-1} \left[\sum_{j=1}^e x_j^2 n_j - \frac{1}{n} \left(\sum_{j=1}^e x_j n_j \right)^2 \right]; \left(\frac{\sigma_a}{[n]} \right)$$

или S_i^m) — только в редакторе формул

Equation или в MathType.

Написание букв: русские (а, б, в, А, Б, В), греческие (Θ, Σ, Ω, Ψ, α, β, δ, ε, λ, π), а также цифры и функции (1, 2, 3; I, II, III; max, lg, sin и т.п.) пишутся только прямо; латинские (*a, b, n, A, B, N* и т.д.) — только курсивом. Исключение — курсив во вспомогательном тексте (слова «Таблица» и «Рис.», примечания в рисунках и ссылки в тексте на эти примечания).

Оформление текста: левый верхний край — инициалы, фамилия; заголовков — все буквы ПРОПИСНЫЕ, жирные, расположение — по центру набора; таблиц и рисунков: в таблицах размер шрифта — на полтора-два размера меньше, чем в основном тексте (11,5–12), расположение текста в «шапке» таблицы — по центру, в столбцах — по ширине; межстрочное расстояние — 1; слово «Таблица» — курсивное начертание, в правый край таблицы; название таблицы — начертание нормальное (прямое), расположение — по центру таблицы. В рисунках (графиках, диаграммах): размер подрисуноч-

ной подписи — 14, расположение — по центру набора, слово «Рис.» — курсив, название рисунка — нормальное начертание, описание рисунка (экспликация) — нормальное начертание, условные обозначения — курсивное начертание, их расшифровка — нормальное. Расположение таблиц и рисунков — строго после ссылки на них.

Кроме того, рисунки обязательно прилагаются к материалу (один рисунок — один файл; формат — *.jpg).

Ссылки на литературу в тексте пишутся в квадратных скобках ([1], [1, 2] или [3–5]); нумерация сквозная. Список литературы/источников оформляется по ГОСТ 7.0.5–2008.

В конце статьи обязательно ставится дата отсыла материала в редакцию.

Объем статьи — не более 14-ти страниц.

Название файла: Фамилия. Первое слово заголовка. Подчеркивание. Последнее слово заголовка (Сидоров. Синтез_электроприводом).

К материалу (статье) обязательно прилагаются (отдельным файлом): УДК, сведения об авторе, аннотация, ключевые слова (название файла: УДК 000. Сидоров. Синтез_электроприводом).

Материалы для очередного номера журнала «Вестник УрГУПС» принимаются до 30 числа первого месяца квартала (до 30-го января, 30-го апреля, до 30-го июля, до 30-го октября). Материалы, поступившие в редакцию после 30-го числа, будут опубликованы только в следующем номере.

Успешной работы!

*Л. Барышникова,
литературный и выпускающий
редактор журнала «Вестник УрГУПС»*

Уважаемые читатели и авторы журнала «Вестник УрГУПС»!

Если вам нравится наш журнал, вы можете оказать содействие в его развитии, перечислив денежные средства по реквизитам:

Ассоциация выпускников УЭМИИТ-УрГУПС

ИНН-КПП 6670317893/667001001

ОГРН 1156600001470

620075, Свердловская обл., г. Екатеринбург, ул. Шевченко, д. 20, помещение 1

Р/с 40703810863010000192

в ПАО КБ «УБРИР» филиал ССБ

к/с 30101810900000000795

БИК 046577795

Назначение платежа: «Пожертвование для поддержки научных журналов УрГУПС».

Ваша финансовая поддержка позволит нам увеличить число публикаций, повысить индексы цитирования журнала и наших авторов.

Уважаемые руководители инновационных компаний и предприятий!

Предлагаем вам услуги по продвижению вашей продукции через сеть Ассоциации выпускников УЭМИИТ-УрГУПС.

Ассоциация выпускников УЭМИИТ-УрГУПС – это кооперация большого числа неравнодушных людей различных сфер деятельности, окончивших наш университет.

Кроме того, предлагаем услуги по подбору молодых специалистов, по организации поиска решений прикладных и научных задач в рамках диссертационных работ, выполняемых в УрГУПС.

Всю необходимую информацию вы можете получить по тел. (343) 221-24-67

или на сайте <http://www.usurt.ru/vypusknikam/assotsiatsiya-vypusknikov-urgups>

Извещение	<p>Получатель: <u>Ассоциация выпускников УЭМИИТ-УрГУПС</u> КПП: <u>667001001</u> ИНН: <u>6670317893</u> ОКТМО: <u>65701000</u> Р/сч.: <u>40703810863010000192</u> в: <u>ПАО КБ «УБРИР» филиал ССБ</u> БИК: <u>046577795</u> К/сч.: <u>30101810900000000795</u> Код бюджетной классификации (КБК): _____ Платеж: <u>Пожертвование для поддержки научных журналов УрГУПС</u> Плательщик: _____ Адрес плательщика: _____ ИНН плательщика: _____ № л/сч. плательщика: _____ Сумма: _____ руб. ____ коп. Подпись: _____ Дата: «____» _____ 2018 г.</p>
Квитанция	<p>Получатель: <u>Ассоциация выпускников УЭМИИТ-УрГУПС</u> КПП: <u>667001001</u> ИНН: <u>6670317893</u> ОКТМО: <u>65701000</u> Р/сч.: <u>40703810863010000192</u> в: <u>ПАО КБ «УБРИР» филиал ССБ</u> БИК: <u>046577795</u> К/сч.: <u>30101810900000000795</u> Код бюджетной классификации (КБК): _____ Платеж: <u>Пожертвование для поддержки научных журналов УрГУПС</u> Плательщик: _____ Адрес плательщика: _____ ИНН плательщика: _____ № л/сч. плательщика: _____ Сумма: _____ руб. ____ коп. Подпись: _____ Дата: «____» _____ 2018 г.</p>

ф. СП-1

АБОНЕМЕНТ

на ~~газету~~
журнал

70070

(индекс издания)

Вестник УргУПС

(наименование издания)

Количество
комплектов:

на 2018 год по месяцам:

1	2	3	4	5	6	7	8	9	10	11	12
X	X	X	X	X	X						

Куда

(почтовый индекс)

(адрес)

Кому

(фамилия, инициалы)

ДОСТАВОЧНАЯ КАРТОЧКА

на ~~газету~~
журнал

70070

(индекс издания)

Вестник УргУПС

(наименование издания)

Стои- мость	подписки	_____ руб. ____ коп.	Количество комплектов:	
	переадресовки	_____ руб. ____ коп.		

на 2018 год по месяцам:

1	2	3	4	5	6	7	8	9	10	11	12
X	X	X	X	X	X						

Куда

(почтовый индекс)

(адрес)

Кому

(фамилия, инициалы)